Metodologia

A comunidade de abelhas silvestres (Anthophila) do *Parque da Cidade* (Curitiba, Brasil): diversidade, abundância relativa, fenologia e recursos tróficos

The community of wild bees (Anthophila) of the *Parque da Cidade* (Curitiba, Brazil): diversity, relative abundance, phenology and trophic resources

JOSÉ RICARDO CURE HAKIM ² SEBASTIÃO LAROCA ³

As melissocenoses são heterogêneas e estão organizadas por interações complexas, e não é possível estudá-las por meio de algo como um "experimento controlado" para verificar a incidência de determinado fator sobre a sua estrutura. Contudo, uma forma de compreensão dos padrões de organização nelas existentes é a comparação entre áreas mais ou menos semelhantes e o estudo dos componentes que de alguma maneira reflitam propriedades da comunidade como um todo.

Em praticamente todos os ecossistemas terrestres as abelhas representam o grupo mais especializado e importante dentre os organismos que dependem da coleta de pólen e néctar, que são produtos de alto custo energético. Segundo FAEGRI & VAN DER PIJL (1979), é frequente que o ciclo de atividade do polinizador só coincida parcialmente com a floração de uma determinada planta, precisando de recursos de mais de uma

¹ Este trabalho é parte da tese de Mestrado de JRCH, apresentada ao Curso de Pósgraduação em Ciências Biológicas (Entomologia), UFPR, em 1983. Esta é a versão original, após apenas a revisão da mesma, para atender as sugestões da Comissão Examinadora naquela oportunidade. A justificativa de sua publicação é a de que o sítio aonde o censo foi realizado sofreu profundas e irreversíveis modificações, sendo que grande parte da fauna e da flora foram totalmente destruidas e nele foram construídas novas instalações para funcionamento do campus do Jardim Botânico da UFPR. ²Curso de Pósgraduação — Mestrado em Ciências Biológicas (Entomologia). Endereço Atual: Universidade Militar Nueva Granada, Colombia. Email: investigaciones@unimilitar.edu.co. ³ Professor Sênior, da Unversidade Federal do Paraná. Email: slaroca@netpar.com.br.

espécie para sua sobrevivência; igualmente, a planta está exposta a mais de um polinizador. Isto exige a existência de um fluxo mínimo, constante de energia dentro da comunidade. Consequentemente, o sistema planta-abelha deve refletir propriedades da comunidade biótica da qual faz parte.

O estudo das comunidades, utilizando como parâmetro o conjunto das abelhas, requer uma abordagem interdisciplinar, incluindo, conhecimentos da morfologia floral, comportamento intrafloral e bionomia das abelhas e de dados adequadas sobre os elementos do meio físico (*e.g.*, solos, clima etc).

O projeto amplo, de autoria de SL, visa informações sobre as abelhas das comunidades do Leste paranaense em geral, e da região de Curitiba em particular. Esta parte do trabalho, foi realizada no *Parque da Cidade* (Curitiba, Paraná, Brasil). As amostras obtidas são comparadas às de outras duas áreas de Curitiba (dados em LAROCA, 1972 e em LAROCA, CURE & BORTOLI, 1982), amostradas pelo mesmo procedimento, mas que diferem pelo seu maior ou menor grau de isolamento (causado pelo processo de urbanização) em relação às áreas silvestres. A estrutura melissocenótica é focalizada do ponto de vista de sua fenologia, diversidade, flores visitadas, espécies predominantes e amplitude do nicho.

Os estudos que estabeleceram as bases para a moderna taxonomia das abelhas na Região Neotropical incluem, entre outros trabalhos, os de Schrottky, Schwarz, Michener, Mitchell e, principalmente, Moure (cf. Laroca, 1972). No Sul do Brasil, os principais trabalhos que contribuíram para o conhecimento da bionomia das espécies de Apoidea foram os de Michener & Lange (1958 a, b e c), Sakagami & Laroca (1963, 1971 b), Sakagami & Moure (1967), Sakagami, Laroca & Moure (1967 a) e Laroca (1970 b, 1972 a e b, 1976). Observações dirigidas ao estudo do comportamento intrafloral das abelhas dessa região aparecem em Laroca (1970 a) e em Laroca & Dequech (1979).

As investigações de natureza quantitativa seguindo-se uma metodologia padronizada, incluindo ainda dados sobre a fenologia das abelhas e flores visitadas, foram iniciadas por Sakagami, Laroca em 1962 [Sakagami, Laroca & Moure (1967 b)] e Sakagami & Laroca (1971 a e b), em São José dos Pinhais (Paraná). Posteriormente, Laroca (1972) compara essa amostra com levantamentos feitos por ele em Boa Vista (nessa época, subúrbio de Curitiba, Paraná). Uma ampliação desse tipo de estudos ao ambiente urbano aparece em Laroca, Cure & Bortoli (op. cit.), onde é estudado um logradouro público (Passeio Publico) no interior da Cidade de Curitiba.

Fora do Brasil, os principais trabalhos abrangentes, baseados em uma metodologia padronizada, que permite a coleta de dados quantitativos,

têm sido realizados no Norte do Japão (e.g., SAKAGAMI & MATSUMURA, 1967; Matsumura & Munakata, 1969; Munakata, 1971; Usui et al., 1976), no Centro do Japão (e.g., Yamauchi, Okumura & Sakagami, 1976) e no Sul do Japão (e.g., Matsumura, Sakagami & Fukuda, 1974). Na União Soviética, os estudos mais complexos são os das estepes baixas do rio Don, que compilam dados de coletas feitas durante sete anos (e.g., PESENKO, 1971, 1972 a e b, 1974 a e b, 1978). No Norte da Alemanha, foi feito um levantamento de Hymenoptera-Aculeata durante quatro anos, em três áreas modificadas pela influência humana (HAESELER, 1972). Informações sobre uma comunidade de transição entre dois tipos de floresta, no Canadá, aparecem no estudo quantitativo das abelhas silvestres no Sul de Ontário (Mackay & Knerer, 1979). Na Costa Rica, quatro lugares diferentes foram amostrados durante um ano e os resultados têm sido discutidos em vários trabalhos (Heithaus, 1974 e 1979 a, b e c); desse mesmo projeto fazem parte sete áreas amostradas na Califórnia (e.g., Moldenke, 1975) e objetiva, a longo prazo, estabelecer comparações entre várias áreas em âmbito hemisférico, incluindo, ainda, algumas zonas do Chile e da Argentina.

As informações obtidas neste tipo de trabalho visam a caracterização da estrutura das "comunidades" de abelhas silvestres e têm importância como estudo preliminar na elucidação de problemas evolutivos (coevolução e competição) e de ecologia de comunidades (estudo do nicho e problemas relacionados), assim como no conhecimento da fauna silvestre para uma racionalização de qualquer estudo aplicado à polinização. Segundo Macior (1974), é imperativo que os estudos sobre mecanismos de polinização estejam baseados em observações críticas não só do próprio mecanismo, como do contexto ecológico complexo dentro do qual eles operam.

MATERIALE MÉTODO

1 ÁREA DE COLETA

As abelhas foram amostradas no Parque da Cidade, em Curitiba, Paraná, Sul do Brasil.

A Cidade de Curitiba está situada a aproximadamente 900 m s.n.m., no *Planalto de Curitiba*, subdivisão do *Primeiro Planalto Paranaense*. Sua temperatura média anual é de 16,5° C, a umidade relativa anual média é de 81,5 % e a precipitação anual média é de 1.451,8 mm, ocorrendo ainda uma média de 179 dias de chuva durante o ano (MAACK, 1968). Pelo sistema de classificação das zonas de vida (Holdride, 1967), a região se encontra na *Floresta Úmida Montana Baixa Subtropical*. Apresenta vários grupos predominantemente tropicais — *e.g.*, 13 espécies

de Meliponinae (Laroca, 1972) — além de representantes de zonas temperadas — e.g., Bombus bellicosus Smith e Ceratina rupestris Holmberg.

Durante o ano de coleta, as temperaturas médias mensais (Fig. 1) se mantiveram um pouco mais altas que as normais durante os meses de fevereiro, maio, setembro e novembro, e mais baixas durante os meses de junho, julho, outubro, dezembro e janeiro. A precipitação (Fig. 1) foi maior apenas em novembro; nos demais meses, foi menor.

O Parque da Cidade (PC) (Figs 2 e 3) é uma área de aproximadamente 200.000 metros quadrados, dos quais cerca de 50 % são cobertos por uma floresta de araucária remanescente, e o resto por campo secundário, predominando plantas herbáceas, com alguns arbustos e árvores esparsas. A vegetação herbácea é constituída principalmente de gramíneas e compostas, que apresentam densidades variáveis nas diferentes subáreas do Parque — em alguns lugares a densidade é bastante alta, permitindo o estabelecimento de ninhos de codorna que ficam totalmente escondidos; em outros, pelo contrário, o chão fica exposto, propiciando lugares adequados para nidificação de abelhas. Os arbustos estão isolados, ou dispostos em pequenos grupos, sobressaindo espécies de Baccharis e Eupatorium. São observadas também algumas árvores de Eucalyptus, Pinus, Syagrus, Butia e Chorisia, todas cultivadas, e, ainda, uma zona de Campo Edáfico de Baixada (cf. Klein & Hatschbach, 1962), onde predomina Thypha dominguensis e Equisetum sp. Queimas regulares (sazonais) são feitas na área, mas não simultaneamente em toda a extensão do terreno e sim por manchas, de sorte que, quando novas zonas são atingidas, as que queimaram anteriormente já se encontram reconstituídas. Oxalis sexenata (Oxalidaceae) e Habranthus sp. (Amaryllidaceae) são as primeiras plantas a florescer depois das queimadas.

A topografia do PC é bastante irregular, o terreno é irrigado por um córrego (*Córrego do Aviário*), que na sua parte superior foi represado para formar duas piscinas (Figs 2 e 3). Nas áreas mais onduladas existem manifestações de erosão (Fig. 3). A erosão é total numa faixa que utilizamos para dividir o Parque em duas subáreas: uma mais alta e ondulada (A) e outra mais baixa e plana (B). A subárea A foi subdividida, por sua vez, numa primeira faixa (Al), próxima da estrada, que compreende a parte mais plana e elevada, muito exposta à ação do vento; uma segunda (A2), topograficamente heterogênea; e uma terceira (A3), que é mais baixa e melhor protegida do vento que as anteriores. De forma semelhante, a subárea B foi subdividida em três zonas, a saber: a primeira (B1) é bastante plana e com vários lugares em que o solo aparece descoberto; a segunda (B2), paralela à anterior, que sobressai por

apresentar um aglomerado de arbustos de *Baccharis* spp. e flores de *Ipomoea cairica*; e, finalmente, a terceira (B3), que é mais baixa e úmida que as anteriores, com vegetação herbácea densa, onde são observados exemplares floridos de *Senecio oleosus* durante os meses de inverno.

A intervenção do homem é evidente em alguns lugares onde foram construídos caminhos (provavelmente com máquinas), além dos que se formam naturalmente pela passagem permanente de pessoas. Em alguns desses caminhos existem barrancos, que seguramente propiciam condições para o estabelecimento de ninhos de abelhas, principalmente Halictidae.

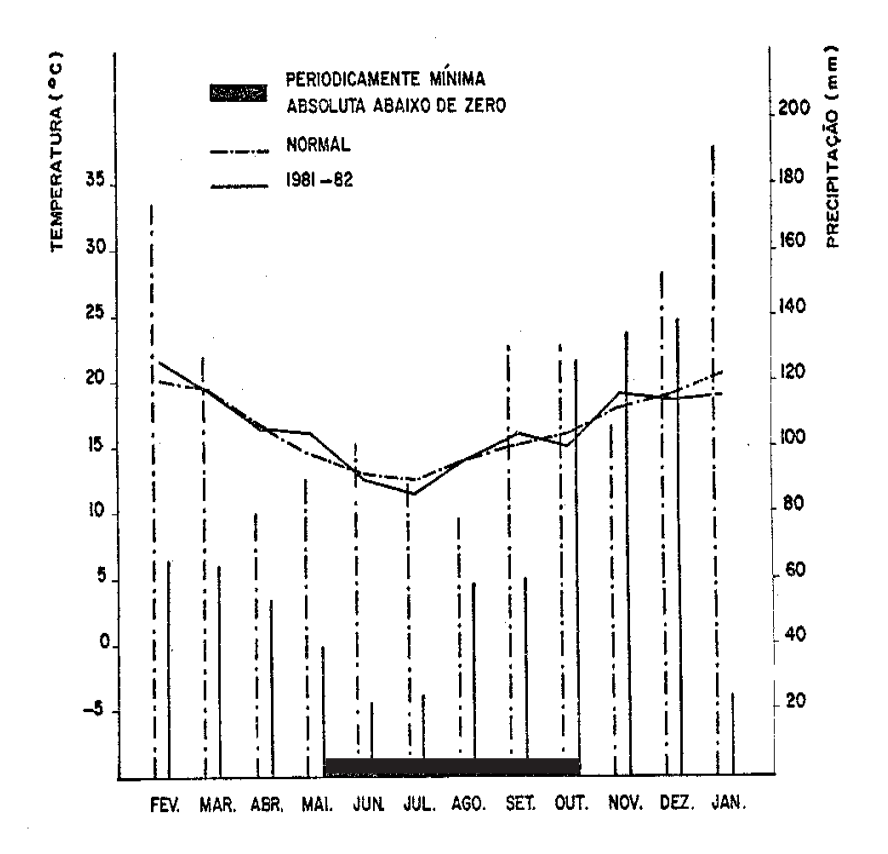


Fig. 1. Flutuação mensal da temperatura e precipitação em Curitiba, Paraná. Normais conforme Maack, 1968. Dados de temperatura 1981-82: Estação Meteorológica do Departamento Nacional de Meteorologia (Ministério da Agricultura), situado no Centro Politécnico da Universidade Federal do Paraná (UFPR). Dados de precipitação: Estação da Rede Panamericana de Amostragem Padronizada da Contaminação do Ar, situada na Faculdade de Odontologia, da UFPR.



Fig. 2. A e B. Vista aérea do Parque da Cidade. A) e B) Fotografias aéreas de 1980 e 1958, respectivamente (fornecidas pelo Instituto de Terras e Cartografia do Paraná).

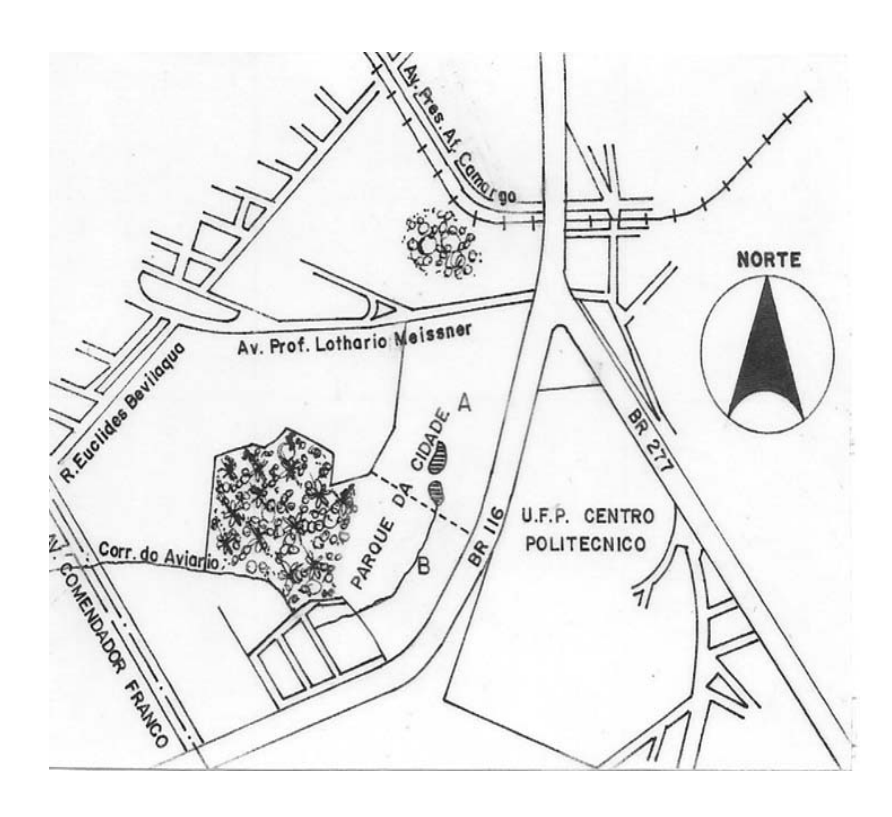


Fig. 2 C. Croqui mostrando a localização do Parque da Cidade, Curitiba, Paraná, Brasil.

O PC, apesar de ser atualmente uma área restrita, tinha continuidade com os campos que circundavam Curitiba (Fig. 2B), que no momento estão quase totalmente urbanizados (Fig. 2A). Situa-se entre a BR-116, a *Avenida Comendador Franco* e a *Avenida Lothário Meissner* (Fig. 2C). Ao norte e noroeste do PC se observa também uma área de vegetação secundária que se estende até a Avenida Presidente Afonso Camargo e Rua Euclides Bevilaqua. Essa área, em conjunto, é ligeiramente maior do que a área do Parque propriamente dito, mas está dividida em duas pela Avenida Lothário Meissner, ao norte da qual se encontra outro remanescente da floresta de araucária.



Fig. 3. Panorama geral da topografia e vegetação do Parque da Cidade (Curitiba, Paraná, Brasil).

2 Amostragem

As abelhas silvestres (*Apis mellifera* L. excluída) foram amostradas sem escolha, três vezes por mês, durante três horas cada dia, de fevereiro de 1981 a fevereiro de 1982. As coletas eram iniciadas entre 9 e 11 horas e finalizadas entre as 12 e 14 horas. A metodologia utilizada foi a desenvolvida por Sakagami, Laroca em 1962 [cf. Sakagami, Laroca & Moure (1967) e Laroca (1972)], a qual está sujeita a algumas distorções — influência da remoção dos indivíduos sobre o tamanho das populações, captura individual das abelhas e não ao acaso por meio da rede de "arrasto", diferença entre as espécies de abelhas em relação ao espectro de flores visitadas e diferenças individuais entre os coletores. Em algumas ocasiões, quando existiam aglomerados de plantas com abelhas pequenas, estas foram coletadas em grupos.

A seguir aparecem as datas de cada umas amostragens e, entre parênteses, o código, que indica se trata da primeira, segunda ou terceira coleta do mês:

```
1981: fevereiro: 7(II-1), 14(II-2), 23(II-3); março: 6 (III-1), 16(III-2), 28(III-3); abril: 6(IV-1), 13(IV-2), 25(IV-3); maio: 5(V-1), 16(V-2), 20 (V-3); junho: l( VI-l), 22(VI-2), 29(VI-3); julho: 8(VII-l), 13(VII-2), 31(VII-3); agosto: 6(VIII-1), 18(VIII-2); setembro: 2(IX-1), 17(IX-2), 26(IX-3); outubro: 7(X-1), 17(X-2), 21(X-3); novembro: 2 (XI-1), 17(XI-2), 24(XI-3); dezembro: 6 (XII-1), 16(XII-2), 30(XII-3); 1982: janeiro: 12 (I-1), 24(I-2); fevereiro: 2(I-3).
```

Durante as coletas V-2, VII-1 e X-2, não foram capturadas abelhas, apesar de o coletor ter permanecido no campo cerca de duas horas; a ausência de abelhas possivelmente foi devida ao mau tempo. A terceira coleta de agosto não foi realizada e a correspondente terceira de janeiro de 1982 foi feita no dia 2 de fevereiro.

Somente uma subárea era amostrada por data de coleta, de modo a serem alternadas as subáreas alta e baixa.

As coletas realizadas em A foram:

```
II-2, III-1, III-3, IV-2, V-1, VI—1, IX-2, X-1, XI-1, XI-3, XII-2, I-1 e I-3.
```

As feitas em B foram:

```
II-1, II-3, III-2, IV-1, I-3, V-5, IX-3, X-3, XI-2, XII-1, XII-3 e I-2.
```

Unicamente durante os meses mais frios não foi seguido o critério mencionado, sendo percorridas as subáreas A e B numa coleta. As coletas feitas desta maneira foram:

```
VI-2, VI-3, VII-2; VII-3, VIII-1, VIII-2 e IX-1.
```

3 Análise dos dados

Cada abelha capturada foi codificada considerando-se a planta sobre a qual estava, a data, hora e subárea de coleta, o sexo e índices para estimar a quantidade de pólen e o desgaste das asas e mandíbulas (Anexos 1). Obtiveram-se listagens de computador mediante um programa que combinou essas variáveis de diversas formas (Anexo 1).

Para a elaboração dos dendrogramas, tanto da fenologia das famílias e espécies predominantes, como da sobreposição do nicho, utilizou-se o programa MINT (F.J. Rohlef, versão 78), a partir de uma matriz de dados binários. O coeficiente de similaridade utilizado é o de Dice (cf. Sokal & Sneath, 1963), o qual dá mais valor às concordâncias positivas (presença simultânea), ignorando as concordâncias negativas. Assim, a similaridade varia entre 0 e 1, sendo máxima quando só existem concordâncias positivas e mínima quando estas estão totalmente ausentes. O maior ou menor número de discordâncias responde por similaridades baixas ou elevadas respectivamente. O coeficiente é dado pela seguinte fórmula: 2a/(2a+b), onde a é o número de concordâncias positivas e b o de discordâncias, O método de agrupamento foi o UPGMA (*Método Não Ponderado de Agrupamento aos Pares por Médias Aritméticas*).

Para as comparações entre as áreas utilizou-se o quociente de similaridade (QS) de Sorensen (cf. Southwood, 1976) dado pela seguinte fórmula: 2j/(a+b), onde j ó o número de unidades (i.e., gêneros, espécies ou famílias) comuns às duas áreas e a e b representam o total de unidades em cada uma das áreas.

Para estimar a diversidade nas diferentes áreas empregou-se o procedimento de Laroca (*cf.* Laroca, Cure & Bortoli, 1982). Nele, o número acumulado de espécies é correlacionado com o logarítmo do número acumulado de indivíduos. Dessa forma, ao ajustar uma reta aos pontos resultantes, é possível distinguir visualmente os componentes da diversidade: a riqueza em espécies e a distribuição dos indivíduos dentro das diferentes espécies.

O cálculo da diversidade (H') por mês, assim como o da amplitude do nicho (em alguns trabalhos chamada de B'), foram feitos mediante a fórmula de Shannon-Wiener: - Σpi log pi, onde pi representa a proporção de indivíduos correspondente à i-ésima espécie. O cálculo da Equitabilidade (E) consegue-se dividindo a Diversidade (H') pelo logarítmo do número de espécies (ou qualquer outra unidade considerada). O programa Fortran utilizado para esses cálculos aparece no Anexo 1B.

O método de Kato *et al.* (*cf.* Laroca, 1974) foi utilizado para representar as abundâncias relativas das espécies predominantes e os seus limites de confiança (p=0,05). Para efeito de padronização, foram

consideradas como predominantes as espécies cujo limite de confiança inferior foi maior que o inverso do número de espécies multiplicado por 100 — percentagem média da densidade das espécies (*cf.* Usul *et al.*, 1976).

RESULTADOS E DISCUSSÃO

1 Composição faunística

1.1 Espécies de abelhas coletadas

A lista de abelhas coletadas no Parque da Cidade, assim como os códigos (à direita) utilizados para identificar as espécies nas listagens de computador (Anexo 1), segue-se abaixo. Quando, devido à falta de estudos taxonômicos, a identificação não foi possível, as espécies aparecem numeradas.

ANDRENIDAE

Anthrenoides inflaticeps Moure, MS (311101)

A. spp.1 a 3 (311102 a 04)

Heterosarellus xanthaspis Moure, MS (311201)

Psaenythia annulata Gerstaecker, 1968 (311506)

P. bergi Holmberg, 1884 (311509)

P. capito Gerstaecker, 1868 (311502)

P. spp.1,3,5,7 e 8 (311501,03,05,07,08)

Rhophitulus opacus Moure, MS (311601)

R. spp.1 a 3 (311602 a 04)

ANTHOPHORIDAE

Ceratina (Crewella) asuncionis Strand, 1910 (511111)

C. (C.) rupestris Holmberg, 1884 (511112)

C. (Rhyzoceratina) pharcidura Moure, MS (511121)

C. sp.1 (511101)

Ceratulina gomphrenae (Schrottky,1909) (511201)

C. spp.1 e 2 (511200 e 02)

Epeolus aterrimus Friese,1906 (521101)

Exomalopsis (Megomalopsis) holotricha Moure, MS (522111)

E. (*M.*) sp.3 (599991)

E. (Phanomalopsis) aureosericea Friese, 1899 (522121)

Gaesischia (Gaesischia) fulgurans (Holmberg, 1903) (523201)

G. (G.) undulata Urban, MS (523203)

G. (Gaesischiopsis) aurea Urban, 1968 (523202)

Lanthanomelissa (Lanthanomelissa) sp.1 (522411)

Melissoptila (Comeptila) paraguayensis (Brèthes, 1909) (523304)

M.(Melissoptila) tandilensis Holmberg, 1884 (523302)

M. (Ptilomelissa) aureocincta Urban, 1966 (523303)

M. (P.) bonaerensis Holmberg, 1903 (523301)

M. (P.) minarum (Bertoni & Schrottky, 1910) (523305)

Melitoma segmentaria (Fabricius, 1804) (523401)

Paratetrapedia (Lophopedia) sp.1 (522211)

Tapinotaspis (Tapinotaspoides) sp.01 (522311)

Thygater (Thygater) analis Lepeletier, 1841) (523101)

Xylocopa (Nanoxylocopa) ciliata Burmeister, 1876 (512121)

X. (Neoxyloxopa) augusti Lepeletier, 1841) (512111)

APIDAE

Bombus (Fervidobombus) atratus Franklin,1913 (610101) Plebeia (Plebeia) emerina (Friese,1900) (620101)

COLLETIDAE

Colletes rufipes Smith,1879 (110100) C. rugicollis Friese,1900 (110101) Hylaeus rivalis (Schrottky,1906) (120101) Oediscelisca sp.1 (120201)

HALICTIDAE

Augochlora (Augochlora) amphitrite (Schrottky,1909) (212001)

A. (Oxystoglossella) semiramis (Schrottky,1910) (212002)

Augochlorella ephyra (Schrottky,1910) (212101)

A. iopoecila Moure, 1950 (212102)

A. iphigenia (Holmberg, 1886) (212103)

A. sp.1 (grupo *ephyra*) (212104)

Augochloropsis humilior Moure, MS (212201)

Augochloropsis anisitsi (Schrottky, 1908) (212301)

A. cleopatra (Schrottky, 1902) (212302)

A. cupreola (Cockerell, 1900) (212303)

A. iris (Schrottky, 1902) (212307)

A. liopelte (Moure, 1940) (212308)

A. rufisetis (Vachal, 1903) (212309)

A. sparsilis (Vachal, 1903) (212312)

A. spp.1 a 3 (grupo *cupreola*) (212304 a 06)

A. spp.1 e 2 (grupo scabifrons) (212310 e 11)

Caenohalictus implexus Moure, 1950 (211101)

Ceratalictus theia (Schrottky,1910) (212402)

C. sp.1 (212401)

Dialictus (Chloralictus) opacus Moure, 1940 (211203)

D. (C.) spp.1 a 16 (211204 a 19)

D. (Dialictus) pabulator (Schrottky, 1910) (211201)

D. (D.) sp.1 (211202)

Neocorynura (Neocorynura) aenigma (Gribodo, 1894) (212501)

N. (N.) oiospermi (Schrottky, 1909) (212502)

Paraxystoglossa jocasta (Schrottky,1910) (212601)

P. divaricatus (Vachal, 1903) (211303)

P. pruinosus Moure, MS (211302)

Pseudaugochloropsis graminea (Fabricius, 1804) (212701)

Rhectomia pumilla Moure, 1947 (211401)

Rhynchalictus rostratus Moure, 1947 (211501)

Rhynocorynura sp.1 (212801)

Thectochlora alaris (Vachal, 1904) (212901)

MEGACHILIDAE

Coelioxys sp.1 (411211)

Dianthidium (Epanthidium) sp.1 (421101)

DIANTHIDINI sp.2 (421102)

Megachile (Acentron) bernardina Schrottky,1913 (411121)

M. (A.) lentifera Vachal, 1909 (411122)

M. (*A*.) spp.4 a 6 (411123 a 25)

M. (Pseudocentron) spp.7 a 13 (411131 a 37)

M. iheringi Schrottky, 1913 (411101)

M. lachnopyga Moure, 1943 (411138)

1.2 Abundância relativa e diversidade

No Parque da Cidade (PC) foram coletados 1.450 exemplares de abelhas, pertencentes a 123 espécies. A composição faunística da amostra desse lugar é comparada à observada nas amostras do Passeio Público (PP) e Boa Vista (BV), e com um padrão para o Planalto de Curitiba; este último baseado nos dados das áreas mencionadas, incorporados aos de um levantamento similar feito em São José dos Pinhais (SJP) (dados em Sakagami, Laroca & Moure, 1967).

As percentagens de espécies por família para PC, PP, BV e o padrão estão representadas nos gráficos da figura 4 (à esquerda). A abundância, em ordem decrescente, nos diferentes locais é a seguinte (AD = Andrenidae, AT = Anthophoridae, AP = Apidae, CO = Colletidae, HA = Halictidae, MG = Megachilidae).

Planalto de Curitiba: HA>AT>MG>AD>CO>AP
Parque da Cidade: HA>AT>MG>AD>CO>AP
Passeio Público: HA>AT>AP>AD>CO>MG
Boa Vista: HA>AT>MG>CO>AD>AP

Na maioria dos casos as famílias mais diversificadas, Halictidae e Anthophoridae, são seguidas por Megachilidae, Andrenidae, Colletidae e Apidae. Exceções aparecem em BV, onde a ordem entre Colletidae e Andrenidae é intercambiada, e em PP, onde a abundância de Megachilidae diminui. A falta de materiais para a construção dos ninhos e a atmosfera enfumaçada do centro da cidade devem limitar, pelo menos parcialmente, o estabelecimento de espécies de Megachilidae no PP (LAROCA, CURE & BORTOLI, 1982).

Nas três áreas (PC, PP e BV), o alto número de espécies de Halictidae está relacionado com os gêneros *Augochloropsis* (12 espécies em PC, 6 em PP e 10 em BV) e *Dialictus* (aproximadamente 19 espécies em PC, 32 em PP e 17 em BV). No caso de Anthophoridae, o número de espécies é mais equivalentemente distribuído entre os gêneros, os quais são também mais numerosos (12 gêneros em PC, 6 em PP e 15 em BV). Nas diferentes amostras, existe uma pequena variação na diversificação dos principais gêneros desta família (Tabela 1): no PC, *Melissoptila* é o mais diversificado (5 espécies), no PP, *Ceratinula* (6 espécies) e em BV, *Melissoptila* (8 espécies), *Ceratina* (6 espécies) e *Exomalopsis* (5 espécies).

Em BV, o aumento do número de espécies de Colletidae está relacionado à maior diversificação dos Chilicolinae observada na amostra deste lugar. A maior proporção de espécies de Andrenidae no PC devese principalmente à presença de oito espécies de *Psaenythia* (4 espécies em BV e 1 em PP), quatro de *Anthrenoides* (2 espécies em BV e 1 em PP), quatro de *Rophitulus* (1 espécie em PP) e uma de *Heterosarellus*.

Fatos particularmente notáveis no PC são: a drástica diminuição de espécies de Apidae, a proporção relativamente mais elevada de espécies de Andrenidae e a escassez de abelhas parasitas.

A diminuição de Apidae, especialmente de Meliponinae, é difícil de justificar, já que existe dentro do PC uma floresta onde as espécies arborícolas poderiam nidificar. Cabe a possibilidade de que elas freqüentem as flores situadas dentro da floresta ou as que ficam nas áreas mais periféricas ao parque, as quais não estão incluídas nas amostragens.

As abelhas parasitas estão representadas no PC somente por duas espécies: *Coelioxys* sp.1 e *Epeolus aterrimus*. Essa situação é semelhante à encontrada no PP, onde não foi coletada nenhuma espécie parasita, e contrasta com a de BV, onde cerca de 11% das espécies pertenciam a esse grupo biológico.

Para a amostra do PC, ordenando o número de gêneros (G) representados pelos diferentes números de espécies (E), segundo o arranjo E/G, tem-se a seguinte seqüência: 1/20; 2/6; 3/3; 4/4; 5/2; 8, 12, 17, 19/1.

Os valores acima indicam um alto número de gêneros com poucas espécies, de forma semelhante ao observado para PP, BV, SJP e Alexandra (*cf.* Laroca, 1972). As médias do número de espécies por gênero para PC, PP e BV são respectivamente 3,15, 2,96 e 3,10.

Na figura 5, aparecem os gêneros representados nas amostras das três localidades. Entre BV e PC existem 29 em comum, entre BV e PP, 22 e entre PC e PP, 21. O Quociente de Similaridade (QS) entre as amostras do PC e PP (QS=0,66) e PC e BV (QS=0,64) é ligeiramente mais alto do que entre o PP e BV (QS=0,57). A amostra do PC é, portanto, intermediária entre as do PP e BV, no que se refere à similaridade dos gêneros.

Na figura 4 (gráficos à direita), estão representados os números de indivíduos por família (em %) para as três localidades. O gráfico para o PC se assemelha mais com o de BV, porém mostra uma diminuição de Apidae e Colletidae e um aumento de Andrenidae e Anthophoridae.

Os números de espécies (E) representadas pelos diferentes números de indivíduos (I), segundo o arranjo I/E, na amostra em estudo são:

```
1/53; 2/15; 3/11; 4/4; 5/5; 6, 7/3, 8/1; 10/2; 11/1; 12/2; 14,17/1; 19,22,25/2; 28,30,31,42/1; 45/2; 46/1; 51/2; 55,66,67,79,88,304/1.
```

Estes dados aparecem na figura 6 agrupados segundo as oitavas de abundância (*cf.* Preston, 1948). Quando o número de indivíduos por espécie que se encontra no limite entre duas oitavas, os respectivos valores se repartem equitativamente entre as oitavas adjacentes.

A aplicação do método de Preston para calcular o número total de espécies, incluindo as não coletadas, está ligada ao ajuste da curva lognormal para os pontos observados. Isso é dificultado pela impossibilidade de localizar com precisão o ponto de truncamento da curva, especialmente se está situado à direita da moda. Se esta última condição acontecer, a explicação teórica é que as espécies da classe de abundância mais típica apresentam uma distribuição muito esparsa, relativa ao tamanho da amostra, e por isso não são coletadas (PIELOU, 1975), o que também afetaria as espécies de abundância menor à modal.

As amostras do PC (Fig. 4), PP e BV (ver, Taura & Laroca, 2001), assim como as de SJP (ver Sakagami, Laroca & Moure, 1967) mostram um truncamento da curva log-normal pouca coisa à esquerda da moda. Já as amostragens feitas no Canadá (MacKay & Knerer, 1979) mostram que a curva desce depois da moda. Já Alexandra (dados em Laroca, 1972) e Costa Rica (dados em Heithaus, 1974 e 1979a) o truncamento se dá do lado direito da moda. Se estas diferenças de posição da linhavéu não forem resultantes do procedimento de amostragem, então poderá

Tabela 1. Números de espécies e de indivíduos de abelhas silvestres por gênero coletados no Parque da Cidade (PC), Passeio Público (PP) e Boa Vista (BV). A abreviatura dos gêneros é a utilizada nas figuras deste trabalho.

Taxon		ro de Es		1	20	Número de	PP		sv	1	ivíduos/I	
	PC	77	BV	Yeseas	Macho		. Hacho		s Hachos		77	BV
COLLETIDAE	4	3	13	6	4	25	22	39	44	2,5		6,4
Colletes (Co.)	2		3	2	2	10		10	9	2,0		6,3
Dipalsoglossa (Dp.))*		2		1		1				1	1,0	
Bezontheda (Nz.)			1		74			3	10			3,0
Boplocolletes (8p.)			1	1								10,0
Sylasus (Sy.)	1	1	2	1		23	21	9	12	1,0	40,0	10,5
Lonchopria (Lc.)			1	1					2	1		1,0
Oediscelis (Od.)			2	- ca	100	101	100	3	100	70.00	V	1,5
Ordisculisca (Ol.)	1	1	2	3	2	1	1		7	5,0	2,0	5,5
Ptiloglossa (Pt.)			1					•	11	1		15,0
BALICTIDAE	52	45	55	689	129	417	189	791	179	15,7	13,4	17,6
Augochlora (Ag.)	2	1		43		66	7	222	22	23,5		29,2
Augochlorella (Al.)		2	3			. 51		8		2,0	. 29,5	2,0
Augochlorodes (Ad.)	2			23	2					25,0		
Augochloropeie (As.)	12	6	20	113	24	20		116	45	11.4	2.3	16,1
Caenohaliosus (Cn.)	1	1	,		14	1	,	7	10	14,0	2,0	17,0
Ceratalictus (Cr.)	2		. ,	245	62	-		3	1	253.5		4.0
Dialictus (DL.)	19	32	17	165	6	242	123	69	,	9.0	11,4	4.1
	19	32	1	100	0.	242	140	11		*.*	***	11.0
Balistillum (Bl.)					,	40	42	12			41.0	6,7
Neocorynura (No.)	2	2	3	2	2	40	42		88	2,0	41,0	66,7
Parazystoglossa (Px.)	2		3					200	17	4.0		
Pseudagapostenon (Ps.)	3	20	2	3	90	20	100	200		1,0		108,5
Pseudzugochioropsis (Pg.)	2	1	2	3	2	,	•		2	5,0	11,0	8.0
Rhectomia (Rh.)	2		1	1				2		1,0		1,0
Rhynchalictus (Ry.)	1			7				*()		11,0		
Rhynocorynura (Rc.)	1			2						2,0		
Tennosona (In.)			3						3			2,0
Thectochlora (It. 1	1		2	70		100		18		79.0		18,0
ANDRENIDAE	17			1112								
			10		36	37	32	57	15	8,8	17.2	7.2
Anthrenoides (An.)	4	1	2	28	17	5	3	20	3	11,2	8,0	11,5
Callonychium (Cy.)			1					2	2			3,0
Corynurgue (Cg.)			1	5,000	100			1		0.00		1.0
Beterosarellus (3s.)	.1			1						1,0		
Psaenythia (Pn.)		1		37	7	1		24	5	5,5	1.0	4.8
Pseudopanurgus (Pp.)			2		1.0			21	. 5	100		13,0
Rhophitulus (Rt.)	•	1		17	22	28	23			14.7	57.0	
PABURGISAT (sp. não ident.)	,	1				3	6				100.00	9.0
MEGACHILIDAE	20	3	35	37	10	8	1	78	66	2.3	3.0	4.1
Coeliozya (Cz.)	1		,	3,	1	۰	*		16		3,0	
Coettozya (Cz.) Coenanthidium (Cd.)	1		,		1			1		1,0		2,9
			1						4			4.0
Dianthidium (Dt.)	1			1					7000 S011	1,0		
Eypanthidium (8d.)			1						. 1			1,0
Megashile (Ng.)	17	3	26	35	,	8	1	74	45	2,6	3,0	4,6
DIAKTBIDINI (ep. não ident.) 1			1						1,0		
ANTHOPHORIDAE	28	13	38	231	83	77	12	281	116	11.2	6.8	10.4
Anthophora (As.)		-	,		770	200	•	1		****		1,0
Ceratina (Ct.)		,		136	51			28	32	46.7	3.5	22,5
Caratinula (Cl.)	,		2	14	8	24	5	15	11	7,3	3,3	13,0
Epecius (Ep.)	,		•	,		21	٥	20	"		3,5	13,0
		1000		0.533.11	-	1.0	1323			1.0	27.120	100
Ezonalopsis (Ez.)	5	1	5	30	3	2	2	19		6,6	4,0	5,0
Gaesischia (Ga.)	3		3	8				20	24	4,0		31,3
Imperolum (Ip.)			2					-	-			-
Lanthanomelissa (Lt.)	1		1	1				1	2000	1,0	*: 000000	1,0
Maliscoptila (Ml.)	5	1	8	2	5		1	88	28	1,4	5,0	12.0
Walitona (Ma.)	1				2					1.0		
Fonada (Sn.)			1					2				1,0
Paratetrapedia (Pd.)	2		700	2					5 9	1.0		
Paponapia (Po.)			1						2			2,0
Ptilothriz (Pl.)			2						3			3,0
Tapinotaspis (7s.)	1			1						1.0		
Thygater (Th.)	1	2	1	,		24			1	1.0	24,0	2,0
riepsolus (Tp.)	1000	1.00	1			7.7.5		1	1			2,0
trophooleparia (Te.)			:					1	i			1,0
Wlocopa (Xy.)	2	2	3	36	11	20			2	23.5	10.0	2,7
			-									
PIDAE	2	6	10	100	12	1673	17	305	6	56.0	281,6	31,1
Bombue (Bo.)	1	2	3	55	12	116		52	5	67,0	58.0	19,0
			1					1				1.0
fularna (EL.)			2					**	1			32,5
		1.4	, 1			23	5	24	100		28,0	24.0
Eulaena (El.) Kelipona (Epl)												
Kalipons((Mp.) Fannotrigona (Sn.)	,	1		45		1087	11	2.3		45.0		
Keliponsk(Hp!) Bannotrigona (Sn.) Plebeja (Pb.)	1	1	2	15		1081	. 11	13		45,0	1092.0	5.5
Kalipons (ttp!)	1			15		1081 38	. 11	13		15,0		

^{*(}Dipaltoglossa =) Mydrosoma ·

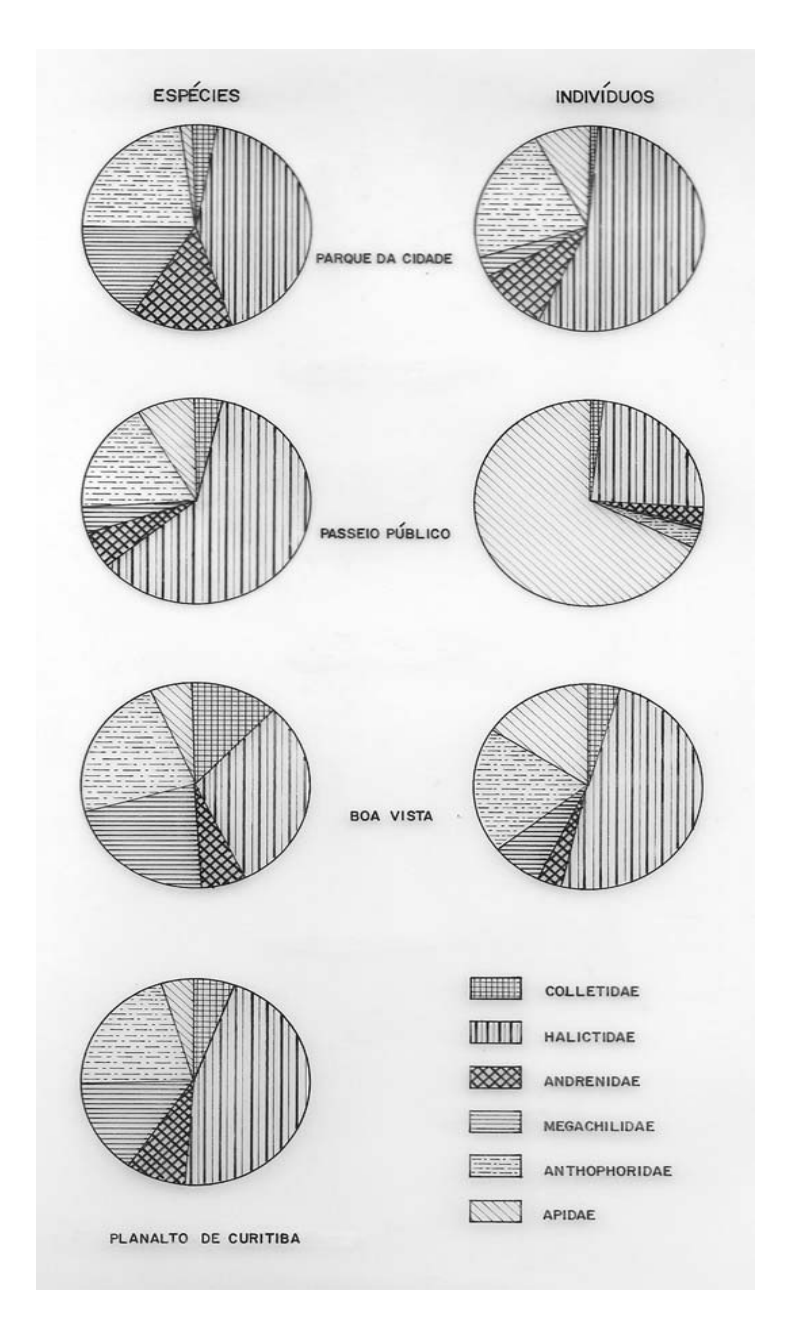


Fig. 4. Abundância relativa em número de espécies e indivíduos por família, das abelhas em várias áreas de Curitiba, Paraná. O gráfico para o Planalto de Curitiba inclui, além das amostras do Parque da Cidade, Passeio Público e Boa Vista, o levantamento de São José dos Pinhais, Paraná (dados em Laroca, 1972).

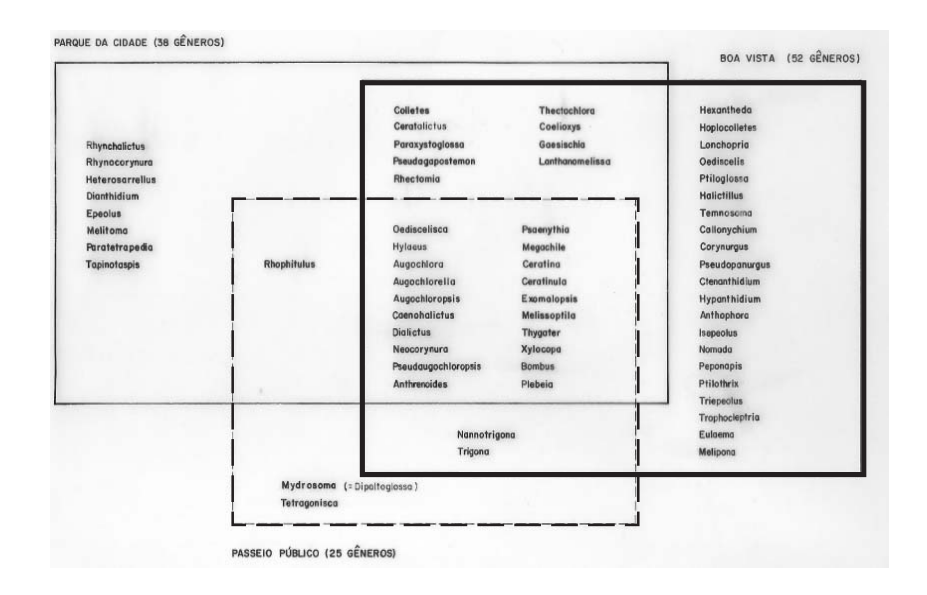


Fig. 5. Gêneros de abelhas representados nas amostras do Parque da Cidade, Passeio Público e Boa Vista. Não estão incluídos um gênero de Dianthidini não determinado, presente no Parque da Cidade, e outro de Panurginae, presente no Passeio Público.

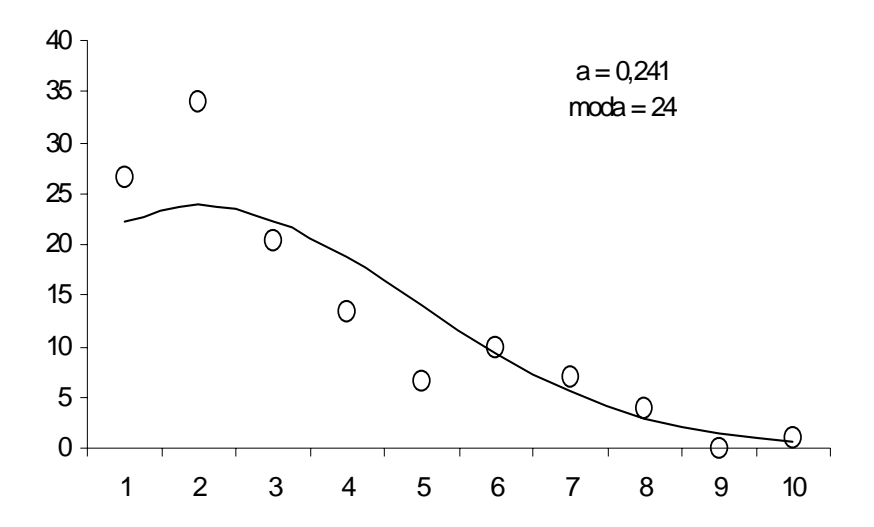


Fig. 6. Frequência de espécies de abelhas silvestres (Anthophila) no Parque da Cidade, Curitiba, Paraná, distribuídas segundo as oitavas de abundância, conforme o método de Preston (1948).

se pensar em atribuir esta constatação a diferenças geográficas ou mesmo entre sites próximos.

O que é notável na distribuição de frequências de espécies entre as várias oitavas na amostra do *Parque da Cidade* é a dispersão dos pontos en torno da distribuição esperada; fenômeno este já observado em um censo de Sphingidae realizado em um écotono da Serra do Mar em Banhado, Quatro Barras, Paraná (cf. LAROCA, BECKER & ZANELLA, 1989) e que Laroca interpretou como decorrência de uma certo "caos" ambiental na área. Fenômeno semelhante foi observado também por Kevan & Belaoussoft (1997) em comunidades de abelhas, após a aplicação experimental de um agente estressante (pesticida) nas flores, gerando uma "cáos" o que segundo constataram afeta a distribuição dos pontos em torno da curva lognormal teórica de Preston, e que a variação na dispersão dos pontos em relação a curva ajustada é uma medida do grau de saúde do ecossistema. Um de nós (SL), prefere usar o termo gráu de entropia (desorganização) do ecossistema, no lugar de "saúde", deixando este termo para designar o estado de sadio, de vigor físico, de organismos individuais como é tradicionalmente aceito.

Heithaus (1979 a) indica que o número e tipo de habitats amostrados, assim como a própria fisionomia da vegetação, têm demonstrado grande influência na riqueza em espécies das diferentes comunidades.

Pela dificuldade de medir a riqueza em espécies, um dos autores, SL (e posteriormente seus alunos e colaboradores), passaram a utilizar também a correlação entre o número acumulado de espécies e o número acumulado de indivíduos a partir da primeira classe de abundância. Aplicando-se este método aos dados do PC, PP e BV, notamos que o coeficiente de correlação está próximo de 1, indicando alta correlação entre as variáveis. No PC, a diversidade é maior que a observada no PP e menor que as de BV e SJP. Esse resultado, de certa forma previsível, pode ser explicado em parte pelas condições ecológicas das diferentes áreas, mas principalmente porque dos três lugares de Curitiba, o mais periférico e portanto em contato com as áreas silvestres vizinhas foi BV; PP, pelo contrário, uma "ilha ecológica" no meio da Cidade e por esse motivo as suas possibilidades de receber imigrantes são limitadas, especialmente as espécies não manipuladas pelo homem; por último, o PC apresenta uma condição quase que intermediária, devido a ser o seu isolamento em relação às áreas vizinhas mais recente do que o do PP e ao fato de que existem zonas próximas que ainda não foram urbanizadas e portanto aumentam, "ecologicamente", a sua área, possibilitando a existência de maior número de espécies. Conforme foi postulado por MACARTHUR & WILSON (1967), a distância entre uma "ilha" e a "fonte de espécies", assim como o tamanho da "ilha", são fatores que influenciam a diversidade.

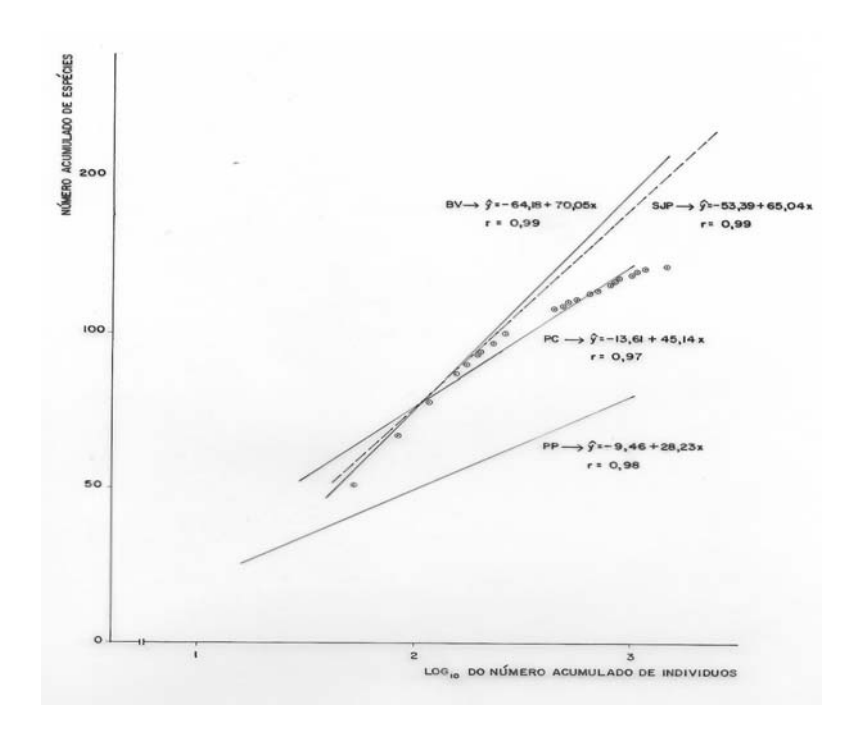


Fig. 7. Relação entre o número de espécies e o número de indivíduos no Parque da Cidade (PC), Passeio Público (PP), Boa Vista (BV) e São José dos Pinhais (SJP).

1.3 Espécies predominantes

Na figura 8 estão representadas as abundâncias relativas das espécies predominantes no PC, assim como as percentagens de machos.

Na amostra foram predominantes 21 espécies, as quais representam 80 % do total de indivíduos coletados. As espécies com mais de 50 exemplares e as suas percentagens, foram as seguintes: *Cerathalictus theius* (21 %), *Ceratina asuncionis* (6 %), *Thectochlora alaris* (5,4%), *Bombus atratus* (4,6%), *Ceratina* sp.1 (4,5%), *Dialictus pabulator* (3,8%), *Rhophitulus opacus* (3,5%) e *Dialictus* sp.10 (3,5%).

Comparando as espécies predominantes no PC, com as predominantes no PP e BV (Fig. 9), notamos as seguintes relações: 1) a abundância de *Ceratalictus theius* (21%), espécie predominante no PC, ocupa uma posição intermediária, quando comparada com as percentagens das espécies predominantes no PP e BV — *Plebeia*

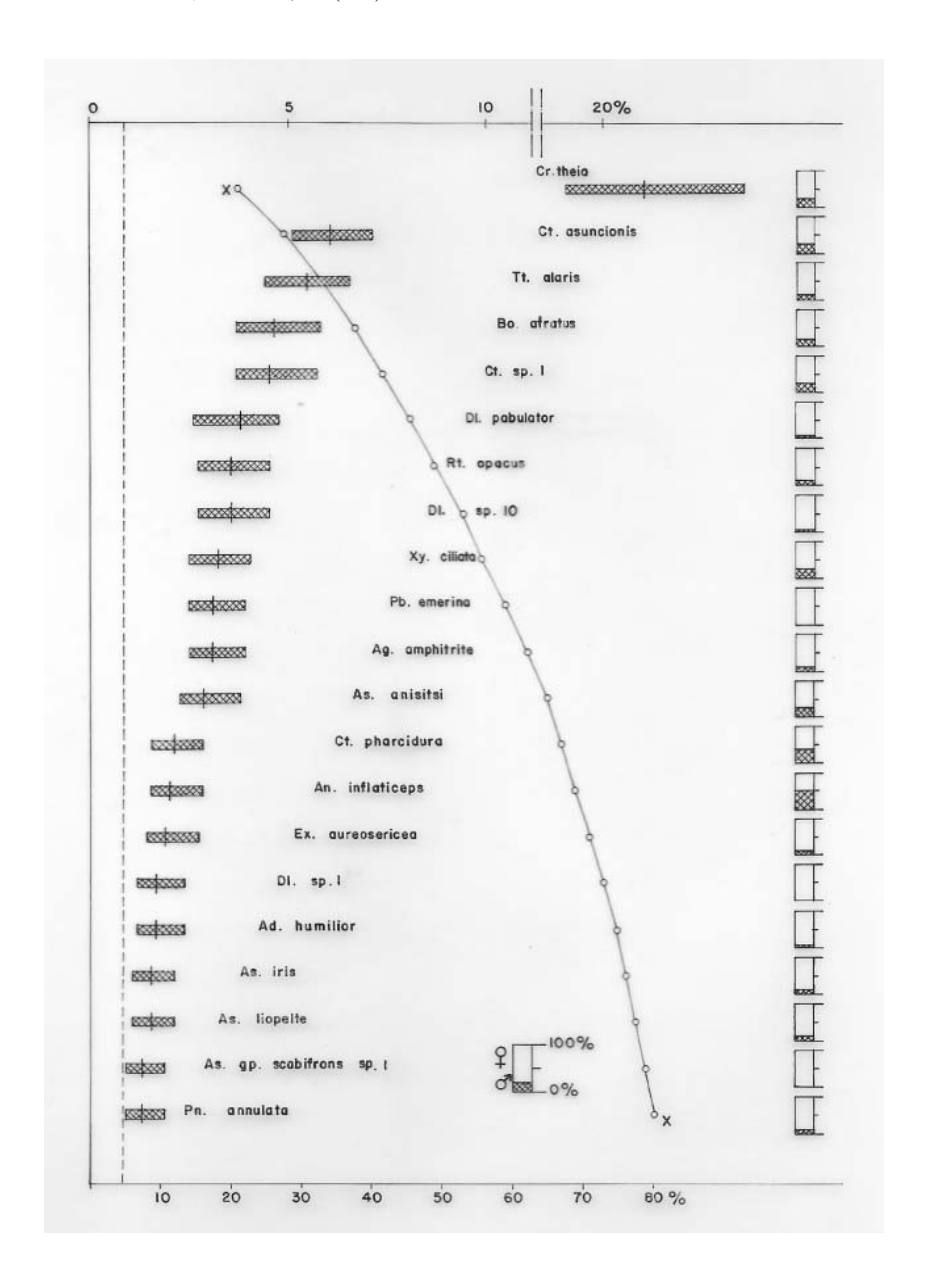


Fig. 8. Abundância relativa e percentagem de machos das espécies de abelhas predominantes no Parque da Cidade. Os limites de confiança (p = 0,05), segundo o método de Kato *et al.*, são dados pelas extremidades das barras horizontais (escala na parte superior); a linha tracejada vertical representa o inverso do número total de espécies multiplicado por 100. A linha XX indica a percentagem acumulada de indivíduos (escala na parte inferior). Os gêneros estão abreviados conforme Tabela 1.

emerina (42 %) e Paraxystoglossa jocasta (10 %); 2) P. emerina, muito abundante no PP, é predominante também no PC (apesar de ter aparecido em proporção muito menor e esporadicamente) e está ausente em BV; 3) P. jocasta, predominante em BV, está ausente no PP e apenas presente no PC; 4) Trigona spinipes, muito abundante em BV e PP, está ausente no PC; 5) Thectochlora alaris e Augochloropsis iris, abundantes no PC e BV, não foram capturadas no PP; 6) Ceratina asuncionis é predominante em BV e PC, mas escassa em PP; Hylaeus rivalis, muito escassa no PC, foi dominante no PP e BV; 8) as únicas espécies predominantes comuns às três áreas foram Augochlora amphitrite e Bombus atractus, em todas elas mostrando abundância relativa equivalente (cerca de 4% e 3% respectivamente).

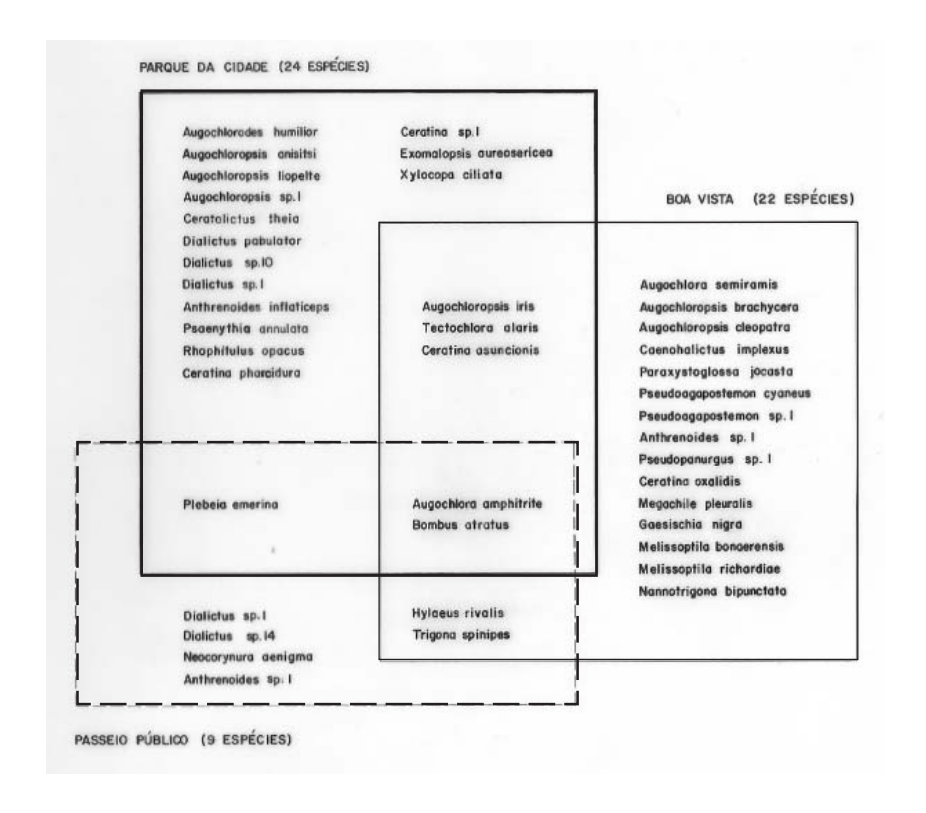


Fig. 9. Espécies de abelhas predominantes no Parque da Cidade, Passeio Público e Boa Vista (Curitiba, Brasil).

Por outro lado, quando comparamos a distribuição do número de indivíduos predominntes entre as diferentes famílias de Apoidea, para os três lugares, obtemos a tabulação seguinte:

	PC	PP	BV
HALICTIDAE	689 (59%)	362 (18%)	774 (56%)
ANTHOPHORIDAE	259 (22%)	_	223 (16%)
APIDAE	112 (10%)	1.612 (78%)	293 (22%)
ANDRENIDAE	100 (9%)	51 (2%)	43 (3%)
MEGACHILIDAE	_	_	29 (2%)
COLLETIDAE	_	44 (2%)	17 (1%)

A única área em que os indivíduos das espécies predominantes estão distribuídos entre todas as famílias é BV. No PP, quando comparado com BV, é notável a queda de Halictidae e o aumento de Apidae, assim como a ausência de Megachilidae e Anthophoridae. A situação no PC se assemelha à encontrada em BV pela alta percentagem de Halictidae e à do PP pela falta de Megachilidae. O aumento de Andrenidae e Anthophoridae, a ausência de Colletidae e a diminuição considerável de Apidae são características das espécies predominantes no PC.

2 Fenologia

2.1 Aspectos gerais

Iniciamos esta descrição (Fig. 10, Gráficos C e D), pelo período em que as abelhas apresentam menor atividade, que coincide com as condições de tempo adversas da transição outuno-inverno. Em junho e julho, as percentagens de espécies presentes foram de 12 % e 14 % e as de indivíduos, de 2 % e 5 %, respectivamente. A menor quantidade de espécies de plantas visitadas (3 % do total) ocorreu em julho. A defasagem entre os mínimos referentes às espécies de abelhas e de plantas visitadas está relacionada com duas geadas que ocorreram em junho. Nesse mês, a maioria das plantas visitadas correspondeu à primeira coleta, já que nas duas últimas eram visíveis no campo os efeitos da geada.

A partir de agosto a abundância de Apoidea eleva-se atingindo os máximos de indivíduos em setembro, e de espécies em novembro, que correspondem respectivamente a 14 % e 22 % dos totais. O máximo de indivíduos está ligado ao incremento de algumas espécies de porte pequeno (*Dialictus pabulator*, D. sp.10 e *Rhophitulus opacus*) já em atividade no mês anterior, as quais representaram 47 % dos indivíduos de setembro, enquanto que em agosto eram só 12 % do total do mês. O máximo de espécies está relacionado com o início da atividade de sete espécies de Megachilidae e seis de Anthophoridae (não Xylocopinae), que apesar de não representarem mais do que 17 % dos indivíduos do mês,

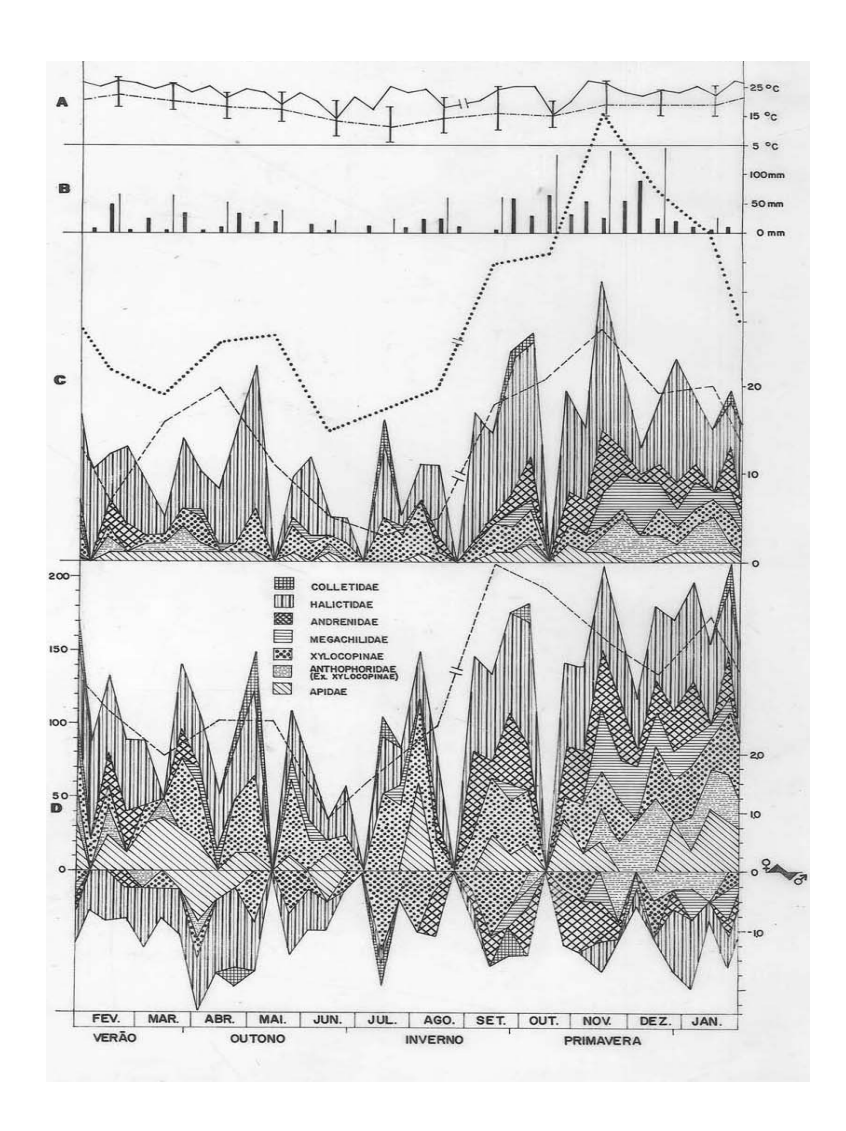


Fig. 10. Condições climáticas e fenologia das famílias de abelhas no Parque da Cidade. A) Temperaturas médias mensais compensadas (linha tracejada), temperaturas médias mensais das máximas e mínimas (extremos das barras verticais) e temperaturas médias no campo durante cada coleta (linha contínua). B) Precipitação em cada período de 10 dias (barras verticais grossas) e mensal (barras verticais finas). C) Número de espécies de abelhas por mês (linha pontilhada) e número de espécies de plantas por mês (linha tracejada). Os gráficos cheios representam o número de espécies por família em cada coleta. D) Número de indivíduos de abelhas por mês (linha tracejada, escala à esquerda). Os gráficos cheios mostram (em escala logarítmica, à direita) o número de indivíduos por família em cada coleta (fêmeas e machos separadamente). Anthophoridae não inclui Xylocopinae. A interrupção da linha nos gráficos indica a falta da terceira coleta de agosto.

correspondem a 76 % do aumento no número de espécies de setembro para outubro (de 34 para 51 espécies). A discordância entre os máximos do número de indivíduos e o de espécies mostra que o aumento dos indivíduos de espécies já em atividade antecede ao aparecimento de novas espécies. O maior número de espécies de plantas visitadas (30 % do total) coincide com o de espécies de abelhas.

Em dezembro as três curvas (espécies de abelhas e de plantas e número de indivíduos de abelhas) caem, sendo notável a depressão do número de indivíduos, devida principalmente a uma diminuição de Andrenidae e Anthophoridae. O pico subsequente do número de indivíduos é causado pelo aumento de Halictidae, Apidae e Xylocopinae, e não corresponde a um aumento do número de espécies, o qual continua a cair até a depressão de março, que coincide com uma queda do número de indivíduos. Esta se explica pelos fortes ventos reinantes durante as coletas nesse período, que diminuem a proporção de indivíduos em atividade — isto fica evidente na segunda coleta do mês, em que 64 % dos indivíduos em atividade são *Bombus atratus*, os quais, ao contrário das espécies de menor tamanho (*e.g.*, espécies de Halictidae), são capazes de voar quando o vento é relativamente forte.

A queda no número de plantas visitadas em fevereiro é difícil de explicar. A floração maciça de *Borreria verbenoides* (Rubiaceae) e *Baccharis articulata* (Compositae), que atraíram 87% do total de visitas, talvez justifique, pelo menos em parte, essa diminuição.

O panorama geral para o PC, exposto até aqui, tem semelhança com o observado para outros lugares de Curitiba (BV e PP). A existência de um período de inverno (junho-julho) em que as atividades das abelhas estão reduzidas, um pico de espécies no período setembro-outubro e a depressão entre novembro e dezembro são as coincidências mais evidentes.

2.2 FLUTUAÇÃO NO NÚMERO DE ESPÉCIES E DE INDIVÍDUOS POR FAMÍLIA

A flutuação do número de espécies e indivíduos por família nas diferentes coletas é representada na figura10 (Gráficos C e D). A quantidade de indivíduos é dada em escala logarítmica, e por esse motivo, enquanto o total de espécies aparece diretamente pela acumulação dos totais para cada família, o de indivíduos representa a acumulação dos logarítmos para cada uma.

APIDAE foi representada somente por duas espécies. *Bombus atratus* esteve consistentemente presente durante o ano, enquanto que *Plebeia emerina* apareceu esporadicamente na época de maior falta de flores (na primeira coleta de agosto foram capturados 78 % dos seus

indivíduos). A atividade da família se estendeu durante o ano todo, excetuando o mês de julho.

ANTHOPHORIDAE (excluindo Xylocopinae) apareceu no inicio da primavera. A sua maior abundância foi de novembro a janeiro, período em que foram encontrados em atividade 88% dos indivíduos e 74% das espécies do grupo; o pico em espécies (7 spp.) se localiza em janeiro. No início de abril os representantes desta família quase que desapareceram totalmente, a não ser pela presença do único exemplar de *Tapinotaspoides* sp., coletado em junho.

XYLOCOPINAE foi um grupo ativo durante todo o ano. Sua abundância concentrou-se de maio a setembro, período em que estiveram presentes 68% dos indivíduos e todas as espécies da família. Ocorreram dois picos em espécies (6 spp. nos dois), um em maio e outro em agosto.

MEGACHILIDAE esteve ausente durante os meses de fevereiro, março e agosto. A sua maior abundância observou-se de novembro a janeiro com a atividade de 83 % dos seus indivíduos. O pico em espécies (9 spp.) situa-se em dezembro.

ANDRENIDAE foi particularmente abundante de setembro a novembro, período no qual se concentraram 75% dos seus indivíduos; os restantes distribuíram-se de dezembro a março e em agosto, estando ausentes de abril a junho. O pico em espécies (10 spp.) aparece em novembro. Conforme Usul *et al.* (1976) em levantamentos feitos na região norte do Japão, os Andrenidae são excelentes indicadores fenológicos, refletindo mudanças no panorama fenológico geral de ano para ano; sua regularidade nos levantamentos feitos no Paraná, onde a família aparece sempre no início da primavera, com um pico de espécies em novembro, pode ser utilizada para futuras comparações com outras regiões.

HALICTIDAE foi o grupo predominante na maioria dos meses, tanto em número de espécies como de indivíduos, porém em julho e agosto o número de indivíduos de Xylocopinae foi maior. Depressões notáveis aparecem na primeira coleta de dezembro (na qual Megachilidae e Anthophoridae foram os grupos predominantes), na segunda de março e na terceira de julho (nas quais Xylocopinae é predominante). Sua maior abundância foi em setembro e outubro. O pico em espécies (25 spp.) aparece em novembro.

COLLETIDAE foi um grupo pouco abundante e de aparição esporádica durante o ano, não permitindo maiores comentários.

Para concluir esta parte do estudo fenológico, foram elaborados cinco dendrogramas, considerando a presença ou ausência dos indivíduos de cada família durante os diferentes meses de cada estação, e durante todos os meses do ano (Fig. 11). A similaridade de fenologia entre as famílias aumenta na primavera e no verão, indicando um maior equilíbrio

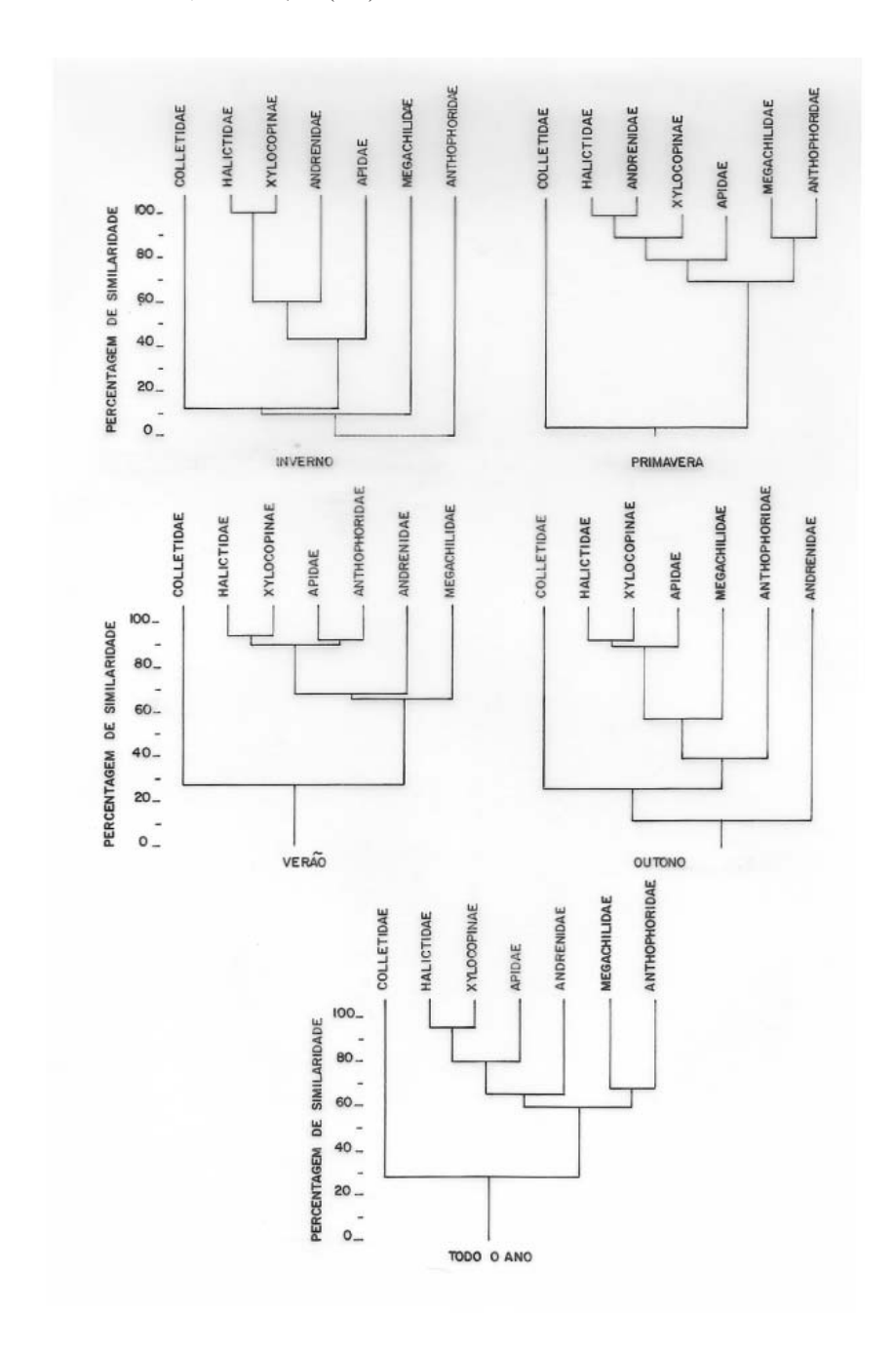


Fig. 11. Dendrogramas representando os grupos fenológicos formados pelas famílias de abelhas no Parque da Cidade. Anthophoridae não inclui Xylocopinae.

de atividades entre elas. Unicamente Colletidae fica mais distante devido a sua escassez durante o ano. Os dendrogramas para o inverno e outono, ao contrário, mostram uma menor similaridade de fenologia entre as famílias, indicando que nessas estações suas atividades são mais destoantes.

Na primavera, Megachilidae e Anthophoridae foram um grupo diferente do formado por Halictidae, Andrenidae, Xylocopinae e Apidae. No verão, a atividade de Megachilidae diminui, contrapondo-se à do grupo formado por Halictidae, Apidae, Anthophoridae e Andrenidae. Durante o outono, Halictidae, Xylocopinae e Apidae se juntam, mostrando. atividade maior que a das outras famílias. No inverno, Halictidae, Xylocopinae e Andrenidae formam um grupo, Apidae fica isolada e Megachilidae, Anthophoridae e Colletidae estão quase totalmente inativas.

No último dendrograma, considerando todas as estações em conjunto, formam-se dois grupos fenológicos contrastantes. O primeiro formado por Halictidae, Xylocopinae e Apidae, e o segundo, por Megachilidae e Anthophoridae, ficando Colletidae isolada e Andrenidae como intermediária entre o padrão fenológico mais amplo (que inclui as abelhas que voam durante a maior parte do ano: Halictidae, Xylocopinae e Apidae) e o padrão mais restrito (que inclui as abelhas com atividade durante a primavera e verão: Megachilidae e Anthophoridae).

Apesar da pouca ocorrência de Apidae e Colletidae, os resultados mostram a existência dos grupos fenológicos observados por Sakagami, Laroca & Moure (1967 b) e Laroca (1972) — *i.e.*, um grupo formado por Colletidae, Andrenidae, Megachilidae e Anthophoridae, e outro por Halictidae, Xylocopinae e Apidae. O primeiro se caracteriza pela atividade durante o verão, o que, conforme esses autores, concorda com a fenologia dos seus parentes de clima temperado, enquanto que no outro grupo, por exemplo, Xylocopinae (cf. Sakagami & Laroca, 1971) apresenta várias espécies que permanecem em atividades durante os dias mais quentes de inverno.

2.3 FLUTUAÇÃO DAS ESPÉCIES PREDOMINANTES

A figura 12 mostra a abundância relativa e proporção de machos (em %) de cada uma das espécies predominantes por mês. Os índices de diversidade (H') e equitabilidade (E) nos diferentes meses são dados na parte inferior da figura 13; eles serão mencionados pelas suas posições relativas (arranjadas em ordem crescente), para mostrar de forma mais clara a flutuação durante o ano.

FEVEREIRO

Três espécies de Halictidae, *Ceratalictus theia, Thectochlora alaris* e *Augochloropsis* anisitsi representam 12 % das espécies e 66 % dos indivíduos. H' e E são baixos (8ª e 10ª posições).

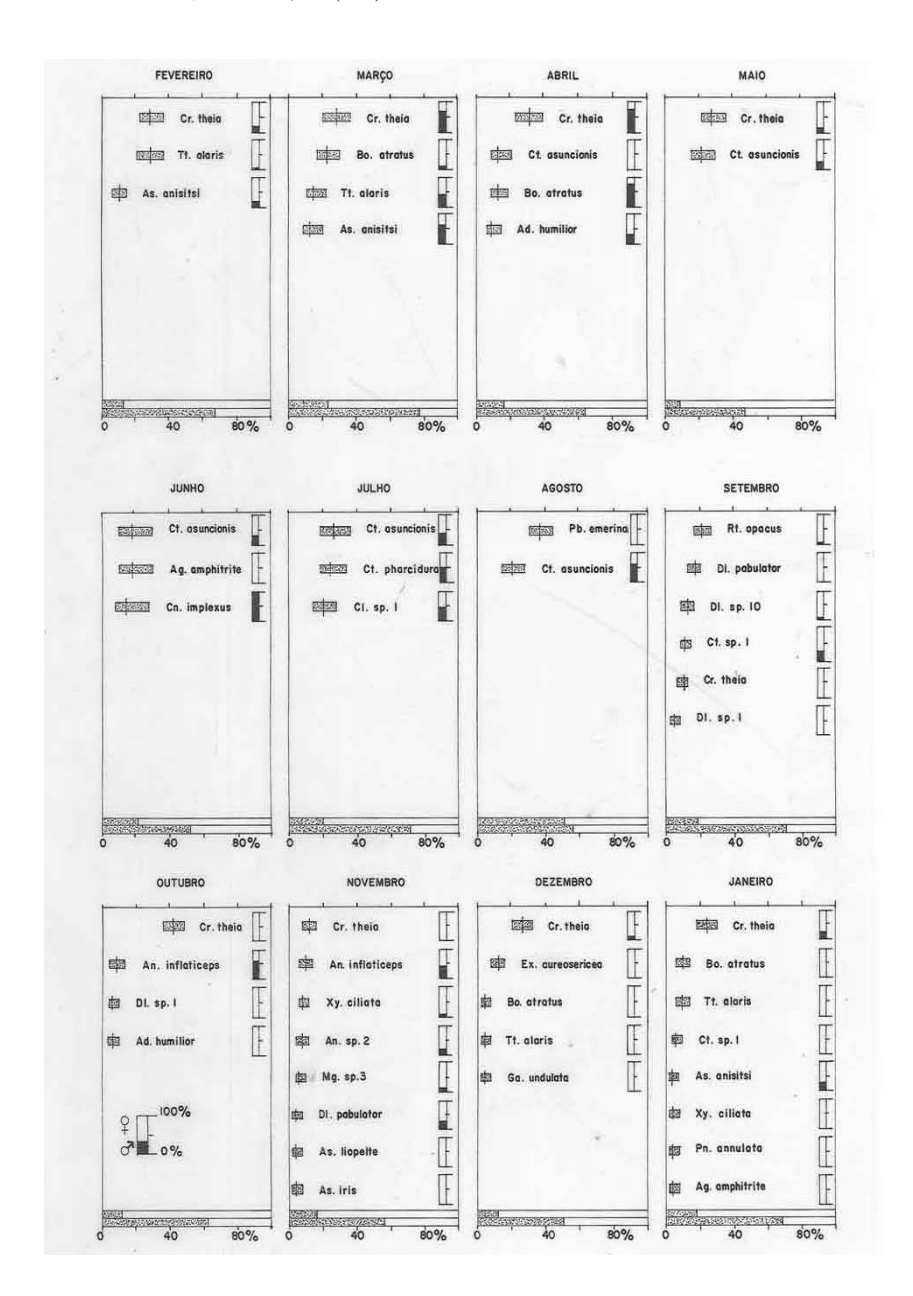


Fig. 12. Sucessão mensal, abundância relativa (limites de confiança, p = 0,05, segundo método de Kato *et al.*), e percentagem de machos, das espécies de abelhas predominantes no Parque da Cidade. As barras horizontais na parte inferior dos gráficos indicam, respectivamente, as percentagens de espécies e indivíduos que essas espécies representam em relação aos totais do mês. Os gêneros estão abreviados conforme Tabela 1.

Marco

Além das espécies do mês anterior, aparece *Bombus atratus* representando em conjunto 21% das espécies e 75% dos indivíduos. H' diminui e E aumenta (9ª e 8ª posições).

Abrii

Thectochlora alaris e Augochloropsis anisitsi deixam de ser predominantes; entretanto Ceratina asuncionis e Augochlorodes humilior passam a ser mais abundantes. As espécies predominantes representam 16% do total de espécies e 63% dos indivíduos. H' e .E aumentam (5ª posição para os dois). Neste mês a percentagem de machos entre as espécies predominantes foi a maior do ano (58%).

Maio

As espécies predominantes reduzem-se para duas: *Ceratalictus theia* e *Ceratina asuncionis*. Elas representam 8% das espécies e 46% dos indivíduos. H' se mantém (5ª posição) e E cai (7ª posição).

Junho

Ceratalictus theia deixa de ser predominante, enquanto que Ceratina asuncionis permanece; aparecem ainda Augochlora amphitrite e Caenohalictus implexus (esta última representada só por machos). São predominantes 20 % das espécies e 50 % dos indivíduos do mês. H' diminui (7ª posição) e E passa a ser a maior do ano.

JULHO

Ceratina asuncionis junto a *C. Pharcidura* e *Ceratinula* sp. 1, todas Xylocopinae, representam 18% das espécies e 70% dos indivíduos. H' e E diminuem (11ª e 9ª posições).

Agosto

Ceratina asuncionis continua como predominante, aparecendo também *Plebeia emerina*. Juntas representam 10% das espcies e 56% dos indivíduos. H' e E continuam baixos (10ª e 11ª posições).

SETEMBRO

Depois do inverno, a composição de espécies predominantes muda. *Rhophitulus opacus*, *Dialictus pabulator*, *D.* sp.10, *Ceratina* sp.1 e *D.* sp.1 predominam, retornando também *Ceratalictus theia*. Juntas representam 18% das espécies e 71% dos indivíduos. H' e E aumentam (4ª e 6ª posições).

OUTUBRO

São predominantes *Ceratalictus theia*, *Anthrenoides inflaticeps*, *Dialictus* sp.1 e *Augochlorodes humilior*, as quais respondem por 11% das espécies e 62% dos indivíduos. H' diminui (6ª posição) e E é a mais baixa do ano.

Novembro

O número de espécies predominantes é, pela primeira vez, oito. Ceratalictus theia, Anthrenoides inflaticeps, Xylocopa ciliata, Anthrenoides sp.2, Megachile sp.3, Dialictus pabulator, Augochloropsis liopelte e A. Iris representam 16% das espécies e 57% dos indivíduos. H' e E são elevadas (1ª e 2ª posições).

DEZEMBRO

Caem para cinco as espécies predominantes. *Ceratalictus theia*, *Exomalopsis aureosericea*, *Bombus atratus*, *Thectochlora alaris* e *Gaesischia undulata* correspondem a 12 % das espécies e 51 % dos indivíduos. H' e E caem uma posição (2ª e 3ª posições).

JANEIRO

Novamente, eleva-se para oito o número de espécies predominantes. *Ceratalictus theia, Bombus atratus, Thectochlora alaris, Ceratina sp.1, Augochloropsis anisitsi, Xylocopa ciliata, Psaenythia annulata* e *Augochlora amphitrite* representam 17 % das espécies e 66 % dos indivíduos. H' e E caem uma posição (3ª e 4ª posições).

Novembro e janeiro foram os meses com maior número de espécies predominantes, porém novembro apresentou maior diversidade e equabilidade, assim como menor percentagem de indivíduos dentro das espécies predominantes. A baixa diversidade de julho foi acompanhada de uma baixa equitabilidade, devido à dominância dos Xylocopinae, que agruparam entre suas três espécies predominantes 70 % dos indivíduos do mês. A baixa equitabilidade em agosto deveu-se à elevada proporção de exemplares de *Plebeia emerina*. Existem dois intervalos em que a proporção de machos entre as espécies predominantes foi alta: o período março-abril (machos de *Ceratalictus theia*, *Bombus atratus*, *Augochloropsis anisitsi* e *Augochlorodes humilior*) e o período junhoagosto (machos de *Ceratina asuncionis*, *Caenohalictus implexus*, *Ceratina pharcidura* e *Ceratinula* sp.1).

2.4 CICLO ANUAL DE ATIVIDADES DAS ESPÉCIES PREDOMINANTES

As informações aqui apresentadas são apenas um complemento de estudos mais aprofundados sobre os ciclos de vida dessas espécies. Esses estudos requerem um exame cuidadoso do material dos ninhos, e, mesmo assim, a situação é complicada pela existência de grupos sociais ou semisociais, com sobreposição de gerações (SAKAGAMI & LAROCA, 1971).

O ciclo anual de atividades (Fig.13) será exposto segundo a ordem de abundância das espécies predominantes.

Ceralictus theia

Depois de um período de inatividade durante o inverno (em junho e julho só foram capturadas duas fêmeas e nenhuma em agosto), as fêmeas apareceram antes que os machos, alcançando um pico em outubro (81

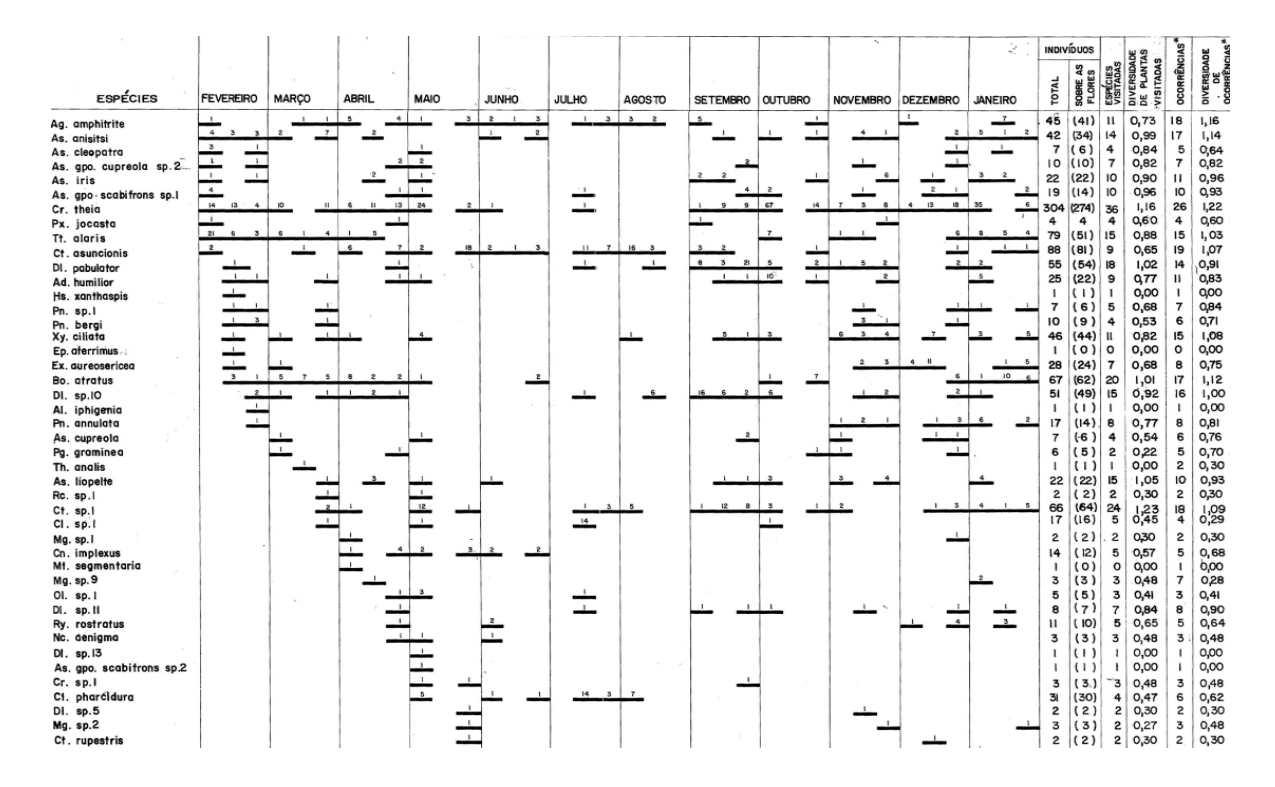
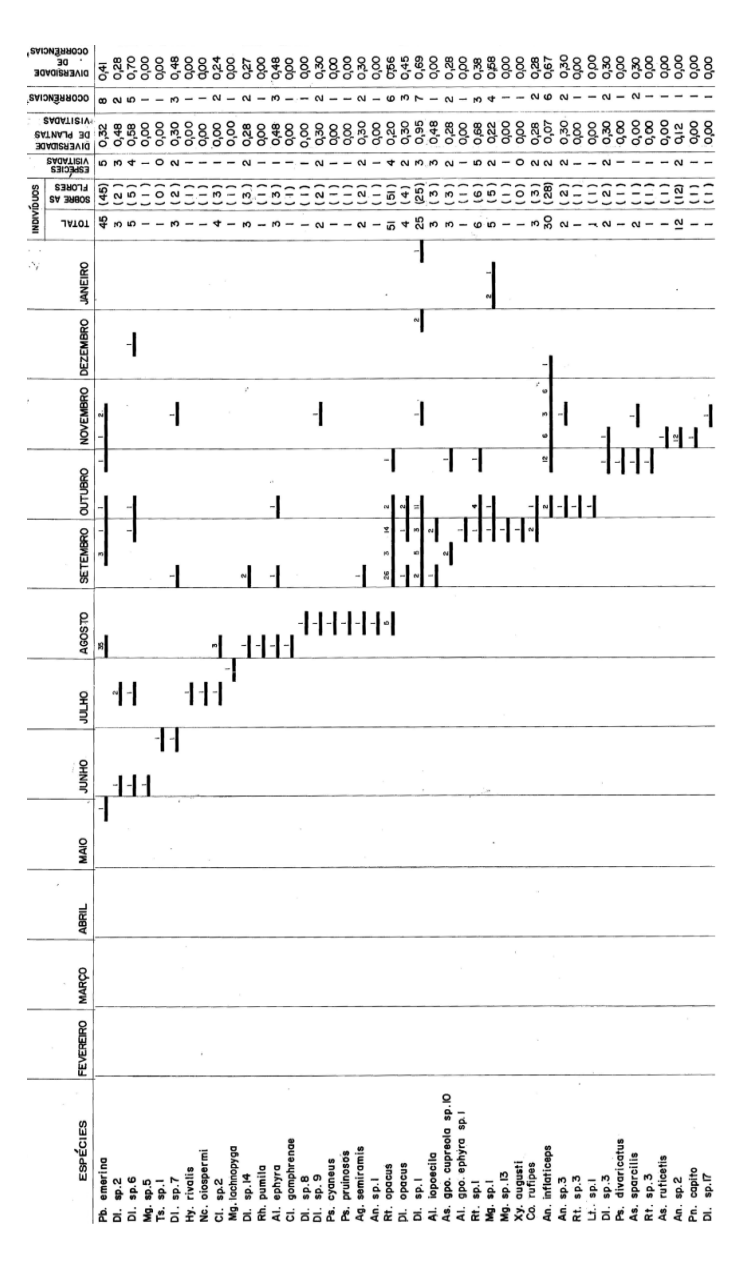
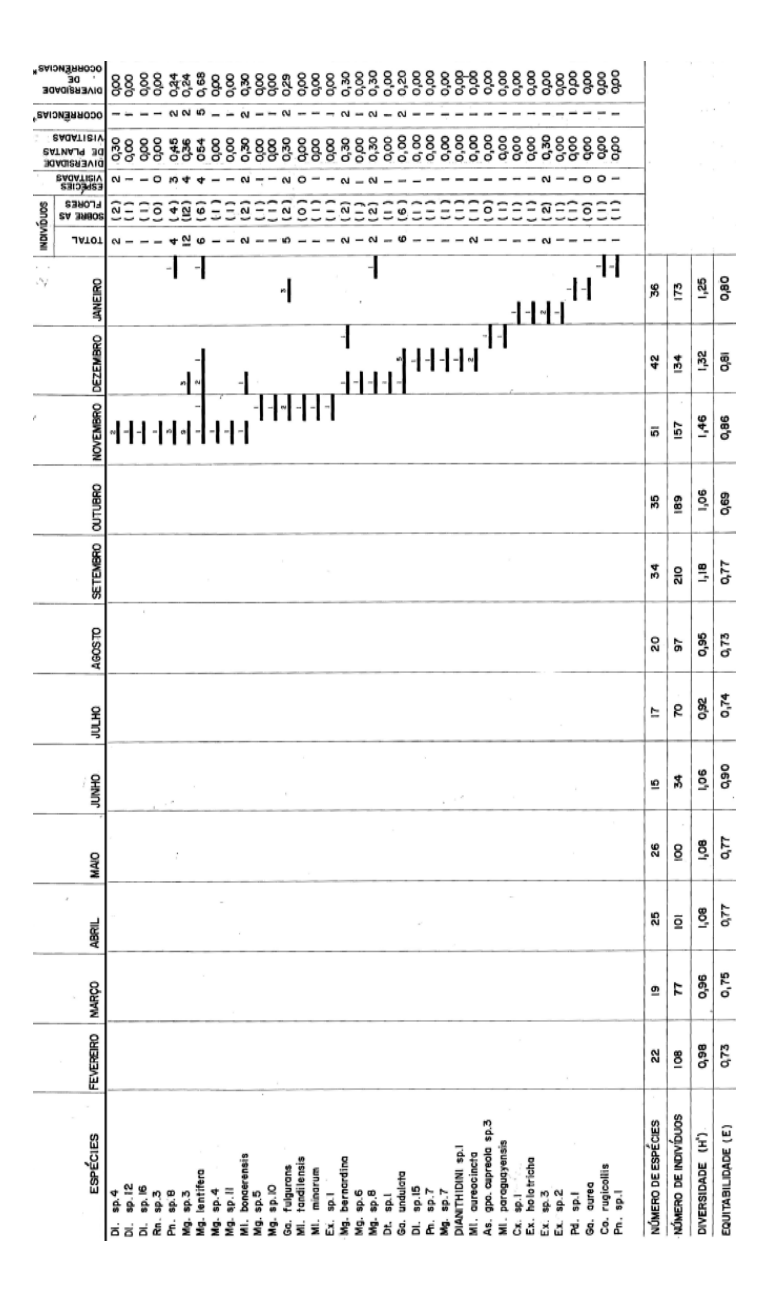


Fig. 13. Ciclo anual de atividade, diversidade de plantas visitadas (amplitude do nicho trófico), diversidade das ocorrências* (amplitude do nicho temporal) e índices de diversidade por mês, das abelhas coletadas no Parque da Cidade. Acima das barras horizontais, que representam a presença da espécie em cada coleta, e dada a sua freqüência. Os gêneros estão abreviados conforme Tabela1. *Ocorrências = número de coletas em que a espécie foi capturada. [figura 13 continua]

Fig. 13: continuação

Fig. 13: continua





indivíduos) e mantendo-se em alta abundância até maio. A maior quantidade de coleta de pólen foi de setembro a fevereiro. Os machos começaram a aparecer em dezembro, atingindo o máximo (25 indivíduos) em abril. Os dados são semelhantes aos de Laroca (1972) para SJP, segundo os quais a maior freqüência de fêmeas dá-se entre agosto e janeiro, e a atividade dos machos vai de dezembro a abril, com o máximo em dezembro.

Ceratina asuncionis

As fêmeas foram abundantes de abril a setembro, com um decréscimo em junho, devido ao mau tempo. Uma fêmea foi coletada em dezembro, uma em janeiro e duas em fevereiro. Os machos foram mais abundantes de maio a outubro, também com um decréscimo em junho, devido ao mau tempo. Um macho foi capturado em março e outro em janeiro.

Thectochlora alaris

Ativa de outubro a abril. As fêmeas apareceram primeiro, atingindo o máximo (28 indivíduos) em fevereiro, mês no qual apareceram os machos. A espécie apresentou um período de inatividade entre maio e setembro.

Bombus atratus

As observações feitas no presente trabalho coincidem com as mencionadas por Sakagami & Laroca (1971 b). Depois de um período inativo durante o inverno, a atividade recomeçou em outubro, com as fêmeas cujo tamanho é compatível com o de rainha (8 indivíduos) e posteriormente em dezembro com as operárias. Novas fêmeas grandes (muito provavelmente rainhas) apareceram no outono. Os machos (12 indivíduos) foram ativos de março a abril. Segundo os autores mencionados, as rainhas de primavera são fundadoras e estão à procura de lugares para nidificação, enquanto que as rainhas de outono (muito mais escassas) representam indivíduos recentemente emergidos, que coincidem com a atividade dos machos.

Ceratina sp.1

Esteve ausente nas amostras de fevereiro e junho. O pico para os dois sexos foi em setembro.

Dialictus pabulator

Apresentou um pico (39 indivíduos) em setembro, sendo mais ou menos abundante até novembro. Nos meses restantes apresentou-se em baixas proporções e de forma descontínua.

Rhophitulus opacus

Os primeiros machos apareceram em agosto e as fêmeas em setembro, ambos desaparecendo em novembro. O seu período ativo foi muito curto.

Dialictus sp.10

Excetuando maio e junho, esteve presente durante todo o ano. A atividade das fêmeas foi máxima em setembro, período no qual foi capturado o único macho.

Xylocopa ciliata

Ausente no período junho-julho. Os machos foram coletados em abril, setembro, novembro e dezembro. O máximo de fêmeas apareceu de novembro a janeiro.

Augochlora amphitrite

Com exceção de novembro, ocorreu durante o ano todo. Os machos foram capturados em março e abril. Isso coincide com as observações feitas no PP, onde esta espécie foi também muito abundante e os machos começaram a aparecer em janeiro com o máximo de março a abril.

Augochloropsis anisitsi

Não ocorreu nas amostras de maio a agosto. O pico para as fêmeas foi em fevereiro e os machos estiveram ativos de janeiro a abril.

Ceratina pharcidura

Em maio apareceram as fêmeas, alcançando o máximo em julho, mês em que os machos estiveram também em atividade.

Anthrenoides inflaticeps

Os machos e as fêmeas apareceram na mesma época. Sua atividade esteve restrita à primavera.

Exomalopsis aureosericea

Foi coletada durante a primavera e o vergo. O pico para o número de fêmeas deu-se em dezembro. Um macho foi capturado em fevereiro e outro em novembro.

Dialictus sp.1

Ativa na primavera (setembro a janeiro). Os máximos situaram-se em setembro e outubro.

Augochlorodes humilior

Excluindo o período junho-agosto, foi coletada durante o resto do ano. O pico de fêmeas foi em outubro e os macho foram capturados um em janeiro e outro em maio.

Augochloropsis iris

Presente sobre as flores de setembro a maio e ausente de junho a agosto e em fevereiro. Um macho foi capturado em. janeiro e dois em abril.

Augochloropsis liopelte

Possivelmente foi ativa de setembro a junho. Não foi capturada durante o período de inverno nem nos meses de dezembro e fevereiro.

Augochloropsis sp.1 (grupo scabifrons)

A sua distribuição nas coletas foi mais ou menos descontínua. No foi capturada em março, junho e agosto.

Psaenythia annulata

As fêmeas estiveram em atividade de novembro a fevereiro. Um macho foi capturado em novembro e outro em janeiro.

Com a finalidade de saber quais são as espécies predominantes que apresentaram fenologias semelhantes, elaborou-se um dendrograma (Fig. 14). Resultaram seis grupos fenológicos mais ou menos definidos: o primeiro (1), com atividade durante a maior parte do ano, é formado por Ceratalictus theia, Xylocopa ciliata, Ceratina sp.1, Dialictus pabulator, D. sp.10, Ceratina asuncionis e Augochlora amphitrite; o segundo (2), com nítida interrupção da atividade durante o inverno, é formado por Augochlorodes humilior, Augochloropsis liopelte, A. iris e A. sp.1 (grupo scabifrons); o terceiro (3), que inclui espécies com interrupção da atividade durante boa parte do outono e inverno, é formado por Thectochlora alaris e Bombus atratus (Augochloropsis anisitsi, que também ficou aqui agrupada, mostra um ciclo de atividade algo diferente); o quarto (4), ativo principalmente durante a primavera, é formado por Anthrenoides inflaticeps, Dialictus sp.1 e Psaenythia annulata; o quinto (5) é formado por uma única espécie, Rhophitulus opacus, que foi ativa durante a transição inverno-primavera, e o sexto (6), formado também por uma única espécie, Ceratina pharcidura, que foi ativa durante a transição outono-inverno.

Sakagami, Laroca & Moure (1967) distinguiram dentro de Andrenidae três grupos fenológicos: o primeiro, com atividade na primavera, foi constituído por uma espécie de *Rhophitulus*, duas de *Anthrenoides*, uma de *Psaenythia* e uma de *Callonychium*; o segundo, ativo durante o verão, incluiu três espécies de *Psaenythia* (*P. annulata* entre elas), e o terceiro, cuja fenologia é difícil de ser estabelecida, foi formado por *Acamptopoeum prini* (Holmberg) e outra espécie não determinada. Este último grupo, conforme os autores mencionados, pode ser o resultado de multivoltinismo das espécies, ciclos de vida longos, ou, ainda, variações individuais que obscurecem a delimitação das gerações.

3 VISITA ÀS FLORES

3.1 Espécies de plantas visitadas

A lista de plantas visitadas pelas abelhas no Parque da Cidade, assim como os códigos (à direita) utilizados para identificar as espécies nas

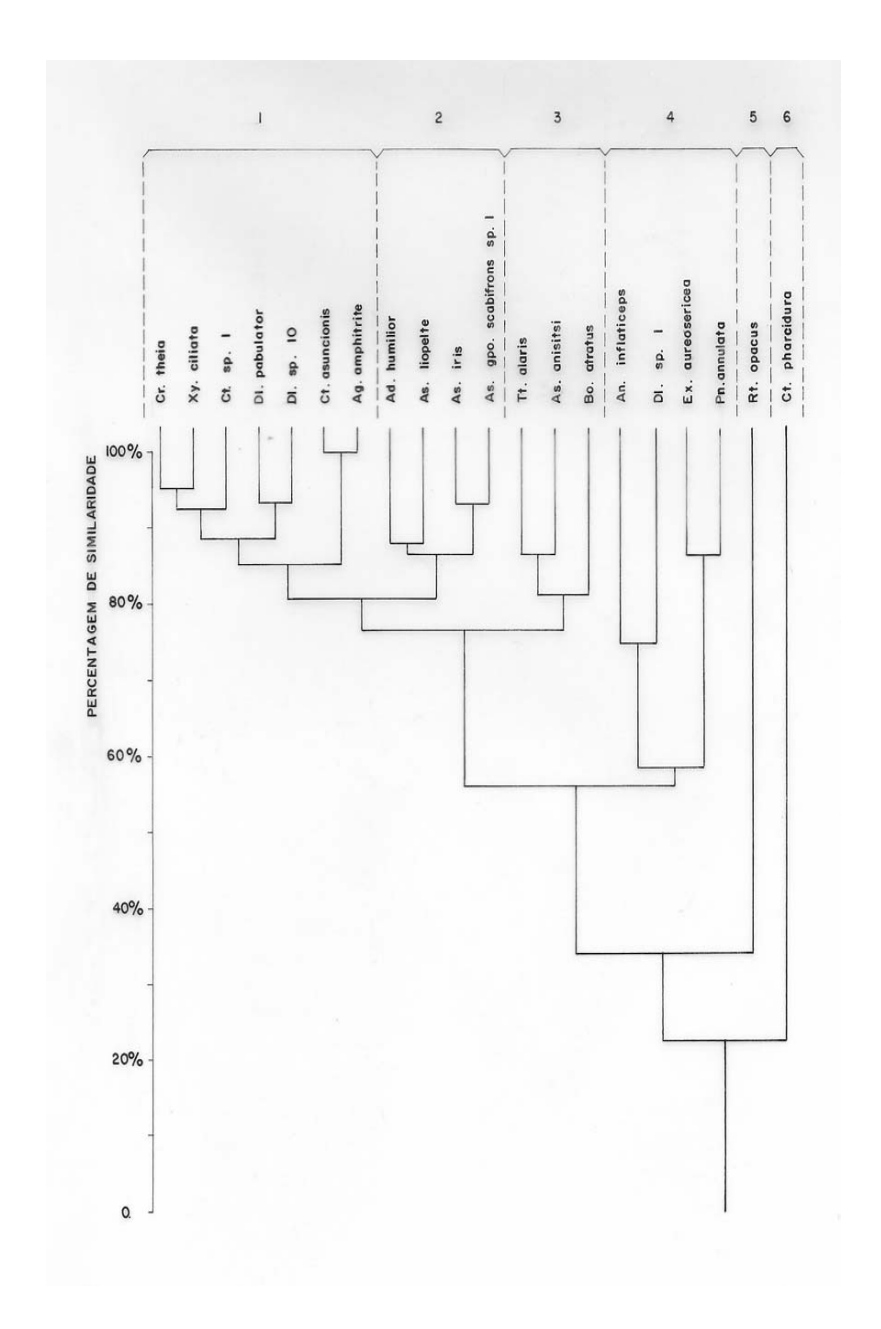


Fig. 14. Dendrograma representando os grupos fenológicos formados pelas espécies de abelhas predominantes no Parque da Cidade. Os gêneros estão abreviados conforme Tabela 1

listagens de computador (Anexo 2), segue-se abaixo. As exsicatas foram depositadas no Herbário do Departamento de Botânica da Universidade Federal do Paraná.

AMARANTHACEAE

Pfaffia glabrata Mart. (0101 e 0103) P. tuberosa (Spreng) Hicken (0102)

AMARYLLIDACEAE

Habranthus sp. (0201)

BORRAGINACEAE

Moritzia dusenii Johnston (1801)

CARYOPHYLACEAE

Cerastium dicrotrichum Fengl ex Rohrb. (1702) Stellaria media (L.) Cyr. (1701)

COMPOSITAE

Ageratum conyzoides L. (0301)

Aspilia setosa Griseb. (0302)

Aster haplopappus (Remy) O. Kuntze (0341)

Baccharis articulata (Lam.) Pers. (0304)

- B. calvescens A. P. DC. (0305)
- B. erigeroides A. P. DC. (0338)
- B. gaudichaudiana A. P. DC. (0306)
- B. pentodonta Malme (0307)
- B. trimera (Less.) A. P. DC. (0310)
- B. uncinella A. P. DC. (0311)
- *B.* spp.1 e 2 (0303 e 0339)

Calea cymossa Less. (0347)

- C. glabrata Sch. Bib. Ex Krausch. (0312)
- C. hispida (DC.) Baker (0313)
- C. sp. (0344)

Chaptalia integerrima (Vell.) Burk (0314)

Erigeron tweediei H. et A. (0345)

Eupatorium ascendens sch. bip.(0316)

- E. blupleurifolium DC. (0335)
- E. congestum Hook et Arm. (0317)
- E. hirsutum Hook et Arm. (0318)
- E. inulaeifolium H. B. K. (0319)
- E. laetevirens Hook et Arm. (0320)

E. laevigatum Lees. (0321)

E. macrocephalum DC. (0340)

E. verbenaceum DC. (0322)

Hypochoeris sp. (0342)

Mikania officinalis Mart. (0324)

Orthopappus aff. Angustifolius (Sw.) Gleason (0336)

Pterocaulum angustifolium DC. (0325)

Senecio oleosus Vell. (0326)

S. sp. (0352)

Solidago microglossa DC. (0327)

Spilanthes bellidioides (Smith) Cabrera (0353)

Stevia gardneriana Bak. (0328)

S. lundiana Bak. (0329)

Tagetes minuta L. (0330)

Vernonia cognata Less. (0331)

V. flexuosa Sims. (0346)

V. glabrata Less. (0332)

V. hypochaeris DC. (0333)

V. megapotamica var. Hexanta (Sch. Bip.) Cabrera (0351)

V. sp (0350)

Viguiera trichophylla Dusen (0334)

COMPOSITAE sp. (0343)

CONVOLVULACEAE

Ipomoea cairica (L.) Sweet (0402)

I. nil (L.) Roth (0401)

CRUCIFERAE

Raphanus raphanistrum L. (0501)

CYPERACEAE

Ascolepis brasiliensis (Kth.) Bth. ex L.B.C.L. (1601)

IRIDACEAE

 $Sisyrinchium\ macrocephalum\ R.\ Graham\ (0602)$

S. sp. (0601)

LABIATAE

Hyptis althaeafolia Pohl ex Benth. (0704)

Peltodon longipes St. Hil. (0702)

Rhabdocaulon gracilis (Benth.) Epl. (0703)

Salvia lachnostachys Benth. (0701)

LEGUMINOSAE

Crotalaria hilariana Benth. (0802) Medicago sp. (0801) Rhynchosia coryfolia Mart. (0803)

LYTRACEAE

Cuphea calophylla Cham. et Schlecht. (0902) C. linarioides Cham. et Schlecht. (0901)

MELASTOMATACEAE

Tibouchina gracilis (Bonpl.) Cogn. (1503) *T.* sp. (1501)

OXALIDACEAE

Oxalis biloba Fredeikson (1001)

O. hispidula Zucarini (1003)

O. sexenata Savigny (1002)

RUBIACEAE

Borreria fastigiata K. Schum (1101)

B. suaveolens G. F. M. Meyer (1102)

B. verbenoides Cham. et Schl. (1103)

B. verticillata (L.) G. F. M. Meyer (1105)

Relbunium megapotamicum (Spr.) Ekerndf. (1104)

SOLANACEAE

Acnistus breviflorus Sendtn. (1201)

UMBELLIFERAE

Eryngium eburneum Dcne. (1303)

E. elegans Cham. et Sch. (1302)

E. megapotamicum Malve (1304)

E. sanguisorba C. et S. (1301)

E. sellowii Wolff (1305)

E. spp. 1 a 3 (1306 a 1308)

VERBENACEAE

Lippia turnerifolia Cham. (1403) Verbena hirta Spreng. (1401) 3.2 Abundância relativa das abelhas sobre as diferentes famílias de plantas

Entre os 1.450 indivíduos de Apoidea coletados no PC, cerca de 1.306 o foram sobre as flores de 88 espécies de plantas pertencentes a 18 famílias (Tabela 2).

As famílias mais frequentemente visitadas (com mais de 90 indivíduos) foram: Compositae (cerca de 34 % do total de visitas), Labiatae (19 %), Rubiaceae (9%), Umbelliferae (10 %) e Oxalidaceae (7 %).

A percentagem de espécies de Compositae foi a maior das observadas para Curitiba, a saber: PC (53 %) > BV (49 %) > PP (11 %); enquanto que as percentagens de visitas às suas flores foram maiores em BV (cerca de 76 % do total) e menores no PP (cerca de 4 % do total), quando comparadas com o PC (cerca de 34 %). A baixa abundância de Compositae no PP foi atribuída à "limpa constante das áreas gramadas, substituição de espécies nativas por ornamentais e existência do estrato arbóreo que propicia sombra e impede o desenvolvimento das espécies heliófilas desta família (LAROCA, CURE & BORTOLI, 1982). A alta frequência de visitas a Compositae, observada em BV, deveu-se à abundância de flores de *Senecio* spp. (S. Laroca, comunicação pessoal). No PC, sete espécies de Compositae foram predominantemente visitadas e receberam 65% do total de visitas a esta família.

Labiatae e Umbelliferae, predominantemente visitadas no PC, também receberam uma proporção elevada de visitas em BV, mas apresentaram baixas proporções no PP. Oxalidaceae, predominantemente visitada no PC, esteve ausente no PP e BV.

A pouca riqueza em espécies de Leguminosae visitadas, fato ressaltado por Laroca (1972) é evidenciada também na amostra do PC.

As famílias comuns ao PC, PP e BV estão representadas na figura 15. O PC tem em comum dez famílias com o PP (QS=O,21) e dez com BV (QS=O,26), enquanto que o PP e BV coincidem em 13 (QS=O,26). Essas similaridades, relativamente baixas, mostram que existem diferenças,a nível de família, na composição de plantas visitadas nos três lugares, o que provavelmente acarreta também diferenças na composição faunística, especialmente das espécies mais oligoléticas — as famílias de plantas exclusivas a cada um dos lugares receberam visitas em proporções relativamente baixas (16 % do total em PC e 5 % em BV), excetuando o PP onde a maioria das visitas (70 % do total) foram feitas a essas plantas. Entre as famílias exclusivas a cada lugar, Convolvulaceae, Cruciferae e Oxalidaceae foram as mais visitadas no PC, e Onagraceae em BV. No PP, das 16 famílias exclusivas, dez receberam elevadas proporções de visitas.

Tabela 2. Número de espécies e indivíduos capturados sobre as flores das diferentes famílias de plantas no Parque da Cidade (F: fêmeas. M: machos. T: total).

# Número N	ж н н е ж н о	F H T F 146 71 237 21 448 40 468 83 134 4 138 16 82 15 97 8 95 11 106 8 47 1 147 0 47 1 15 5 20	6 71 237 21 5 26 16 2 18 10 6 16 16 48 40 488 83 30 113 19 8 27 23 5 28 34 4 138 16 16 32 13 4 17 9 1 10 82 15 97 8 1 9 0 4 4 8 0 8 95 11 106 8 0 8 95 11 106 8 0 8 95 11 106 8 0 8 95 11 10 10 10 0 10	10 6 16 23 5 28 9 11 10 8 0 8 5 0 5	26 7 35 15 11 13 15 15 15 15 15 15 15 15 15 15 15 15 15	113 4 17 88 4 89 7 7 3 10 21 0 21 1 1 0 1 1 1 0 1 6 7 6 0 36 6 0 36 6 0 36
2	Z 60 11 00	M T 10 237 40 488 4 138 11 106 2 34 0 47 5 20 5 20	5 26 16 2 30 113 19 8 16 32 13 4 1 9 0 4 0 8 9 52 1 0	23 5 5 5 5 5 5 5 5 5 5 5 5 5 5 5 5 5 5 5	H 41 13 24 10 24 10 3 1 1 1 1 1 1 1 1 0 0	X 44 WOO OO
4	3 0 3	71 237 40 488 4 138 15 97 11 106 2 34 0 47 0 10 5 20	5 26 16 2 30 113 19 8 16 32 13 4 1 9 0 4 0 8 . 9 52 1 0	10 6 23 5 9 1 8 0 5 0	1	44 400 00
4 33 208 36 56 56 56 56 56 56 56 56 56 56 56 56 56	3 0 3	40 488 4 138 15 97 11 106 2 34 0 47 0 10 5 20	30 113 19 8 16 32 13 4 1 9 0 4 0 8 . 9 52 1 0	23 5 9 1 5 0 5 0 0 5 0 0 0 0 0 0 0 0 0 0 0 0 0		4 400 00
4 33 208 36 36 36 36 36 36 36 36 36 36 36 36 36	3 0 3	4 138 15 97 11 106 2 34 0 47, 0 10	16 32 13 4 1 9 0 4 0 8 9 52 1 0	6 8 5	1 1 1 0	
\$ 30 131 23 8 27 124 12 2 16 57 14 1 15 48 3 2 2 6 40 7 1 12 9 4 1 12 9 4 2 7 6 2 1 1 19 5 1 1 10 5 1 1 10 5 2 1 1 10 5 3 7 9 1 5 2 6 2	m	15 97 11 106 2 34 0 47. 0 10	1 9 0 4 4 0 8 0 8 0 9 52 1 0 1 1 1 2 1 0 1	8 S	12 3 15 12 1 13 0 3 3	
8 27 124 12 2 16 57 14 2 16 6 40 7 2 2 6 40 7 1 12 9 4 3 7 9 1 2 7 6 2 1 1 6 7 1 1 6 7 1	e	11 106 2 34 0 47 0 10 5 20	0 8 · 9 52 1 0 1 1 2	м О м	12 1 13 0 3 3 1 0 1	0 00
3 17 76 14 2 16 57 1 1 15 48 3 2 2 6 40 7 1 1 19 5 1 1 2 9 4 2 7 6 2 1 6 7 1 1 6 7 1	90 58 51 47	2 34 0 47, 0 10 5 20	9 52 1 0 1		0 3 3	0 0
2 16 57 1 1 15 48 3 2 1 1 19 5 1 12 9 4 3 7 9 1 5 7 6 2 1 6 7 1 1 6 7 1	58 51 47	000	1 2		1 0 1	0 0
1 15 48 3 2 10 40 7 2 111 19 5 1 12 9 4 2 7 6 2 1 1 6 7 1 1 2 2 5 4 2	51 47	0 5				
2 1 1 19 5 1 1 1 1 1 1 1 1 1 1 1 1 1 1 1		5			2 3 5	
2 11 19 5 1 12 9 4 3 7 9 1 5 1 6 7 1 15 2 5 4 2				0 1 1	14 0 14	-
1 12 9 4 2 1 1 2 2 2 1 1 2 2 2 1 1 2 2 2 2 1 2		7 0 7 3	6 0	1 0 1	8 5 13	
3 7 9 1 1 2 2 2 2 1 2 5 6 7 4 2 2 1 2 5 6 7 1 2 5 6 7 1 1 2 5 6 7	13	4 0 4 2	1 3 2 0 2	0 5		1 0 1
AMARANTHACEAE 2 7 6 2 AMARVLLIDACEAE 1 6 7 1 CARYOPHYLLACEAE 2 5 4 2	10	2 0 2	3 0 3	0 1 1	7 0 7	
AMARYLLIDACEAE 1 6 7 1 CARYOPHYLLACEAE 2 5 4 2		5 2 7 1	0 1			
CARYOPHYLLACEAE 2 5 4 2	9	9 0 9	-			
	9	0 7 0 7	2 2			
BORRAGINACEAE 1 3 3 0		1 0 1	0 1			
NELASTONATACEAE 2 2 0	7	2 0 2			•	
CYPERACEAE 1 1 1 1	2	1 1 2				
SOLAMACEAE 1 1 0		1 0 1				

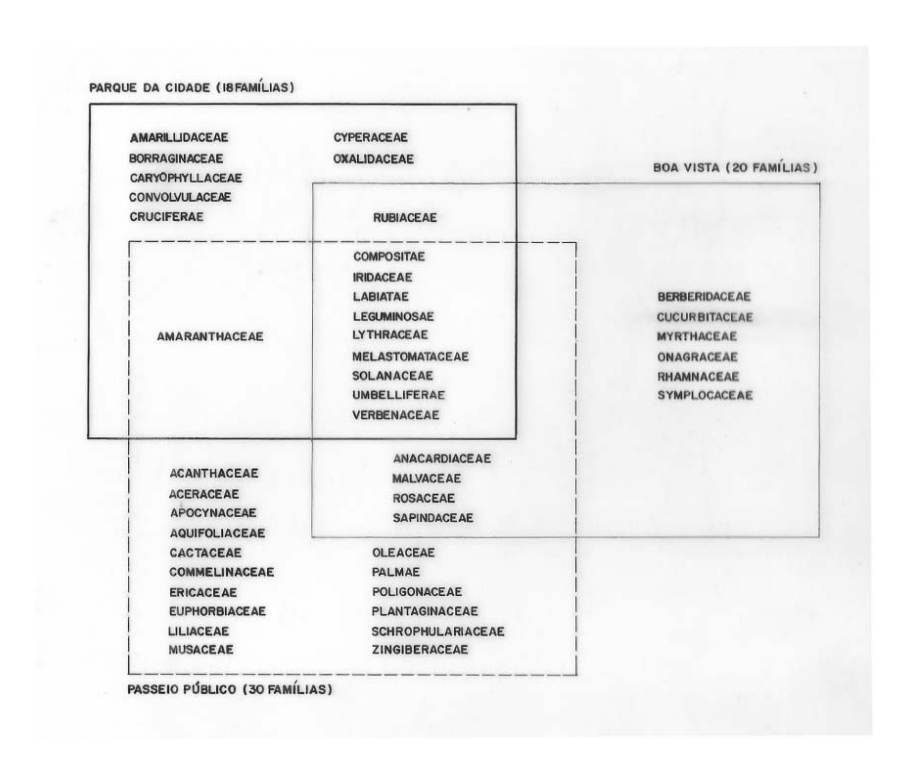


Fig. 15. Famílias de plantas visitadas no Parque da Cidade, Passeio Público e Boa Vista.

3.3~Relação entre as abelhas e as plantas a nível de família

A figura 16 mostra as espécies de plantas predominantemente visitadas no PC, e na figura 17 (Gráficos à esquerda) estão representadas as percentagens das diferentes famílias de abelhas, coletadas sobre as flores das famílias de plantas. A diferença entre o espectro de cada uma dessas famílias e o padrão (dado na figura pelo total) é comentada adiante, assim como também são mencionadas as espécies predominantemente visitadas em cada família de plantas.

COMPOSITAE (Senecio oleosus, Baccharis pentodonta, B. Articulata, Aspilia setosa, Vernonia hypochaeris, Erigeron tweediei e Solidago microglossa). Em fêmeas diferencia-se do padrão por um pequeno aumento na percentagem de Xylocopinae (devido às visitas de duas espécies de Ceratina às flores de S. oleosus) e Megachilidae.

LABIATAE (Peltodon longipes e Salvia lachnostachys). Em fêmeas, aumentam levamente as proporções de Halictidae (isso se deve à elevada freqüência de Ceratalictus theia, Dialictus pabulator e Augochlorodes humilior nas flores de P. longipes) e Megachilidae. Em machos, são notáveis a redução na proporção de Halictidae e o

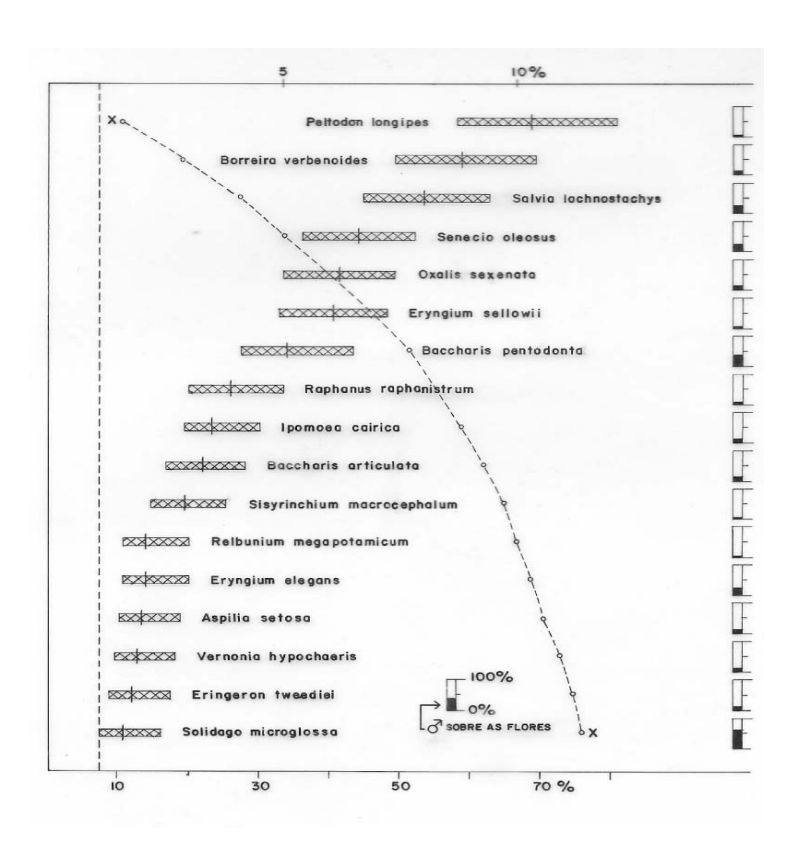


Fig. 16. Abundância relativa e percentagem de machos, das abelhas coletadas sobre as flores das plantas predominantes visitadas no Parque da Cidade. Os limites de confiança (p = 0,05), segundo o método de Kato *et al.*, são dados pelas extremidades das barras horizontais (escala na parte superior); a linha tracejada vertical representa o inverso do número total de espécies de plantas visitadas, multiplicado por 100. A linha XX indica a percentagem acumulada de indivíduos sobre as flores (escala na parte inferior).

aumento de Andrenidae (todos *Anthrenoides inflaticeps* visitando *S. lachnostachys*).

RUBIACEAE(Borreria verbenoides e Relbunium megapotamicum). Em fêmeas, observa-se um ligeiro aumento na proporção de Apidae (ocasionado pelas visitas de Bombus atratus às flores de B. verbenoides) e Anthophoridae.

UMBELLIFERAE (*Eryngium sellowi* e *E. elegans*). Chama a atenção a alta proporção de Halictidae (especialmente *Ceratalictus theia*).

OXALIDACEAE (*Oxalis sexenata*). Ressalta a elevada proporção de Andrenidae (principalmente visitas de *Rhophitulus opacus*).

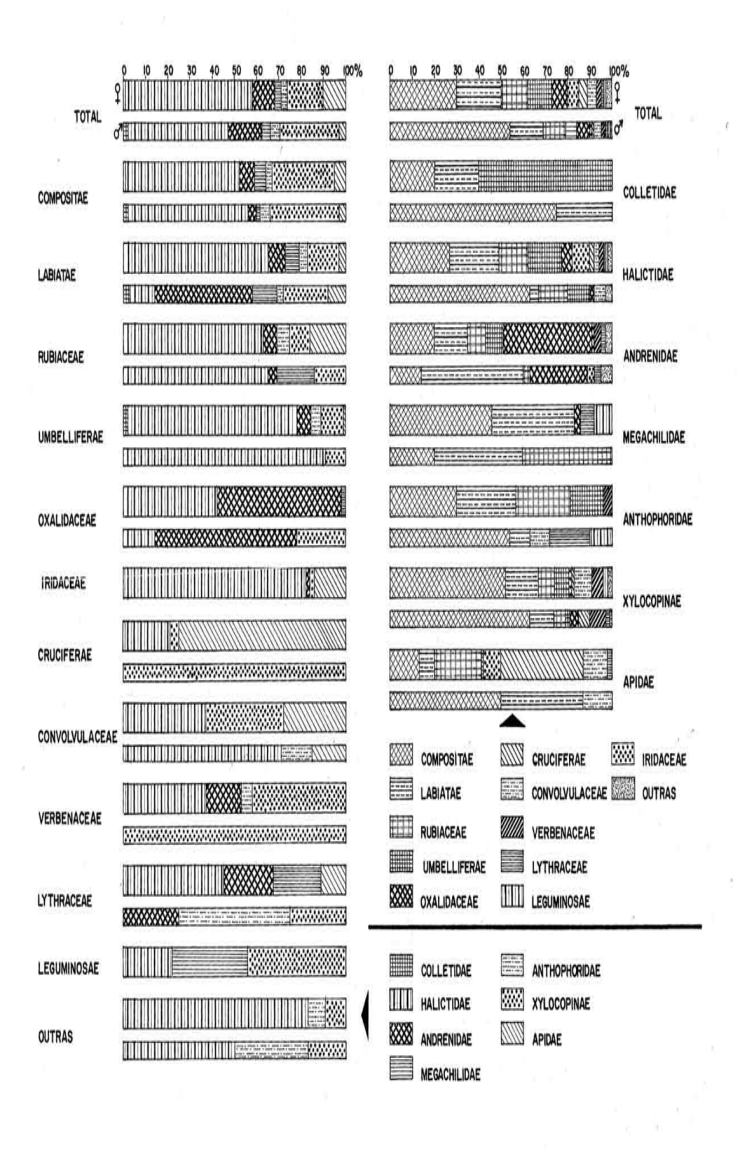


Fig. 17. Relação abelha-planta, a nível de família, no Parque da Cidade. Esquerda: percentagem de visitas das famílias de abelhas a cada família de plantas. Direita: percentagem de visitas de cada família de abelhas às famílias de plantas. Fêmeas (operárias e rainhas) e machos são apresentados separadamente. Anthophoridae não inclui Xylocopinae.

IRIDACEAE (Sisyrinchium macrocephalum). A percentagem de Halictidae está bastante aumentada em relação ao padrão (especialmente visitas de espécies de *Dialictus*), enquanto que a de Apidae mostra um ligeiro aumento.

CRUCIFERAE (*Raphanus raphanistrum*). O aumento de Apidae deve-se às operárias de *Plebeia emerina*. Em machos, apenas Xylocopinae esteve presente.

CONVOLVULACEAE (*Ipomoea cairica*). O aumento de Xylocopinae e Apidae e a diminuição de Halictidae são evidentes. Nesta planta foram coletados, de forma mais ou menos equitativa, indivíduos de *Ceratina asuncionis, Bombus atratus* e *Augochlora amphitrite*.

VERBENACEAE (nenhuma espécie predominante; a espécie mais visitada foi *Verbena hirta*). A elevada proporção de Xylocopinae foi devida às visitas de *Ceratina* sp. 1 e *C. asuncionis*.

LYTHRACEAE e LEGUMINOSAE. Somente foram capturados 13 exemplares sobre Lythraceae e 10 sobre Leguminosae. Nesta última, quatro exemplares eram *Xylocopa ciliata*.

OUTRAS. A maior proporção foi de Halictidae, especialmente sobre Amaranthaceae e Amaryllidaceae.

Na figura 17 (gráficos à direita) aparece o espectro padrão (representado pelo total) das frequências relativas de visitas às plantas, para todas as famílias de abelhas. Comparando cada família com o padrão, observamos as seguintes características: 1) as maiores proporções de visitas à Compositae se dão por Megachilidae, Xylocopinae e machos de Halictidae; 2) as proporções de visitas à Labiatae são maiores em Megachilidae e Andrenidae; 3) os machos de Megachilidae e as fêmeas de Anthophoridae e Apidae são proporcionalmente mais abundantes sobre Rubiaceae; 4) as visitas à Oxalidaceae são devidas quase exclusivamente a Andrenidae; 5) a proporção de visitas de Apidae (fêmeas) à Cruciferae é elevada; 6) a proporção de visitas de Colletidae à Umbelliferae, embora alta, representa um número muito baixo de indivíduos (ver Tabela 2).

3.4 Fenologia das visitas às plantas predominantemente visitadas

As plantas predominantemente visitadas receberam 76% do total de visitas do ano. As posições ocupadas pelos índices de diversidade (H') e equitabilidade (E) de plantas visitadas por mês (ordenadas de maior a menor conforme dados da figura 18), assim como a sucessão mensal das visitas a essas espécies (Fig.19), são comentadas a seguir:

Fevereiro

A maior parte das visitas dói feita a duas das quatro espécies de plantas predominantes, *Baccharis articulata* e *Borreria verbenoides*. H' e E foram baixos (11^a e 12^a posições).

Março

As plantas predominantes foram *Solidago microglossa, Ipomoea cairica* e *Baccharis articulata*. A percentagem de visitas a "outras" foi de 35%. H' duplicou-se e E aumentou em relação ao mês anterior. (3ª posição para os dois).

Abril

O maior número de visitas foi feito a *Ipomoea cairica*. A percentagem de visitas a "outras" foi de 35 %. H' é levado (1ª posição) e E diminui em relação ao mês anterior (4ª posição).

Maio

As espécies mais visitadas foram *Peltodon longipes, Baccharis pentodonta, Eryngium elegans* e *Vernonia hypochaeris.* H' diminui nitidamente (8ª posição) e E também, porém em menor escala (6ª posição).

Junho

Baccharis pentodonta foi a planta mais visitada, seguida por Vernonia hypochaeris e Aspilia setosa. A percentagem de visitas a "outras" foi de cerca de 15%. H' continua diminuindo (9ª posição) enquanto que E aumenta notavelmente (2ª posição).

Julho

As plantas predominantemente visitadas foram *Senecio oleosus*, *Baccharis pentodonta* e *Raphanus raphanistrum*. H' é o menor do ano e E o maior (12ª e 1ª posições).

Agosto

Raphanus raphanistrum e Senecio oleosus foram as plantas mais visitadas. H' aumenta e E diminui (10ª e 7ª posições).

Setembro

Oxalis sexenata e Peltodon longipes foram as espécies mais visitadas. A percentagem de visitas a "outras" foi em torno de 28%. H' continua aumentando (6ª posição) e E diminuindo (8ª posição).

Outubro

As espécies mais visitadas foram *Peltodon longipes, Sisyrinchium macrocephalum, Relbunium megapotamicum, Borreria verbenoides* e *Salvia lachnostachys*. H' continua aumentando, enquanto que E segue diminuindo (5ª a 9ª posições).

Novembro

A percentagem de visitas a "outras" (30% do total do mês) aumentou novamente. A principal espécie visitada foi *Salvia lachnostachys*. H' passa para a primeira posição e E continua diminuindo (10ª posição).

Dezembro

[continua na próxima página]

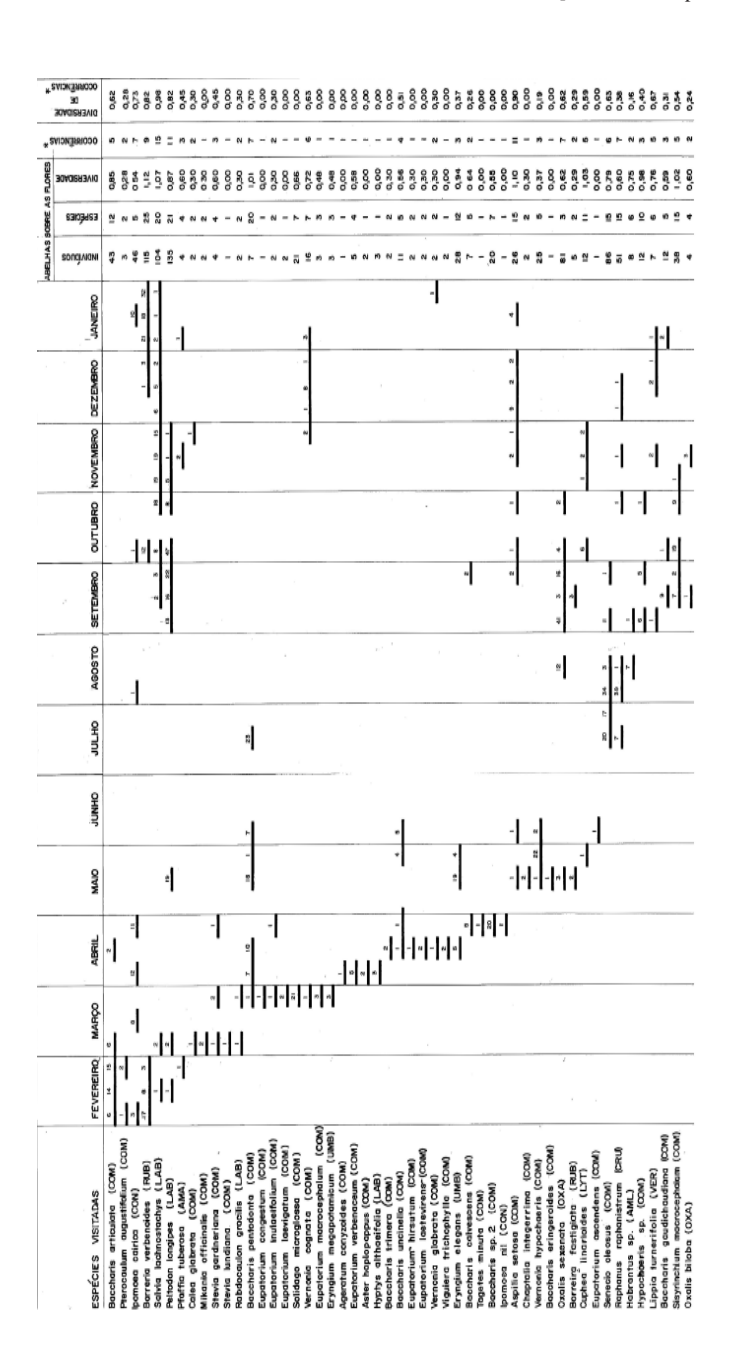


Fig. 18. Sucessão mensal das visitas às flores, diversidade de abelhas sobre as flores, diversidade das ocorrências* e diversidade de plantas visitadas por mês no Parque da Cidade. Acima das barras horizontais, que representam a presença de espécie em cada coleta, é dado o número de abelhas coletado sobre as flores. A família a que pertence cada planta é abreviada pelas três primeiras letras, com exceção de Amaryllidaceae, que é abreviada AML. *Ocorrências = número de coletas em que foram capturadas abelhas sobre as flores.

Fig. 18: conclusão

MARÇO ABRIL MAIO JUNHO
20 11 5
91 86 26 09
1,00 1,02 0,81
0,81 0,78 0,77 0,83

Eryngium sellowii, Aspilia setosa e Salvia lachnostachys são as plantas mais visitadas. A percentagem de visitas a "outras" foi de 27%. H' e E situam-se na 4ª posição.

Janeiro

Borreria verbenoides, Eryngium sellowii e Ipomoea cairica são as plantas mais visitadas. A percentagem de visitas a "outras" é de 17%. H' e E diminuem (7ª e 12ª posições).

A sucessão sazonal das visitas às plantas foi a seguinte: as espécies mais importantes durante o inverno foram *Senecio oleosus* e *Raphanus raphanistrum* e, na transição para a primavera, *Oxalis sexenata*; *Salvia lachnostachys* foi a especie mais importante na primavera, seguida de

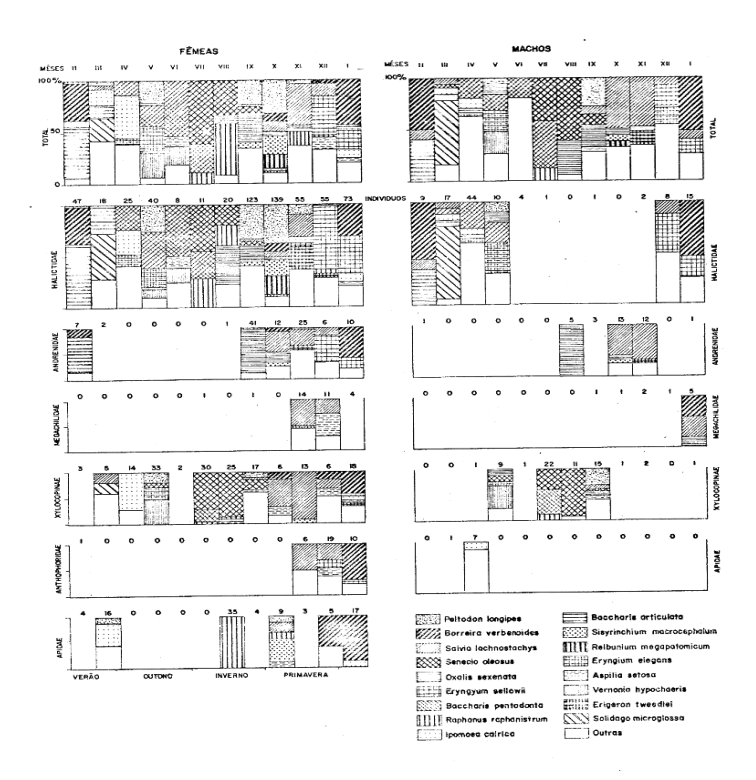


Fig. 19. Sucessão mensal das visitas às plantas predominantes visitadas pelas famílias de abelhas no Parque da Cidade. O número de indivíduos coletados sobre as flores é indicado acima dos gráficos. Machos e fêmeas são dados separadamente. Anthophoridae não inclui Xylocopinae.

Peltodon longipes e, no fim da estação, Eryngium sellowii; Borreria verbenoides, Ipomoea cairica e Baccharis articulata foram visitadas no verão, e Peltodon longipes foi visitada novamente no inverno, seguida por Baccharis pentodonta.

Comparando a fenologia das visitas de cada família de abelhas com o padrão (Fig.19), observamos que Halictidae apresenta o espectro mais semelhante, diferenciando-se pelo aumento de visitas a *S. microglossa*, *O. sexenata*, *P. longipes* e *E. sellowii*, e pela diminuição do número de indivíduos sobre *I. cairica*, *S. oleosus* e *R. raphanistrum*; Andrenidae evidencia um aumento na proporção de *B. articulata*, *O. sexenata* e *B. verbenoides*; Megachildae aumenta as proporções sobre *S. lachnostachys* e *A. setosa*; Xylocopinae apresenta maior número de visitas a *S. oleosus*, *S. lachnostachys* e *I. cairica*; Anthophoridae (não Xylocopinae) é mais abundante sobre *B. verbenoides*, e Apidae é mais freqüente sobre *R. raphanistrum*, *I. cairica* e *B. verbenoides*.

O espectro para os machos diferencia-se do das fêmeas, principalmente pela elevada proporção de visitas de Halictidae a *S. microglossa* e *B. pentodonta*; pela proporção de visitas de Andrenidae a *O. sexenata* e pelo aumento da proporção de Xylocopinae sobre *V. Hypochaeris*, *B. pentodonta* e *S. oleosus*.

4 Amplitude do nicho

Existem diferenças na composição de espécies, no número de espécies e nas interações interespecíficas dentro das comunidades bióticas. Entre os fatores mais importantes que determinam a existência de interações, podemos citar a amplitude e sobreposição do nicho. Segundo MacArthur (1972) (cf. Heithaus, 1979), nas comunidades onde a competição entre as espécies é o principal fator limitante para sua coexistência, os valores médios da amplitude e sobreposição do nicho, assim como a diversidade dos recursos, são os principais determinantes da diversidade das espécies. As abelhas parecem ser organismos apropriados para os estudos do nicho, já que dependem de um recurso discreto (as flores), cujas unidades estão limitadas no tempo e no espaço (Heithaus, *op.cit.*) e são fáceis de reconhecer.

As amostragens realizadas no PC permitem-nos considerar, pelo menos parcialmente, uma dimensão trófica e outra temporal do nicho – dentro do conceito multidimensional (Hutchinson, 1957). A dimensão trófica é dada pelo número de espécies de plantas visitadas pelas abelhas e suas frequências sobre as flores, e a temporal, pelo número de coletas em que as espécies de abelhas foram capturadas e suas freqüências em cada coleta. Esses valores foram relacionados pela fórmula de Shannon-Wiener, que exprime a amplitude do nicho. Os resultados para todas as

espécies aparecem na figura 13. Para o seu cálculo foram incluídos tanto os machos como as fêmeas e não foi feita distinção entre os indivíduos que estavam coletando néctar ou pólen sobre as flores.

As duas dimensões do nicho aqui consideradas estão correlacionadas (para as espécies predominantes r = 0.73, P < 0.05). Entretanto, em certos casos existe uma discrepância entre os dois valores, o que indica tendências no sentido de uma maior ou menor "especialização trófica". Isso fica evidente na figura 20 (Gráficos A e B), onde estão representados os valores para as espécies predominantes, da equabilidade (E) e diversidade (H') de plantas visitadas (nicho trófico) e da equabilidade (E) e diversidade (H') das ocorrências de abelhas sobre as plantas (nicho temporal). A discrepância entre os dois valores para *Dialictus* sp.1, *D*. pabulator, Augochloropsis liopelte e Ceratina sp.1 mostra que essas espécies são mais "generalistas" - apesar de terem um nicho temporal limitado, apresentam uma alta diversidade (H') de plantas visitadas; enquanto que Anthrenoides inflaticeps, Ceratina asuncionis, Augochlora amphitrite, Rhophitulus opacus e Xylocopa ciliata são mais "especialistas" — a diversidade (H') de plantas visitadas foi nitidamente menor que o nicho temporal. A média da amplitude dos nichos tróficos e temporal foi de 0,79 e 0,90, respectivamente.

Para se ter uma idéia da sobreposição dos nichos entre as várias espécies, foi elaborado um dendrograma. O dendrograma obtido para a fenologia das espécies predominantes de abelhas (Fig.14) é uma estimativa da sobreposição do nicho temporal dessas espécies. Utilizando o mesmo

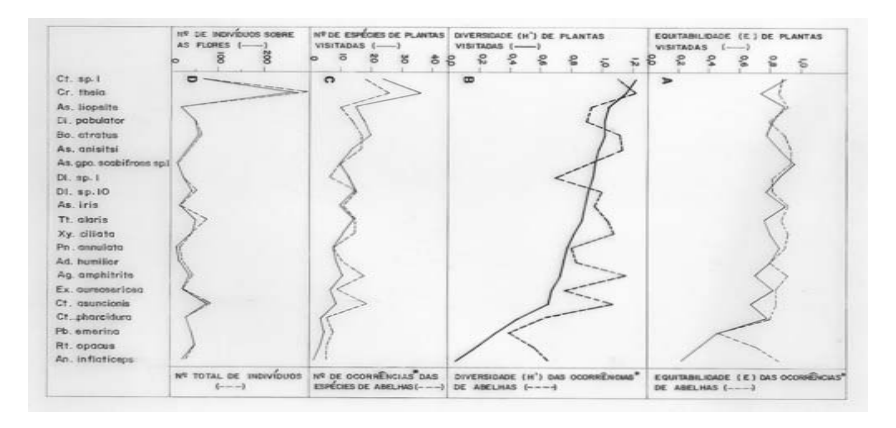


Fig. 20. Comparação de vários valores que exprimem heterogeneidade e/ou abundância de plantas visitadas pelas abelhas predominantes no Parque da Cidade e esses mesmos valores para as ocorrências* de abelhas sobre as flores. Os gêneros estão abreviados conforme Tabela 1. *Ocorrências = número de coletas em que a espécie foi coletada.

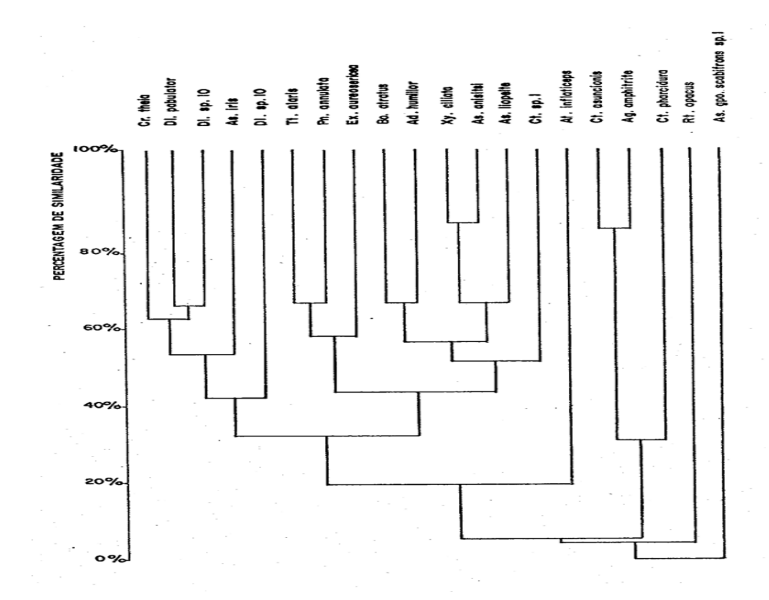


Fig. 21. Dendrograma representando a sobreposição do nicho trófico (diversidade de plantas visitadas) das espécies de abelhas predominantes no Parque da Cidade (foram incluídas somente as plantas predominantes que apresentaram mais de duas fêmeas sobre as flores). Os gêneros estão abreviados conforme Tabela 1. *Ocorrências = número de coletas em que a espécie foi coletada.

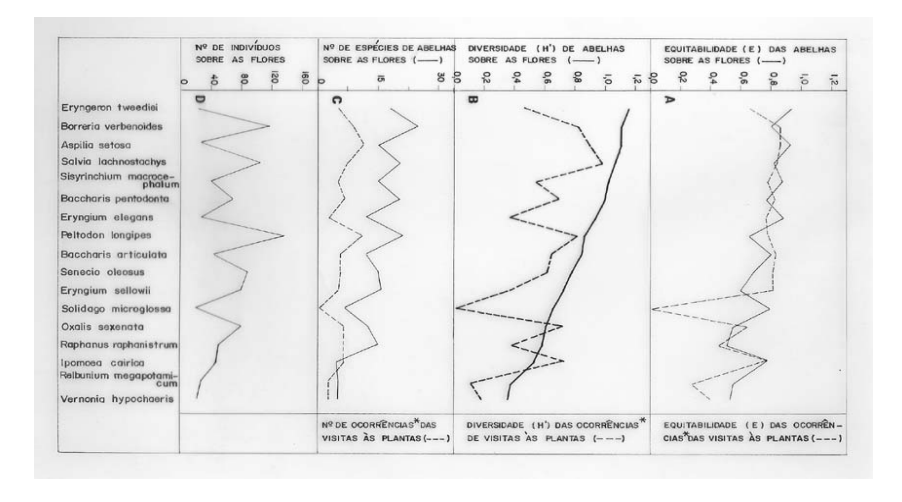


Fig. 22. Comparação entre vários valores que exprimem a heterogeneidade e/ou abundância de abelhas sobre as flores predominantemente visitadas no Parque da Cidade e esses mesmos valores para as ocorrências* das visitas. *Ocorrências = número de coletas em que foram capturadas abelhas sobre as flores.

método, foi elaborado um dendrograma para a sobreposição do nicho trófico das espécies predominantes de abelhas (considerando as plantas predominantes que apresentaram mais de duas fêmeas sobre suas flores). Os resultados obtidos aparecem na figura 21. As maiores sobreposições ocorreram entre *Ceratina asuncionis* e *Augochlora amphitrite* e entre *Xylocopa ciliata* e *Augochloropsis anisitsi*.

A sobreposição observada entre *C. asuncionis* e *A. amphitrite* é elevada, tanto para o nicho trófico como para o temporal, indicando que possivelmente existe uma alta interação das duas espécies, ou algum tipo de divisão dos recursos entre elas. Estudos mais aprofundados sobre o comportamento intrafloral dessas espécies poderão mostrar quais as interações que existem entre elas. Segundo Laroca (1980), é admissível se pensar que há uma organização comportamental básica preditível entre os polinizadores potenciais de cada espécie de planta; os quais estariam etologicamente estruturados em aspectos como aproximação do recurso, hierarquia de ocupação e padrões de movimento; de tal modo que uma vez conhecidas certas características da planta, seria possível predizer as *propriedades* comportamentais de seus polinizadores potenciais.

Da mesma forma que foi feito para as espécies de abelhas, na figura 22 aparecem os valores da amplitude do nicho trófico [diversidade (H') de abelhas sobre as flores] e temporal [diversidade (H') de ocorrências das visitas às plantas [do "ponto de vista" das espécies de plantas predominantes. Ipomoea cairica e Oxalis sexenata aparecem como as plantas mais "especialistas", no sentido de apresentarem menor diversidade (H') de abelhas sobre suas flores. Salvia lachnostachys e Peltodon longipes mostram também um certo grau de "especialização", enquanto que Sisyrinchium macrocephalum, Eryngium elegans e Solidago microglossa parecem ser as mais "generalistas".

Apesar dos dados apresentados aqui não permitirem uma argumentação mais conclusiva, eles são relevantes por sugerirem possibilidades a serem testadas em estudos mais específicos.

5 DIVERSIDADE E SIMILARIDADE ENTRE AS SUBÁREAS DO PARQAUE DA CIDADE. Na subárea A, realizaram-se 13 coletas, nas quais foram capturadas cerca de 80 espécies de abelhas (686 indivíduos), sobre 68 espécies de plantas. Na subárea B, o número de coletas realizadas foi 12, e foram coletadas 78 espécies de abelhas (507 indivíduos) sobre 51 espécies de plantas. As duas subáreas tiveram em comum 48 espécies de abelhas (QS = 0,31) e 26 espécies de plantas (QS = 0,23).

Na figura 23, está correlacionado o logaritmo do número acumulado de indivíduos e o número acumulado de espécies para as abelhas coletadas, tanto nas subáreas A e B, como em toda a extensão do PC. O

número de espécies para todas as classes de abundância é muito semelhante em A e B (embora exista em A uma pequena quantidade a mais de espécies raras). É oportuno mencionar que os dados do PC incluem também, além da somatória das espécies de A e B, os dados obtidos em sete coletas realizadas em toda a área, as quais acrescentaram 12 novas espécies ao total, dez das quais pertencentes à primeira classe de abundância.

No referente às similaridades entre as diferentes zonas dentro das subáreas, a situação observada foi a seguinte:

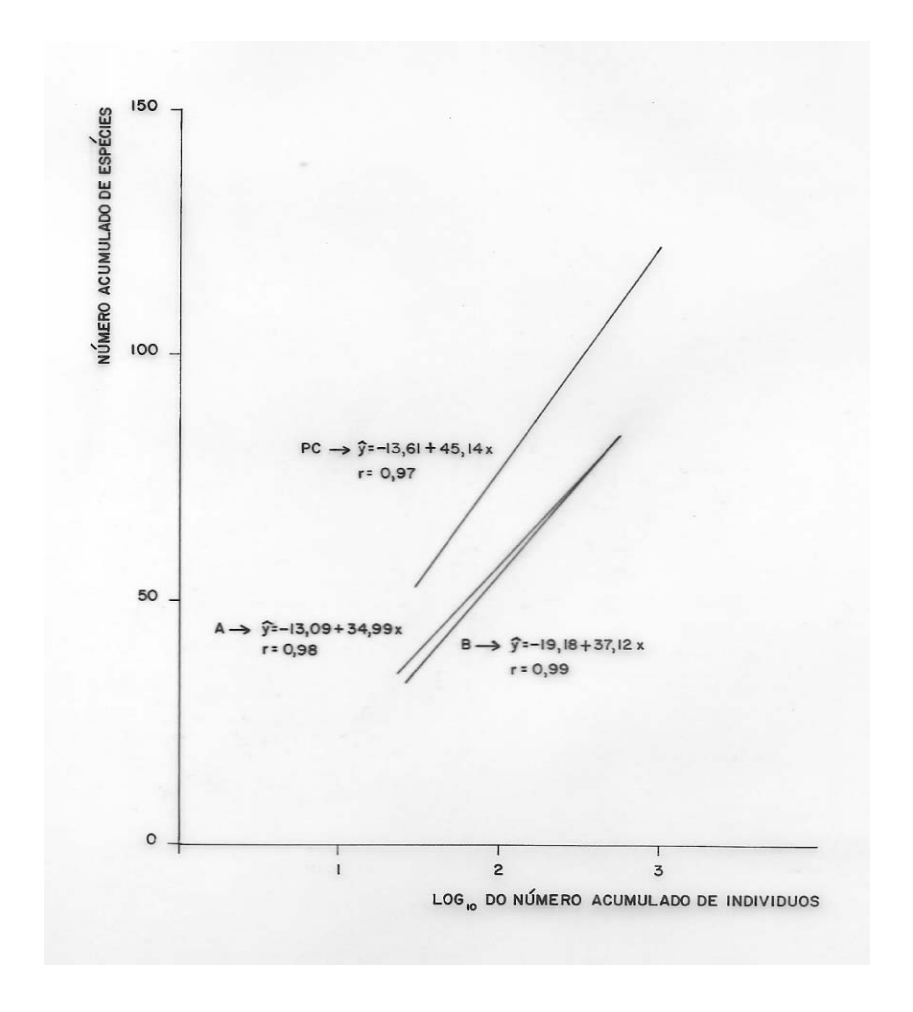


Fig. 23. Relação entre o número de espécies e o número de indivíduos nas duas subáreas (A e B) do Parque da Cidade (PC).

ZONAS	Nº DE ESPÉCIES	S ZONAS	N° DE ESPÉCIES
COMPARADAS	EM COMUM (QS)	COMPARADAS	EM COMUM (QS)
A1 e A2	21 (0,24)	B1 e B2	22 (0,28)
A2 e A3	28 (0,30)	B2 e B3	24 (0,27)
A1 e A3	22 (0,26)	B1 e B3	20 (0,23)

O número de espécies comuns entre as zonas de cada subárea é semelhante em todos os casos (Fig. 24). Somente entre A2 e A3 o número é um pouco maior. É interessante observar que a similaridade entre A e B também difere pouco das observadas nas diferentes zonas. Esses resultados não permitem interpretação definitiva, já que a comparação entre A e B incluiu um número de dados três vezes maior ao incluído nas comparações entre as subzonas. Porém percebe-se que cada zona tem proporções equivalentes de espécies exclusivas a ela, que também são proporcionais às exclusivas em cada subárea, o que sugere a existência de uma elevada "densidade" de espécies no parque da Cidade. Estudos focalizados na comparação da diversidade dentro e entre os habitats – no sentido de MacArthur (1965) – em áreas com diferentes estágios de sucessão, poderão esclarecer quais os padrões de diversidade existentes em diferentes "comunidades" de abelhas.

CONCLUSÕES

Uma das primeiras dificuldades que enfrentamos ao realizarmos um estudo faunístico é a da amostragem, especialmente quando se trata de insetos extremamente móveis como as abelhas. O método aqui utilizado, apesar de apresentarem algumas distorções já enumeradas anteriormente e discutidas em diversos trabalhos (e.g. Sakagami, Laroca & Moure, 1967; Laroca, 1972; Sakagami & Fukuda, 1973), deve fornecer uma estimativa razoável da abundância relativa entre os vários grupos. Isso porque as abelhas são coletadas principalmente sobre as flores, que são unidades discretas onde os indivíduos se concentram na procura de alimento.

Os levantamentos feitos até o momento no Planalto de Curitiba evidenciam alguns padrões gerais para as "comunidades de abelhas" de áreas secundárias submetidas à ação do homem, em escalas variável. Generalizações feitas a níveis taxonômicos superiores à espécie justificam-se porque os táxons não são somente um fenômeno morfológico, mas também ecológico (MAYR, 1958; cf. Leclerco, 1964). A nível de família é possível concluir que Halictidae é o grupo mais diversificado e frequentemente também muito abundante em indivíduos, sobressaindo os gêneros *Dialictus* e *Augochloropsis* pelo elevado número de espécies.

ZONA A3 (45 ESPÉCIES) Al. sphyrd
Di. sp. 2
Di. sp. 3
Di. sp. II
Ry. rostratus
An. sp. 2
Pn. capito
Pn. sp. 7
Mg. iheringi DI. opacus DI. sp. 7 Mg. lentifera Ga. undulata AT (4) ESPECIÉS) Co. rugicallis
Al. aphyra
As. rufiselis
As. prosessis
As. ppo. scobin
Di. sp. 13
Di. sp. 13
Di. sp. 15
Di. sp. 16
As. pp. 2
Hs. scomheapis
Pn. sp. 7
Rt. sp. 7
Rt. sp. 2
Cx. sp. 12
Cx. sp. 12
An. haringi TREA A (80 ESPÉCIES) Ad.humillor
As. contaits?
As. cupreola
As. iris
As. liopette
As. gpo. scabl
Cr. theia
Dl. pobulator
Dl. sp.1 Pn. sp. 8 Rt. sp. 2 Cx. sp. 1 Mg. sp. 2 As. gpo. cupreola sp.2 Cn. Implexus Mg. sp.1 Ct. rupestris
Ep. oterrimus
Lt. sp. i
Th. anglis **当文はむさまます古** ZONA Co. rufipes
Al. iphigenia
Al. cupreola
Al. cupreola
Al. gpo. cupre
Di. opacus
Di. sp. 2
Di. sp. 3
Di. sp. 4 ONA BI (39 ESPÉCIES) 122 83 (47 ESPÉCIES) olaris sp. 5 sp. 3 sp. 1 lentifere Pn. sp. 3 Mg. bernardina Mg. sp. 2 Ag. amphitrite
As. cleopatra
Cn. implexus
Ct. asuncionis As. onlaits!
As. pro. coupeo
As. gpo. scobi
Cr. theia
Di. pobulator
Di. sp. i0
Di. sp. i1
Ry. rostrotus ÁREA B (78 ESPÉCIES) Mg. sp. 6 Mg. sp. 11 Mg. sp. 11 Mg. sp. 12 × Z o An. inflaticepa
Pn. onnulate
Pn. benyi
Rt. opocus
Mg. sp. 3
Ct. sp. 1
Xy. ciliate
Bo. stratus Ex. sp. i M1. bonosrensis Pb. emerina sp. I ap. I augusti Mg. sp. 1

Fig. 24. Espécies de abelhas presentes nas diferentes zonas do Parque da Cidade. Os gêneros estão abreviados conforme Tabela 1.

Igualmente, Anthophoridae mostra uma elevada riqueza de espécies e, geralmente, também uma alta abundância de indivíduos em todos os lugares amostrados, excluindo o Passeio Público, em que as proporções para todas as famílias estão mudadas.

No que diz respeito à fenologia, Halictidae, Anthophoridae-Xylocopinae e Apidae apresentaram atividade durante maior número de meses que as outras famílias.

A abundância relativa das visitas às principais famílias de plantas aria nos diferentes locais, mas Compositae é, em geral, a que apresenta maior quantidade de visitas e maior número de espécies visitadas, provavelmente devido a sua abundância como ervas predominantes na vegetação secundária. O Passeio Público foge dessa regra já que cerca de 30% das espécies de plantas visitadas foram introduzidas de outros continentes (Laroca, Cure & Bertoli, 1982).

Outro tipo de generalização que podemos fazer está relacionada à distribuição das espécies dentro das diferentes classes de abundância. As espécies predominantes não são as mesmas nos diferentes locais, entretanto a estruturação permanece, isto é, sempre existem poucas espécies abundantes e muitas espécies raras, o que sugere um aumento do número de espécies nas amostras, se o esforço de coleta é aumentado.

O número de espécies para todas as classes de abundância é menor nos lugares mais urbanizados. Isso se deve em parte ao seu isolamento em relação às áreas silvestres, que são a "fonte de espécies", mas também há outras consequências do processo de urbanização. A jardinagem, com a introdução de vegetais exóticos, e a poluição, que causa alterações difíceis de serem avaliadas, desempenham um papel importante, desfavorecendo algumas espécies (e.g., espécies de Megachilidae) e afetando menos a outras (e.g., Plebéia emerina e espécies de Dialictus), que provavelmente têm genótipos que permitem enfrentar uma grade variedade de condições (LAROCA, CURE & BORTOLI, op.cit.).

A diversidade, amplitude e sobreposição do nicho também foram abordadas no presente trabalho, e deverão merecer maior atenção em estudos futuros, uma vez que representam variáveis que expressam propriedades gerais do sistema. Para Pielou (1975), por exemplo, a diversidade guarda dentro das observações qualitativas uma relação semelhante à que existe entre a variância e as medidas quantitativas. Segundo Levins (1977), se a demanda para uma visão mais complexa dos sistemas que estudamos significar apenas a adição de maior número de variáveis, o assunto se tornaria rapidamente não manejável. Portanto, a adição de novos componentes deve ser acompanhada do processo

oposto de reduzir o número de variáveis necessárias. Assim sendo, a utilização de parâmetros que expressem propriedades gerais deverá ser preferida na análise inicial dos sistemas mais complexos.

Além da visão mais geral, estudos como o presente têm fornecido informações a nível específico sobre as abelhas e as plantas, os quais são melhor integrados no corpo de conhecimentos na medida em que trabalhos complementares da bionomia, taxonomia e ecologia da polinização sejam feitos.

A comparação entre as diversas zonas do parque da Cidade sugere que existe uma alta "densidade de espécies". Cada pequena zona apresentou certo número de espécies exclusivas a si, o que sugere uma alta heterogeneidade espacial. Trabalhos com a finalidade de avaliar a diversidade dentro e entre os habitats (no sentido de MacArthur, 1965) deverão ser feitos no futuro para confirmar ou não esta hipótese.

Para concluir, achamos oportuno mencionar que as interações que ocorrem na interfase planta-abelha têm certo grau de plasticidade, o qual deve ser levado em consideração para a interpretação do papel dessas interações dentro das comunidades bióticas. Distinguir o que é geral a várias localidades do que é particular a um determinado lugar é trabalho demorado e requer a acumulação de informações durante períodos consecutivos de tempo.

AGRADECIMENTOS — Ao Pe. Jesús Santiago Moure pelos ensinamentos sobre taxonomia das abelhas e pelo apoio e estímulo constantes. Ao professor Olavo Guimarães, do Departamento de Botânica da UFPR, pela identificação das plantas, assim como aos botânicos Graciela Barroso, do Museu Nacional, e Gert Hatschbach, do Museu Botânico Municipal de Curitiba, pelas identificações fornecidas. À Professora Danúncia Urban, pela identificação dos Eucerini e sugestões. A Norma Kriese e Patrícia Uribe, pela elaboração dos gráficos a nanquim. Aos colegas Professores Maria Christina de Alemeida e Carlos de Bortoli, pelas sugestões. Ao Conselho Nacional de Pesquisas (CNPq), pela concessão da bolsa de mestrado, e à Coordenadoria de Aperfeiçoamento de Pessoal de Nível Superior (CAPES), pela ajuda financeira na parte final do trabalho.

SUMMARY

This study is an outcome of standardized periodical sampling of wild bees, from february 1981 to february 1982, at a restricted secondary area in Curitiba, Paraná, southern Brazil. Faunistic composition, phenology and flower visits were compared with other areas in Curitiba. Niche breadth and overlap of predominant species were also studied, as well as a comparison of bee species composition between subareas at the survey site is provided. Dendrograms based on phenological data and niche overlap were elaborated. The total sample — 1,450 individuals of about 123 species - showed the predominance of Halictidae in species (42.3% of the total), following by Anthophoridae (22.8%), Megachilidae (16.3

%), Andrenidae (13.8 %), Colletidae (3.2 %) and Apidae (1.6 %). In number of individuais the sequence was: Halictidae (56.4 % of the total), Anthophoridae (21.7 %), Andrenidae (10.3 %), Apidae (7.7 %), Megachilidae (3.2 %) and Colletidae (0.7 %). At specific level, Ceratalictus theia (Schrottky) (Halictidae) was predominant (about 21 % of total individuals). As in other surveys at Curitiba, there was numerous rare species and a reduced number of common ones. Species diversity was intermediate between that observed in an isolated urbarnized area and those of wild areas. Dendrograms, at family level, showed a similar phenological pattern to that observed in other areas at the "Planalto de Curitiba", i.e., absence of winter flight activities in Colletidae, Andrenidae, Megachilidae and non-Xylocopinae Anthophoridae, and the occurrence of some flight activities in Halictidae, Apidae and Xylocopinae species during the warm days in winter. The dendrogram based on phenological data of predominant species showed the existence of six activity patterns: 1) active all over the year, 2) inactive during winter, 3) inactive during automm and winter, 4) active during spring, 5) active during winter-spring transition, 6) active during automm-winter transition. A total of 1,306 bee specimens, on 88 species of flowers, were collected. Compositae was predominantly visited (34% of total visits), as well as it was the richest family in species visited (53% of the total). At specific level, *Peltodon* longipes St. Hil. (Labiatae) was the predominantly visited plant. Among predominant species, the greatest niche overlap was found between Ceratina asuncionis Strand and Augochloropsis amphitrite (Schrottky) and between Xylocopa ciliata Burmeister and Augochloropsis anisitsi (Schrottky). A high species density at the survey area is suggested by the relatively high number of exclusive species at each area subdivision.

Key words: biocoenotics; ecologia; Anthophila; community; biodiversity.

BIBLIOGRAFIA

- Faegri, K. & L. Van der Pijl. 1979. *The principles of pollination ecology*. Oxford: Pergamon. 3th.ed. 244 pp.
- HAESELER VON V. 1972. Man made habitats (deforested area, gravel-pit, city gardens and parks) as refuges for insects, exemplified by the (Hymenoptera-Aculeata). *Zool.Jb.Syst.Bd.* 99 (2): 133-212 (em alemão).
- HEITHAUS, E. R. 1974. The role of plant-pollinator interactions in determining community structure. *Ann. Mo. Bot. Gard.* 61: 675-691.
- HEITHAUS, E. R. 1979 a. Community structure of neotropical flower visiting bees and wasps: diversity and phenology. *Ecology* 60 (1): 190-202.
- Heithaus, E. R. 1979 b. Flower visitation records and resource overlap of bees and wasps in northwest Costa Rica. *Brenesia* 16: 9-52.
- HEITHAUS, E. R. 1979 c. Flower feeding specialization in wild bee and wasp communities in seasonal neotropical habitats. *Oecologia* 42: 179-194.

- HOLDRIDGE, L. R. 1967. *Life zone ecology*. Tropical Science Center, San José, Costa Rica. 206 pp.
- Hutchinson, G. E. 1957. Concluding remarks. *Cold Spring Harbor Symp. Quant. Biol.* 22: 415-427.
- Klein, R. & G. Hatschbach. 1962. Fitofisionomia e notas sobre a vegetação para acompanhar a planta fitogeográfica do Município de Curitiba e arredores (Paraná). *Bol. Univ. Paraná, Geogr. Física 4:* 1-30.
- Laroca, S. 1970 a. Contribuição para o conhecimento das relações entre abelhas e flores: coleta de pólen das anteras tubulares de certas Melastomaceae. *Rev. Floresta*, Curitiba, PR 2: 67-74.
- LAROCA, S. 1970 b. Notas adicionais sobre a bionomia das espécies de Melissoptila que ocorrem nas vizinhanças de Curitiba, Paraná (Hymenoptera-Apoidea). Bol. Univ. Fed. Paraná, Zool. 3 (15): 293-306.
- LAROCA, S. 1972 a. Sobre a bionomia de *Bombus brasiliensis* (Hymenoptera, Apoidea). *Acta Biol. Par.*, Curitiba, 1 (1/2): 7-28.
- LAROCA, S. 1972 b. Notas sobre a biologia de *Hylaeus cecidonastes* Moure (Hymenopetra-Apoidea). *Rev. Bras. Biol. 32* (2): 285-290.
- LAROCA, S. 1974. Estudo feno-ecológico em Apoidea do litoral e primeiro planalto paranaenses. Tese de mestrado, Univ. Federal do Paraná. 64 pp.
- LAROCA, S. 1976. Sobre a bionomia de *Bombus Mario* (Hymenoptera-Apoidea). *Acta Biol. Par.*, Curitiba, *5*(1,2): 107-127.
- LAROCA, S. 1980. Interações entre as abelhas sobre as flores: um modelo etológico. *Ciência e Cultura 32*(7): 837.
- LAROCA, S., J. R. CURE & C. DE BORTOLI. 1982. A associação de abelhas silvestres (Hymenoptera-Apoidea) de uma área restrita no interior da Cidade de Curitiba (Brasil): uma abordagem biocenótica. *Dusenia 13* (3): 93-117.
- LAROCA, S. & S. T. DEQUECH. 1979. Interações comportamentais entre abelhas (Hymenoptera-Apoidea) sobre flores de *Vernonia westiniana* (Compositae). *Dusenia 11* (2): 79-83.
- Leclerco, J. 1964. Sur la methodologie de la faunistique entomologique. *Bull. Ann. Soc. R. Ent. Belg. 100* (30): 371-383.
- Levins, R. 1977. Qualitative analysis of complex systems. In: Levin, S. ed. *Mathematics and the life sciences* (Lecture Notes in biomathematics *18*:152-199). Berlin: Springe, Verlag.
- MAACK, R. 1968. *Geografia física do Estado do Paraná*. Curitiba, PR: Pap. Max Roesner Ltda. 350 pp.
- MACARTHUR, R. H. 1965. Patterns of species diversity. Biol. Rev. 40: 510-533.
- MACARTHUR, R. H. & E. O. WILSON. 1967. *The theory of island biogeography*. Princeton: Princeton University Press. 203 pp.
- Macior, L. W. 1974. Behavioral aspects of coadaptation between flower and insect pollinator. *Ann. Mo. Bot. Gard.* 61: 760-769.
- MACKAY, P. A. & G. KNERER. 1979. Seasonal occurrence and abundance in a community of wild bees from an old field habitat in southern Ontario. *Canadian Entomologist 111* (3): 367-376.

- MATSUMURA, T. & M. MUNAKATA. 1969. Relative abundance, phenology and flower preference of andrenid bees at Hakodateyama, northern Japan (Hymenoptera-Apoidea). *J. Fac. Sci. Hokkaido Univ. VI, Zool. 17*: 106-126.
- Matsumura, M., S. F. Sakagami & H. Fukuda. 1974. A wild bee survey in Kibi (Wakayama Pref.) southern Japan. *J. Fac. Sci. Hokkaido Univ. Ser. VI, Zool.* 19(2): 422-437.
- MICHENER, C. D. & R. B. Lange. 1958a. Observations on the behavior of brazilian halictid bees (Hymmenoptera-Apoidea). I, *Pseudagaposte- mon. Ann Entomol. Soc. Amer.* 51:155-164.
- MICHENER, C. D. & R. B. LANGE. 1958b. Observations on the behavior of brazilian halictid bees. III, *Chloralictus. Univ. Kansas Sci. Bull. 39*: 473-505.
- MICHENER, C. D. & R. B. LANGE. 1958c. Observations on the behavior of brazilian halictid bees. V, *Chloralictus*. *Insectes Sociaux* 5 (4): 379-407.
- MOLDENKE, A. R. 1975. Niche specialization and species diversity along a California transect. *Oecologia* 21: 219-242.
- Munakata, M. 1971. Relative abundance, phenology and flower preference of andrenid bees at Akagawa near Halodate, northern Japan (Hymenoptera-Apoidea). *J. Fac. Sci. Hokkaido Univ. Ser. VI, Zool.* 22 (1): 26-39.
- Pesenko, Y. A. 1971. On the fauna and ecology of Apoidea (Hymenoptera) of the steppes of the Lower Don. I. The family Megachilidae. *Entom. Obozr.* 50(1): 66-78.
- Pesenko, Y. A. 1972a. On the fauna and ecology of Apoidea (Hymenoptera) of the steppes of the Lower Don. II. The family Halictidae. *Entom. Obozr.* 51(2): 282-295.
- Pesenko, Y. A.1972b. On the fauna and ecology of Apoidea (Hymenoptera) of the steppes of the Lower Don. III. Phenology and trophic links of the Andrenidae. *Zool. Zhurn.* 51 (8): 1201-1205.
- Pesenko, Y. A. 1974a. On the fauna and ecology of Apoidea (Hymenoptera) of the steppes of the Lower Don. IV. The family Anthophoridae. *Entom. Obozr.* 53(2): 324-333.
- Pesenko, Y. A. 1974b. On the fauna and ecology of Apoidea (Hymenoptera) of the steppes of the Lower Don. V. Distribution by habitat and the formation of the bee population of secondary habitats. *Zool. Zhurn.* 53 (6): 882-887.
- Pesenko, Y. A. 1978. On the fauna and ecology of Apoidea (Hymenoptera) of the steppes of the Lower Don. VII. Phenology, seasonal and diurnal abundance dynamics. *Entom. Rev.* 57 (4): 523-529.
- Pielou, E. C. 1975. *Ecological diversity*. N. York: John Wiley & Sons Inc. 165 pp.
- Preston, F. W. 1948. The commonnes and rarity of species. *Ecology* 29: 254-283.
- SAKAGAMI, F. S. & H. FUKUDA. 1973. Wild bee survey at the Campus of Hokkaido University. *J. Fac. Sci. Hokkaido Univ. Ser. VI, Zool. 19* (1): 190-250.

- SAKAGAMI, S. F. & S. LAROCA. 1963. Additional observations on the habitats of the cleptobiotic stingless bees, the genus *Lestrimelitta* Friese (Hymenoptera-Apoidea). *J. Fac. Sci. Hokkaido Univ. Ser. VI, Zool.* 19 (1): 190-250.
- SAKAGAMI, S. F. & S. LAROCA. 1971a. Relative abundance, phenology and flower visits of apid bees in eastern Paraná, Southern Brazil (Hymenoptera-Apoidea). *Kontyû 39* (3): 217-230.
- SAKAGAMI, S. F. & S. LAROCA. 1971b. Observations on the bionomics of some neotropical xylocopinae bees, with comparative and biofaunistic notes (Hymenoptera, Anthophoridae). *J. Fac. Sci. Hokkaido Univ. Ser. VI, Zool. 18* (1): 57-127.
- SAKAGAMI, S. F., S. LAROCA. & J. S. MOURE. 1967a. Two brazilian apid nests worth recording in reference to comparative bee sociology, with description of *Euglossa melanotricha* Moure sp. n. (Hymenoptera-Apoidea). *Ann. Zool. Jap.* 40 (1): 45-54.
- SAKAGAMI, S. F., S. LAROCA. & J. S. MOURE. 1967b. Wild bee biocenotics in São José dos Pinhais (PR), South Brazil. Preliminary report. *J. fac. Sci. Hokkaido Univ. Ser. VI*, *Zool. 16* (2): 253-291.
- SAKAGAMI, S. F. & T. MATSUMURA. 1967. Relative abundance, phenology and flower preference of andrenid bees in Sapporo, North Japan (Hymenoptera-Apoidea). *Jap. J. Ecol.* 17: 237-250.
- SAKAGAMI, S. F. & J. S. Moure. 1967. Additional observations on the nesting habits of some brazilian halictine bees (Hymenoptera-Apoidea). *Mushi 40* (10): 119-138.
- SOKAL, R. R. & P. H. SNEATH. 1963. *Principles of numerical taxonomy*. San Francisco and London: Freeman. 359 pp.
- Southwood, T. R. E. 1971. *Ecological methods, with particular reference to the study of insect populations.* London: Chapman and Hall. 391 pp.
- Usui, M., Y. Nishima, H. Fukuda & S. F. Sakagami. 1976. A wild bee survey in Obihiro, eastern Hokkaido. *Res. Bull. Obihiro Univ.* 10: 225-251.
- Yamauchi, K., K. Okumura & S. F. Sakagami. 1976. Biofaunistic survey of wild bees in Hida-Hagiwara (Gifu prefecture) central Japan. *Science Report of the Faculty of Education, Gifu University (Natural Science)* 5 (5): 413-423 (em japonês).

Anexo 1 — Listagem dos dados Parque da Cidade (Curitiba, PR) [Organização dos dados: Posições: 1 a 6: para o número da espécie de abelha, 7 a 9: para o número do exemplar; 10 para o sexo (1 = fêmea, 2 = operária, 3 = rainha, 4 = macho, 9 = sem informação), 11 a 14 para o número da planta (9 = sem informação), 15: para a quantidade de pólen (0 = sem pólen, 1 = traços de pólen no corpo, 2 = quantidade moderada de pólen, 3 = início da acumulação de pólen no aparelho de transporte, 4 = carga completa de pólen, 5 = outro material, 6 = outro material e pólen, 9 = sem informação), 16: para desgaste da asa (de 0 a 3), 17: para o desgaste da mandíbula (0 a 3), 18 a 23: para a data, 24 para a hora de coleta, 25 a 26 para o local (os códigos 11, 12, 13, 19, 21, 22, 23, 29 correspondem as zonas B3, B1, B2, B?, A1, A2, A2, A3, A?)].

44040000440700000044007204	21120103810345119811117211	21121000110701409811117313
11010000110702000811007321		
11010000240326939810926112	21120103910601492810926211	21121000210342109810902199
11010000340702939810926112	21120104011305339811230112	21121000319999193810629999
11010100119999100820202122	21120104111403309810902199	21121100110501009810818199
	21120104211002309810902199	21121200110201109810818299
12010100110307909810713299		
12020100111302100810505322	21120104340350909811230313	21121200210345309811117211
12020100211302299810505322	21120104410702419810902199	21121300110201009810818399
12020100311302309810505322	21120104540102909811117112	21121300219999119810917929
12020100311002003010303322	21120104610345219811117211	21121300310602109811007123
	21120104710702011810926112	21121300410307109810413323
12020100540307909810713299	21120104710702011010320112	
21110100140305909810425211		21121300511002229810902199
21110100240311909810425113	21120104910601199810926211	21121300611002199810902299
21110100340311909810601229	21120105010304409810214329	21121300711002019810818399
21110100340311903010001229	21120105110601493810926211	21121300811002019810902199
	21120105210601203810926211	21121300911002099810818399
21110100540305909810425211	21120105310702209810917223	21121301011002199810902199
21110100640311909810601229		
21110100740305909810425211	21120105410342203810926211	21121301110327999810330122
21110100840311909810520211	21120105540345919811117211	21121301241002929810902199
21110100940311919810520313	21120200110345309811117112	21121301310307109810413323
	21120300111104409811007123	21121301410304109810223313
21110101041302919810520313	21120300211002099810926112	21121301511002099810902199
21110101140307909810505322		
21110101241002909810505121	21120300311002099810902299	21121301611002319810902299
21110101349999999810622999	21120300411104909811007222	21121301711305099811230211
21110101449999999810622999	21120400111104309811007123	21121301811401499810917223
	21120400210702009810902299	21121301911305499820112122
21120100110601499810926211	21120400310602409810917223	21121302010702309811124123
21120100210702411810926112		
21120100310342111810926211	21120400410602319811007123	21121302111002109810902199
21120100410345209811021213	21120400510601499810926211	21121302210306409810917122
21120100510345400811117112	21120400610602409811007123	21121302310324099810603321
	21120400710602219811007123	21121302411002209810902299
21120100610702429810926211	21120400810702009810902299	21121302511104099811007222
21120100711002492810926112		
21120100810702409810902299	21120400911103009820202221	21121302611002409810902199
21120100911308311811124123	21120401010345309811117211	21121302710602319811007123
21120101010601411810926211	21120401110306109810917122	21121302811002109811007123
21120101111002200810818399	21120401211104109811007222	21121302910306009810917122
	21120401310602419810917223	21121303010345009811230112
21120101211305229820112323		21121303010343003011230112
21120101310601421810926211	21120401410602409811007123	
21120101410601422810926211	21120401511702209811007321	21121303210702199810917223
21120101510702209810902299	21120401610601119810926211	21121303310901119811007123
21120101610306201810917321	21120401710602309810917223	21121303411002099810902299
	21120401810305100810926211	21121303511401019810917223
21120101710306119811007222	21120401910350009811230211	21121303611002109810902399
21120101810602402811007123		21121303011002109010302393
21120101910702290810926112	21120402010701309811007123	
21120102010345319811021213	21120402111104199811007222	21121303811002299810902199
21120102119999300811102929	21120402211002009810917122	21121303910201109810902199
21120102210702009811007123	21120402310602309811007123	21121304019999219811117112
21120102311307339820112221	21120402411305209811230112	21121304110304999810223212
	21120402510602409811007123	21121304210307109810713299
21120102410702109810902299		
21120102510702409810902299	21120500110311119810601229	21121304311002109810818399
21120102611702209811007321	21120500210307119810713299	21121304410901209811124123
21120102711308313811124123	21120500340326939810713199	21121304510702309810902299
21120102810602493810926112	21120600110345499811102123	21121304610702399810926112
	21120600210701109811021112	21121304711002309811007123
21120102910339013810425113	21120700110501309811117112	21121304810702319810902299
21120103010343009811007321		
21120103110601412810926211	21120700210345209811117112	21121304911002209810818399
21120103210702401810917321	21120800111302129810520313	21121305011002109810926112
21120103310702239810902299	21120800210801009811117313	21121305110339909810425113
21120103310702233010302233	21120900110501300811216121	21121400110602201811007123
	21120900210601100810926211	21121400210501099810713399
21120103510601403810926211	21120900310602109811007123	21121400310601310810926211
21120103610601423810926211		
21120103710501130810713399	21120900410307109810601229	21121400419999319820124113
	21120900510307109810713299	21121400511002009810902299

21121400611305399811230112 21121400710345299811117211 21121400840339909810425312 21121500110345409811117211 21121500110338009810505121 21121700110342309810902399 21121700310342419810902199 21121700310342419810902199 21121800110349200811216121 21121900110345209811117211 211390011010201309811021213 2113010011032609811021213 2114010011032609811021213 2114010011032609811021213 21150100110302110820124113 21150100213999409811230112	
21150100410302209820124113 21150100510307209810601229 21150100610307299810601229 21150100710302129820124113 21150100840939993811230919 21150100840939993811230919 21150101041105919811206312 2115010141105919811206312 211501011044102100810425113 21200100210333200810520313 21200100319999110810629999 21200104010326100810902399 21200100510333100810520313 2120010061034031081033012 21200100719999100810629999 21200109113020719999100810629999 2120010081032010810902399 2120010081032010810902399 21200101010326100810902399 21200101010326100810902399	
21200101210402310820124113 21200101310326100810902399 21200101410402100810902399 21200101510342100810902399 21200101610326110810731299 21200101610326110810731299 212001018109099110810629999 21200101910302111811206113 2120010210402400820124113 2120010210103261008108189399 21200102101032010810505223 212001021032010810505223 21200102410316119810601229 21200102510402410820124113 21200102510402410820124113 21200102710326100810731299 21200102810326100810731299 21200102810326100810731299 21200102910307419810601129	
21200103010402100810425113 21200103110201200810818299 21200103210402301820124113 21200103310326109810806199 21200103310326109810806199 21200103510402213820124113 21200103510402213820124113 212001035104022111810406113 2120010331033212810520313 21200104013310342218410520313 21200104119999200810622999 21200104419999200810622999 21200104440402919810413 21200104440402919810413 212001045040402919810406113 2120010440402919810406113 2120010410021050108180902399 21210100210501100810806299 21210100310602100811007123	
21210200111003000810926211 21210200210702000810902299 21210200310305000810926211 21210300110325100810223212	

21231001810601200810926211	21240207210702409811102222	21240215110314019810505223
21231001910601420810926211	21240207311104000811007222	21240215210306110810917122
21231100110307100810505121	21240207419999419810207119	
		21240215310304109810306222
21231200110702100811021213	21240207510324439810603321	21240215410702122810505223
		21240215511302000810505322
21231200219999029811117112	21240207610102000820112122	
21240100110307109810505322	21240207711601319820112221	21240215610307000810505121
21240100210311019810520211	21240207819999309820112221	21240215710702000810505223
21240100310702000810926112	21240207911305300820112122	21240215810307031810505322 21240215910327100810330122
21240100310702000010320112	21240207311303300020112122	21240213010307031010303322
21240200111305310811230211	21240208011305309820112122	21240215910327100810330122
21240200210350300811230313	21240208111103000820202221	21240216010327100810330329
		21240210010321100010330329
21240200319999000811124321	21240208211103400820202221	21240216111302100810505322
		04040040044404000040505052
21240200411303310811124222	21240208311103009820112323	21240216211101000810505223
21240200511307119820112221	21240208411305399820112122	21240216319999009811007929
		21240210010000000011001020
21240200619999300811124123	21240208511305400820112122	21240216410702000810505223
21240200711305200811230112	21240208611103009820112221	21240216510307000810505322
		21240210310307000010303322
21240200811305210811230112	21240208711307209820112221	21240216610602300811007123
21240200911501300820202221	21240208811305490820112122	24240246740207222040606222
		21240210710307222010303322
21240201011305309811230112	21240208911305119820112221	21240216710307222810505322 21240216810307000810505322
21240201110702000810917321	21240209019999009820112221	21240216910307100810505121
21240201211104000811007222	21240209111305399820112122	21240217010702232810505223
21240201311104000811007222	21240209210601400810926211	24240247440702000040505222
		21240217110702000810505223
21240201411104000811007222	21240209310307000810520313	21240217211104000811007222
		04040047044005000011001222
21240201519999219810207119	21240209410307099810406212	21240217311305209820112323
21240201610304219810214229	21240209519999109810601329	21240217411308339811124123
		0404004754400504000011124120
21240201719999009810214329	21240209611305021811216121	21240217511305219820112122
21240201811104100811007123	21240209711305000811216322	21240217611104000820202122
21240201911302099810505322	21240209810501409811206211	21240217711305219811230112
21240202011104110811007123	21240209911307119820112221	21240217811305011811230112
21240202110701000811007123	21240210011305100811216223	21240217911305200811230211
21240202210304319810214229	21240210110336020811216223	21240218011104200811007222
		21240210011104200011007222
21240202319999109810207219	21240210219999100811117112	21240218111104010811007222
04040000440000000044004040	04040040044005400044040404	040400400407000044007000
21240202410602309811021213	21240210311305432811216121	21240218210702000811007222
21240202510602229811021213	21240210411305300811216121	21240218210702000811007222 21240218310702000811007222
		040400404407000044007000
21240202610304229810214229	21240210510304219810306123	21240218410702009811007222
21240202710351409811021213	21240210611305010811216322	21240218510702009811007321
21240202811104010811007222	21240210711301209820112323	21240218610702309811007321
21240202911103409810207119	21240210811305300811216121	21240218710702009811007222
		21240210110102000011001222
21240203010325319810207119	21240210911305009811206113	21240218810702012811007222
21240203110304019810214329	21240211011305010820112122	21240218910303099811007222 21240219010702001811007222
		21240210310303033011001222
21240203210304109810207219	21240211111305410811206211	21240219010702001811007222
21240203310702299810917321	21240211211305420811216121	212/02/01/10702210811007321
		21240219110702219811007321
21240203419999109810207219	21240211310701000810926112	21240219210702029811007321
21240203519999309810207219	21240211411305309820112221	21240219310702009811007321
21240203610304009810214229	21240211511305210811216121	21240219410601311810926211
21240203710304109810214229	24240244640702000040026244	
	21240211610702009810926211	21240219519999309810207319
21240203811103199810207119	21240211711305229811206312	21240219610702301810926112
21240203910304409810214229	21240211811103009811007321	21240219710702019811007222
21240204010325119810223313	21240211910702109811007321	21240219811103009811007321
21240204110304109810223212	21240212010307000810413222	
		21240219910702109811007321
21240204210342210810902199	21240212111702209811007321	21240220010702119811007321
21240204310306100810917122	21240212210702209811007321	21240220110702019811007321
21240204419999409810207219	21240212310702010811007222	21240220210702019811007321
		040400000407000044007004
21240204511104310811124222	21240212410702009811007222	21240220310702009811007321
21240204611305339811230112	21240212510702009811007222	21240220410702009811007321
21240204711305129811230211	21240212610306100820112221	21240220510702109811007321
21240204819999400811124123	21240212710702009811007222	21240220610702309811007321
21240204911305009811230112	21240212810702019811007222	21240220710602109811007321
21240205010702400810917321	21240212910702009811007222	21240220810702302811007321
21240205111308400811124123	21240213011104010811007222	21240220910602000811007123
21240205219999090810306222	21240213110702000811007222	21240221011302010810505322
21240203213333030010300222		21240221011302010010303322
21240205319999420811117112	21240213210702211811007321	21240221111103111811007123
21240205410345319811021213	21240213310702119811007321	21240221211302000810413222
21240205511104010811007222	21240213410702090811007222	21240221311302000810413222
		040400044444004440470710222
21240205610701419811102321	21240213511305310811216121	21240221411103411811007123
21240205711305200811230112	21240213611305210820112221	21240221511104100811007222
21240205810702429811117313	21240213711305322811216121	21240221610702309811007321
21240205910702219811102321	21240213811305300811216121	21240221710702111810926112 21240221810702110810926112 21240221910702110810926112
04040000040000000011102021	040400400407000000011010101	04040004040700440040000112
21240206019999009811102123	21240213910702099811007222	21240221810702110810926112
21240206111308420811124123	21240214019999239810713399	21240221910702110810026112
		21270221310102110010320112
21240206211305220811230112	21240214110702000811007222	21240222010702001810926112
21240206311104309811007222	21240214211305209820112122	21240222111103409810207119
		2124022211110340901020/119
21240206411104020811007222	21240214311305200820112122	21240222211302009810505322 21240222311104000811007222
21240206510702119811021112	21240214411305200820112323	21240222311104000011007222
		2124022231110400001100/222
21240206611002409811021112	21240214510702000810505223	21240222411104009811007222
		040400005400040000400001007222
21240206710701399811021112	21240214610702329811102321	21240222510304009810223212
21240206819999009811102929	21240214711307019820112221	21240222610307222810505322
21240206910702009811102321	21240214810327111810330329	21240222710304319810223313
21240207010702499811021112	21240214910702100810505223	21240222819999309810214229
-1-10EU101010ET0JU11UE111E		
21240207110702009811021213	21240215010702009810505223	21240222910306120810917122
21240207110702000011021210	21240213010102003010303223	21240222310300120010317122

21240223011104010811007222	21260100111303210811124222	212001060111022009201242110
21240223011104010611007222	21260100111303210811124222	212901069111033098201242110 212901070111031398201242110
21240223210306339810917321	21260100310342209810902199	212901071403049098104132229
21240223311101119810917223 21240223410702111810917321	21260100410339200810425211 21270100110701129811102123	212901072407019298102141299 212901073403109098104131219
21240223510602100811007123	21270100210701010811230313	212901074499999298103161199
21240223610602129811021311 21240223711104400811007123	21270100310701000811021112 21270100440401909810425113	212901075499999098103302239 212901076403049298104131219
21240223810702109811021213	21270100540701919810306222	212901077403279098103303299
21240223910702329811021213 21240224010702121811021112	21280100111304119810330223 21280100211302100810505322	212901078499999098103062229 212901079499999098102073199
21240224110339000810425113	212901001111031008201243120	31110100110701420811117313
21240224210101109811230211 21240224340339909810425211	212901002113054008112302110 212901003111034008202021221	31110100210701309811021112 31110100310701000811007123
21240224440339909810425113	212901004111033008202021221	31110100410701409811102123
21240224540339909810425312 21240224640339909810425312	212901005113060008202022211 212901006111052008112301121	31110100519999420811124123 31110100610701410811206113
21240224740339909810425113	212901007111051008112301120	31110100710701430811117112
21240224840339929810425211 21240224940339909810425312	212901008103500008112302111 212901009111054118112301121	31110100810701310811124123 31110100910701310811124222
21240225040339909810425312	2129010101113054108112302111	31110101010701230811124123
21240225140339909810425312	212901011111030018110071232 212901012103044298103061230	311101011110701410811124123
21240225240702909810505223 21240225340339909810425312	212901012103044296103061230	31110101210701210811021112 31110101310701409811021112
21240225440307909810413222	212901014199990008102073192	31110101410701409811021311
21240225549999909810306222 21240225640307909810413222	212901015111030008110071232 212901016199993098102073192	31110101519999410811124123 31110101640342909811021112
21240225740307929810413323	212901017103041298103061230	31110101740701909811102222
21240225840339909810425211 21240225940327909810330122	212901018199991198103062220 212901019113054098201121220	31110101840701909811007123 31110101940701919811117112
21240226041103909820112323	212901020113020008104132222	31110102040701909811102123
21240226141305909820112122 21240226249999919810603321	212901021103271008103303291 212901022111034008102073192	31110102140701919811021112 31110102240701909811021112
21240226340327909810330122	212901023111031098110071232	31110102340701919811021311
21240226449999919810306222 21240226549999909810207119	212901024111031118110071232 212901025111033098102073191	31110102440701999811021112 31110102540701909811021112
21240226640307909810330223	212901026199994098102141291	31110102640701919811102123
21240226740307909810413323 21240226841103919820112221	212901027107020108102142292 212901028199990908110071232	31110102740701909811021112 31110102840701919811102123
21240226940327909810330122	212901029111034098102071192	31110102940701919811102123
21240227040304909810603321	212901030103043098102072190	31110103040701919811102123 31110200110326100810818399
21240227149999909810214329 21240227240307919810406212	212901031199991098102141291 212901032111034098102071190	31110300110326100610616599
21240227340304919810214229	212901033104020018110071230	31110300210335409811102123
21240227441103909810207319 21240227540327909810330122	212901034107013298111022220 212901035199993198201122210	31110300310335309811102123 31110300410335409811102123
21240227640304909810214129	212901036199991098103062220	31110300510335119811102123
21240227740311919810413323 21240227840307909810413323	212901037103041098102073192 212901038199992098102072190	31110300610335309811102123 31110300710335419811102123
21240227941305909811230211	212901039199993098102142290	31110300810335319811102123
21240228049999919810603321 21240228140327919810330122	212901040199994018103062220 212901041199993098102072190	31110300910335309811102123 31110301010335319811102123
21240228249999909820112221	212901042199991008104062122	31110301140335909811102123
21240228341103939820202221 21240228441305909820112122	212901043199991008102072190 212901044103072138104132222	31110301240352939811102123 31110400111001400811117211
21240228540327909810330329	212901045199994098102231110	31110400210901009811007321
21240228641601919820112221 21240228740327909810330122	212901046199993008102231111 212901047111031128202021220	31120100110304309810214129 31130100110602000811021311
21240228840311919810520211	212901048103042318102232121	31150100111103319820202221
21240228940307909810406212 21240229040307909810406212	212901049111034198102071191 212901050111032218201242111	31150200111801439811102123 31150300119999109811117112
21240229140304919810214229	2129010501114030128111172110	31150500111103319810214129
21240229241103919820112221 21240229340306909820112221	212901052199994098102072191 212901053103041098102141291	31150500219999410820202323 31150500310102429810223111
21240229441305909811230112	212901054113051018201122211	31150500411305139820112122
21240229541305909811230211	212901055199991098102071191	31150500511305109811230211
21240229640350909811230313 21240229740310919810413323	212901056199993098102072191 212901057199991098102071191	31150500611403439811117211 31150500711304419810330329
21240229841103919820202221	212901058199991098102071191	31150600119999421811117112
21240229940307909810406212 21240230041302919810505322	212901059199992098201122210 212901060113072298201122210	31150600210702000811102321 31150600311307400820112221
21240230140307909810413323	212901061113054198201121220	31150600411103411820112221
21240230240307909810406311 21240230349999909810603321	212901062111030008110071232 212901063111031108201122210	31150600511305300820112122 31150600619999400820202221
21240230440339909810425312	212901064111034098102071190	31150600711403330811216223
21250100110307300810505322 21250100240305010810425211	212901065199991098102072191 212901066111031018102071192	31150600819999210811230313 31150600919999310811124123
21250100340311000810601129	212901067199991008201122210	31150601011103411820202323
21250200110326100810713199	212901068111031098201242110	31150601111103410820112221

31150601210350400811230313	31160200641702919811007321	51110103110326209810731299
31150601210330400011230313	31160300110901109811007321	51110103210326139810806199
31150601410304429810223212	41110100110333219810601229	51110103311103422820202122
31150601511305419811230211	41111100110701329820124113	51110103419999333811230112
31150601611103420820112122	41111100210701319820112221	51110103510702000810926211
31150601740345919811117211	41111100340701919810926112	51110103610302332810926211
31150601711103000820112323	41111100440701939820112221	51110103719999332811230112
31150601841103939820202221	41111100541104919811007222	51110103811302333810520211
31150700111305339811216223	41111200110701339811124321	51110103911401233810917122
31150800110345319811117211	41111200210901139810520112	51110104010702033810505223
31150800211301409820202221	41111200340701939820202221	51110104111401233810917122
31150800311001419811117211	41111300111001319811117112	51110104219999209811007222
31150800410345129811117211	41111300210701329811206113	51110104310501129810713399
31150900110304000810223212	41111300310701119811117313	51110104410701119811021112
31150900210304319810214229	41111300410701419811117313	51110104510602339811102123
31150900310317129810330122	41111300510701129811206211	51110104610302322811007123
31150900410304119810223111	41111300610701119811117112	51110104711401311810917223
31150900510701320811117211	41111300710802319811117313	51110104810345410820112221
31150900649999939811230211	41111300810701209811117112	51110104910302339811230112
31150900740901919811117211	41111300910901219811117211	51110105011103309820112221
31150900840701919811117313	41111301040701919811117211	51110105111307319820112221
31150900940701929811124222	41111301110701129811206113	51110105210302333820124312
31150901040304929810223111	41111301210701219811117211	51110105341401919810917122
31160100141002909810917122	41112100119999439811230112	51110105440314919810505223
31160100211002100810926112	41112100210302239811206312	51110105540326929810806199
31160100311002300810926112	41112200140345909811117211	51110105640302929810926211
31160100411002190810926112	41112200240302939811206211	51110105741001909810917122
31160100511002409810902299	41112200341103919820202221	51110105840901919811102123
31160100611002109811007123	41112200410302419811206211	51110105941002919810926112
31160100710306100810917122	41112200510312009811124123	51110106041101919810917223
31160100811002229810902299	41112200610302439811216223	51110106141101919810505223
31160100911002419811021213	41112300110345439811117211	51110106240307909810505322
31160101011002209810902199	41112400110701319811124222	51110106341302909810505322
31160101111002109810902299	41112500110302119811206211	51110106441401919810917321
31160101211002309810902199	41113100119999029811216223	51110106541002909810505223
31160101311002409810902199	41113200110302139811206211	51110106641401919810917122
31160101411002219810902199	41113200210313219820202122	51111100110326110810713199
31160101510702209810902199	41113300110320339810413323	51111100210402329810207319
31160101611002009810902299	41113300210331429820112323	51111100310326200810731299
31160101711002329810902199	41113300341102939820112122	51111100410326110810731299
31160101811002309810902199	41113400110347139811124123	51111100510326110810731299
31160101911002409810902199	41113500110346139811117211	51111100610326100810731299
31160102011002209810902199	41113600110301339810406311	51111100710326131810713199
31160102111002129810902199	41113600210346139811230211	51111100810341129810406311
31160102211002199810902199	41113700110702109810926211	51111100910402330810425113
31160102311002319810902199	41113800110326129810731299	51111101010326110810713199
31160102411002299810902299	41121100141103900820112221	51111101110402331810425113
31160102411002233810302233	42110100141103300020112221	51111101210326009810731299
31160102611002339810902199	42110200110802339811216223	51111101310402110810425113
31160102711002409810902299	51110100110326100810806199	51111101410326100810713199
31160102811002319810902199	51110100210326233810806199	51111101510402219810425113
31160102911002019810902199	51110100310328321810330122	51111101610326120810713199
31160103011002499810926112	51110100411302132810505322	51111101710333022810505223
31160103111002299810926112	51110100510326009810806199	51111101810402119810406113
31160103211002310810926112	51110100610702001810505223	51111101910326221810731299
31160103311003090810926211	51110100711302009810505322	51111102010402410810425113
31160103411003020810926211	51110100811101019810917223	51111102110402311820124113
31160103511002410810926112	51110100910326129810902299	51111102219999019811230313
31160103611002199810902299	51110101010340220810330122	51111102311401031810917223
31160103711002329810902199	51110101110326120810731299	51111102410333232810520313 51111102510402331810406113
31160103811002339810902199	51110101210322129810406311	
31160103911002230810926112	51110101310701000810926112	51111102610333231810520313
31160104011002219810926112	51110101410326232810731299	51111102710333200810520313
31160104141002909810818399	51110101511103410820202221	51111102810333100810520313
31160104241002909810818399	51110101610307119810505322	51111102910333221810520313
	51110101710702010810926112	51111103010333332810520313
31160104341002909810818399	51110101810342230810926313	51111103110333100810520313
31160104441002909810818399	51110101911401000810917223	51111103210326209810902399
31160104511003320810926211	51110102011401109810926211	51111103210320209010902399
31160104611003390810926211	51110102011401109810920211	51111103310333222810320313
31160104711002219810926112		
31160104841002909810818399	51110102211305300820112122	51111103510333211810520313
31160104941002909810917122	51110102319999200811216223	51111103610402339810406113
31160105041002909811007222	51110102411401033810917223	51111103710322311810406311
31160105141002999810902299	51110102519999132810505322	51111103810326309810902399
31160200111401409811021213	51110102610702010810505223	51111103910307439810601229
31160200211002009810926112	51110102710332209820202221	51111104010333100810520313
31160200211002009810926112	51110102811103320820202221	51111104110333133810520313
31160200311103109611007123	51110102911401010810917122	51111104210341420810406311
	51110103011103410820202221	51111104310326220810818399
31160200540602999811007123	370100011100-10020202221	5.7111040100202200100100333

51111104410402100810425113	51120000219999109810713399
51111104510402309810207319	51120000311302000810505322
51111104610326033810806199	51120000410307109810713299
51111104710201231810818299	51120000510307109810713299
51111104810326000810806199	51120000611103309811007123
51111104910402322810425113	51120000710327319810330329
51111105010326000810806199	51120000810307009810713299
51111105149999919810629999	51120000910307119810713299
51111105241103919820202221	51120001010307010810713299
51111105341401919811021213	51120001140307919810713299
51111105440326909810806199	51120001240307919810713299
51111105540326919810713199	51120001340501909810713399
51111105640326929810713199	51120001440307909810713299
51111105740326909810713199	51120001540501919810713399
51111105840326929810713199	51120001640307919810713299
51111105941401929810917122	51120001740307919810713299
51111106040326909810731299	51120100110326009810806199
51111106140326909810806199	51130000110326199810806199
51111106240326909810806199	51130000210326109810806199
51111106340326929810806199	51130000310326109810806199
51111106440326929810806199	51130000449999909810713399
51111106540333909810520313	51211100119999119810926112
51111106649999929810316219	51212100110701220811124222
51111106740333929810520313	51212100210701231811124321
51111106840333919810520313	51212100310701230811124321
51111106940326929810713199	51212100410701320811124321
51111107040201909810818299	51212100511103239820202221
51111107140307919810601329	51212100610701020811117313
51111107240333929810520313	51212100710701221811117112
51111107340326929810902399	51212100810701330811117313
51111107449999919810505322	51212100911103330820202221
51111107540326909810806199	51212101011301310820202122
51111107640326919810713199	51212101111301330820202122
51111107710333113810520313	51212101210803130820112221
51111107819999209810629999	51212101310331230820112323
51111107919999400810622999	51212101411103230820202323
51111108010326009810806199	51212101510803230820112323
51111108110326109810806199	51212101610701039811216121
51111108210326219810806199	51212101710802230811216223
51111108310326011810806199	51212101710002230011210223
51111108410326222810806199	51212101910702110810505223
51111108510402139810806199	51212102010702110010303223
51111108619999431810629999	51212102110331130811216322
51111108710326301810806199	51212102110331130611210322
51111108810333400810520313	51212102310702010810303223
51111200110333110810520313	51212102410501130810806299
51111200110333110610520313	51212102510702010810505121
51112100110307039810713299	51212102611103120810214229
51112100110307039810713299	51212102711703120810214229
51112100310326000810731299	
	51212102810701319811102123
51112100410307109810713299	51212102910701329811102222
51112100510326109810713199 51112100610307029810505223	51212103010701139810306123
51112100710307029810303223	51212103119999120811007222
51112100710326259610606199	51212103211801110811007222 51212103310701219811102222
51112100911302320810505139	51212103310701219611102222
51112101010326100810713199	51212103510701329011102222
51112101119999200810629999	51212103640322919810406311
51112101119999200610029999	51212103040322919610400311
	51212103740702919610917223
51112101310326310810713199	
51112101410326119810713199	51212103940702919810917321
51112101511302310810505322	51212104040702919810917223
51112101610326229810806199	51212104140702919810926112
51112101710326310810713199	51212104240331939811216223
51112101810326000810806199	51212104340331929811216223
51112101910307319810601329	51212104440701929811102321
51112102010326300810731299	51212104549999939811216322
51112102140307919810713299	51212104640701939810917321
51112102240326909810806199	52110100119999909810214229
51112102340307999810713299	52211100111103420820112122
51112102440326909810806199	52212100119999300811124222
51112102540501909810713399	52212100210302410811206211
51112102640307909810713299	52212100311103410820202122
51112102740326909810806199	52212100410701410811124222
51112102840307919810713299	52212100510302220811206211
51112102940326919810713199	52212100611103410820202323
51112103040326909810731299	52212100711301120820202122
51112103140307919810713299	52212100811305310811216121
51120000110307209810713299	52212100911103400820202323

Recebido: 10 de janeiro de 2009.